

**Programa de Monitoramento da Biodiversidade Aquática da
Área Ambiental I – Porção Capixaba do Rio Doce e Região
Marinha e Costeira Adjacente**

Material Suplementar Ambiente Costeiro

Tema: Ecotoxicologia

RT- 52/ OUT 25

RSE2025 PMBA/FEST-UFES

Vitória,

Outubro de 2025

EQUIPE TÉCNICA

Adalto Bianchini (coordenador)

Camila De Martinez Gaspar Martins

Henrique Fragoso dos Santos

Iole Beatriz Marques Orselli

Juliana Castro Monteiro Pirovani

Mariana da Fontoura Martins

Maysa do Vale Oliveira

Yuri Dornelles Zebral

SUMÁRIO

1	HISTÓRICO DE MALHA E FREQUÊNCIA AMOSTRAL	4
2	METODOLOGIA	4
2.1	COLETA DE AMOSTRAS DE ÁGUA, SEDIMENTO E BIOTA	4
2.2	ANÁLISES DE LABORATÓRIO	16
2.3	HISTÓRICO DE ALTERAÇÕES E ADAPTAÇÕES DE METODOLOGIAS.....	19
2.4	ALTERAÇÕES NA MALHA, FREQUÊNCIA AMOSTRAL E ESCOPO REALIZADOS EM OUTUBRO DE 2024: CONSEQUÊNCIAS PARA AS ANÁLISES DA SÉRIE HISTÓRICA DE INDICADORES.....	20
3	RESULTADOS DOS INDICADORES	20
3.1	ÍNDICE DE BIOACUMULAÇÃO (<i>IBR BIOACUMULAÇÃO</i>)	22
3.2	ÍNDICE DE RESPOSTA BIOLÓGICA (<i>IBR BIOMARCADOR</i>)	38
4	CONSIDERAÇÕES FINAIS SOBRE OS ANOS DE MONITORAMENTO ACERCA DOS INDICADORES OBSERVADOS E O AMBIENTE MONITORADO	50
5	ITENS PREVISTOS E NÃO REALIZADOS: JUSTIFICATIVAS	53
6	REFERÊNCIAS	53

1 HISTÓRICO DE MALHA E FREQUÊNCIA AMOSTRAL

A malha e frequência amostrais do Programa de Monitoramento da Biodiversidade Aquática da Área Ambiental I (PMBA/Fest-UFES) passou por modificações ao longo do tempo, visando seu aperfeiçoamento para atendimento aos objetivos do Programa. Estas alterações foram orientadas pela Câmara Técnica da Biodiversidade (CTBio) e aprovadas pelo Comitê Interfederativo (CIF), por meio de: (1) Ofício SEI nº 1/2020-CTBio/DIBIO/ICMBio, de outubro de 2019 (para o período de transição), (2) Proposta Técnica de continuidade do monitoramento, apresentadas e aprovadas em 2022, visando o “Novo Ciclo do PMBA/Fest-UFES” e (3) Ofício SEI Nº 32/2024/CTBio/DIBIO/ICMBio, Nota Técnica nº 1/2024-CTBio/DIBIO/ICMBio e Deliberação CIF nº 803, de 08 de agosto de 2024.

As modificações implementadas encontram-se nos seguintes Materiais Suplementares, os quais contemplam todo o período de execução do PMBA/Fest-UFES: 1) MS – Malha amostral, que apresentam as estações amostrais executadas ao longo do tempo por todos os Anexos/Temas, separados por cada marco temporal histórico mencionado acima (“Ano 1”, “Transição”, “Novo Ciclo” e “Deliberação 803”); 2) Frequência amostral, o qual contempla o histórico da periodicidade amostral (seguindo os mesmos Anexos/Temas contemplados no item 1) e 3) MS – Mapas históricos das malhas amostrais, que apresenta os mapas das malhas amostrais (incluindo as estações) executadas por todos os Anexos/Temas.

Segue o detalhamento temporal, como forma de esclarecer a execução dentro dos marcos históricos: “Ano 1” (setembro de 2018 e setembro de 2019); “Transição” (outubro de 2019 e julho de 2022); “Novo Ciclo” (agosto de 2022 a setembro de 2024) e “Deliberação 803” (outubro de 2024 a março de 2026). O grupo da Ecotoxicologia é uma exceção a esta historicidade, pois iniciou a amostragem referente ao “Novo Ciclo” em janeiro de 2023 e segue com a “Deliberação 803”, na periodicidade já informada.

2 METODOLOGIA

A metodologia apresentada contempla o escopo em vigência no momento de entrega deste relatório, ou seja, as amostragens e análises previstas para o Novo Ciclo do Programa de Monitoramento da Biodiversidade Aquática – PMBA submetidas à Fundação Renova através do FORMULÁRIO DE APRESENTAÇÃO DE PLANO DE TRABALHO em agosto de 2022 (e dezembro de 2022 para o Tema Ecotoxicologia) e Deliberação CIF nº 803, de 08 de agosto de 2024. Após a descrição da metodologia implementada, será apresentado um breve descritivo sobre as modificações metodológicas (parâmetros, análise de parâmetros ou grupo de parâmetros, dentre outros) que ocorreram ao longo da evolução do PMBA/Fest/UFES a fim de determinar os indicadores.

2.1 COLETA DE AMOSTRAS DE ÁGUA, SEDIMENTO E BIOTA

As coletas de amostras de água de fundo e de superfície seguiram a metodologia padrão empregada desde a Campanha 1 (set/out 2018). Resumidamente, as coletas de água, ao longo da coluna d’água,

foram realizadas utilizando-se uma garrafa horizontal do tipo Van Dorn. Em todas as estações amostrais foram coletadas 6 amostras de água (3 amostras de superfície e 3 amostras de fundo) para a análise das concentrações de arsênio e metais totais e 6 amostras (3 amostras de superfície e 3 amostras de fundo) de água filtrada (filtro de 0,45 µm de malha) para a análise das concentrações de metais na fração dissolvida. Imediatamente após a coleta, alíquotas das amostras para a determinação das concentrações totais e dissolvidas de metais foram acidificadas com ácido nítrico Suprapur (HNO₃, concentração final de 1%) e mantidas refrigeradas. No momento da coleta das amostras de água foram realizadas as medidas da temperatura, condutividade elétrica, salinidade, pH e oxigênio dissolvido, utilizando-se uma sonda multiparâmetro (YSI Professional Plus).

As coletas de amostras de sedimento seguiram a metodologia padrão empregada desde a Campanha 1 (set/out 2018). Em todas as estações amostrais utilizadas para a coleta de água foram coletadas também amostras de sedimento superficial com auxílio de draga do tipo Van Veen. Em cada local de amostragem foram coletadas 4 amostras de sedimento. As amostras foram abertas em caixas plásticas, buscando-se gerar um mínimo de perturbação na superfície do sedimento e fotografadas imediatamente após a coleta, a fim de registrar as características visuais do sedimento. Para a análise de arsênio e metais, as amostras foram coletadas com o auxílio de espátula de plástico, raspando-se apenas os primeiros centímetros (0 - 5 cm) e obtendo-se apenas o sedimento superficial. As amostras de sedimento foram armazenadas em frascos plásticos descontaminados e mantidos congelados até o momento das análises. As amostras de sedimento foram mantidas refrigeradas (<10°C) até o momento dos ensaios.

Com o objetivo de avaliar possíveis efeitos biológicos decorrentes da contaminação ambiental por metais e As e a consequente acumulação desses elementos nos organismos de diferentes níveis tróficos e diferentes habitats, foram realizadas coletas de organismos típicos das regiões monitoradas. Além disso, as amostras biológicas também foram coletadas com o intuito de avaliar os biomarcadores.

No ambiente praial foram coletados, quando possível, os seguintes organismos: anfípodas (triagem manual do sedimento; 5 pools por ponto de coleta; no mínimo 5 indivíduos por pool), o isópoda *Excirolana sp.* (triagem manual do sedimento; 5 pools por ponto de coleta; no mínimo 5 indivíduos por pool) e o caranguejo *Ocypode quadrata* (coleta manual; 6 indivíduos por ponto de coleta). Após a biometria, os caranguejos foram adequadamente anestesiados e então dissecados para a coleta de amostras de músculo, brânquias e hepatopâncreas.

Nos manguezais, foram coletados caranguejos guaiamu (*Cardisoma guanhumi*) e/ou uçá (*Ucides cordatus*). Para os manguezais de franja sobre lateritos do REVIS Santa Cruz, foram coletadas espécies de crustáceos decápodes predominantes naqueles ambientes. O número mínimo amostral ($n \geq 5$) estabelecido no Anexo 5 do TR4, para as amostragens de caranguejos nos manguezais, foi aumentado para 6 indivíduos para cada espécie em cada ponto amostral. Durante a execução do monitoramento, houve a necessidade de inclusão de uma nova espécie (apenas para o ponto na foz do Rio Doce), pertencente ao mesmo nível trófico das outras, conhecida popularmente como caranguejo vermelho (*Goniopsis cruentata*) ($n = 6$). A inclusão desta nova espécie se deve ao fato da

inexistência de *U. cordatus* no ponto referente à foz do Rio Doce. Após a biometria, os caranguejos foram adequadamente anestesiados e então dissecados para coleta de amostras de músculo, brânquias e hepatopâncreas.

Todas as amostras biológicas coletadas foram acondicionadas em tubos criogênicos e congeladas em nitrogênio líquido em campo, sendo posteriormente transferidas para um ultrafreezer (-80°C), onde permaneceram acondicionadas até a análise. Nas amostras foram analisados os seguintes elementos: Alumínio (Al), Arsênio (As), Cádmio (Cd), Chumbo (Pb), Cobre (Cu), Cromo (Cr), Ferro (Fe), Manganês (Mn), Mercúrio (Hg), Níquel (Ni) e Zinco (Zn). Além disto, as amostras biológicas coletadas foram também analisadas em termos dos biomarcadores em tecidos específicos dos organismos, considerando-se a natureza de cada biomarcador, conforme será detalhado mais adiante.

Portanto, conforme descrito acima, os protocolos de coleta das amostras ambientais e biológicas foram aqueles já descritos anteriormente no âmbito do PMBA/Fest-UFES (RRDM, RSE 2022). No entanto, a partir da Campanha 8 (set/out 2022 – período seco) foram adotadas as recomendações contidas no *“Parecer técnico dos métodos adotados para quantificação de metais e arsênio em tecidos e vísceras da biota aquática - Avaliação da adequação e eficiência metodológica das análises de metais e arsênio no âmbito do PMBA”* emitido pela Fundação Renova em agosto de 2022. Neste caso, foram adotadas as seguintes alterações na coleta das amostras de água e sedimento destinadas as análises de arsênio e metais:

- (1) Os frascos destinados às coletas, mesmo que ainda não tenham sido utilizados, foram banhados em ácido nítrico 5%, por 24 horas, completados por lavagem em água deionizada em abundância, para se evitar qualquer fonte de contaminação.
- (2) As coletas de água, ao longo da coluna d'água, foram realizadas utilizando-se uma garrafa horizontal do tipo *Van Dorn*. Em todas as estações amostrais foram coletadas 6 amostras de água (3 amostras de superfície e 3 amostras de fundo) para a análise das concentrações de metais totais e 6 amostras (3 amostras de superfície e 3 amostras de fundo) de água filtrada (filtro de 0,45 µm de malha) para a análise das concentrações de metais na fração dissolvida. O volume de amostra de água coletado por réplica, que era de 100 mL, passou a ser de 250 mL. Sendo assim, foi adicionado em cada réplica acidificada um volume de 3,5 mL de ácido nítrico Suprapur 65%. As amostras de água acidificadas foram mantidas refrigeradas.
- (3) As coletas de amostras de sedimento destinadas às análises químicas seguiram a metodologia padrão empregada desde a Campanha 1 (set/out 2018). Em todas as estações amostrais utilizadas para a coleta de água foram coletadas também amostras de sedimento superficial com auxílio de draga do tipo *Van Veen*. Em cada local de amostragem foram coletadas 4 amostras de sedimento. As amostras foram abertas em caixas plásticas, buscando-se gerar um mínimo de perturbação na superfície do sedimento, e fotografadas imediatamente após a coleta, a fim de registrar as características visuais do sedimento. Para a análise de metais, as amostras foram coletadas com o auxílio de espátula de plástico, raspando-se apenas os primeiros centímetros (0 - 5 cm) e obtendo-se apenas o sedimento superficial. A partir da Campanha 8 (set/out 2022), a massa de sedimento coletada por réplica, que era de 50 g,

passou a ser de, no mínimo, 200 g. Potes com capacidade total de 250 g foram preenchidos, deixando-se apenas o espaço de expansão do congelamento, para garantir a massa necessária de amostra para as determinações. As amostras de sedimentos foram mantidas congeladas.

As atividades de campo para a coleta das amostras de aves foram realizadas pela TEIA – Projetos Ambientais Ltda, em regiões estuarinas, de manguezais e costeiras, nos municípios de Aracruz, Linhares e São Mateus, no estado do Espírito Santo.

Realizaram-se as capturas e coletas das aves nos locais de amostragem, conforme autorização para atividades com finalidade científica, emitida pelo ICMBio/MMA. A presente autorização contempla a coleta de no máximo 20 aves em cada uma das 3 grandes regiões amostradas. Para as amostras de penas e sangue, poderia ser coletado, independentemente do método de coleta, um máximo de 60 espécimes por ano, considerando todas as localidades e estações do ano. Assim que a meta das amostras coletadas era atingida, a amostragem era interrompida.

A coleta das amostras foi realizada conforme os hábitos alimentares das aves relacionadas aos ambientes de estuário, manguezais e litoral, em três áreas amostrais: estuário do Rio Doce – Linhares (ES); manguezal na foz do Rio Piraquê-açu – Aracruz (ES); e praias da costa adjacente à foz do Rio Doce Norte e Sul. A representatividade das amostras seguiu os exemplos e prioridades estabelecidas no Plano de Trabalho do Tema Ecotoxicologia. Porém, quando não se observou a ocorrência de representante de uma determinada guilda, esta foi substituída por outras guildas, desde que seus representantes possuíssem hábitos alimentares relacionados a ambientes costeiros, dentro da área de estudo (estuário, manguezais e praias). Com isso, optou-se por substituir espécies de aves que contemplavam algumas guildas tróficas (i.e. filtradores e malacófagos) e que, de fato, não ocorreram em certas áreas amostradas, por outras espécies com representatividade em seus hábitos alimentares, tais como: onívoros, consumidores de invertebrados, pequenos vertebrados e frutos [exemplos: Cuculidae (*Crotophaga major*), Tyrannidae (*Pitangus sulphuratus*); Mimidae (*Mimus gilvus*); Thraupidae (*Conirostrum bicolor*); e Icteridae (*Icterus jamacaii*)] e insetívoros, consumidores de insetos aquáticos e terrestres [exemplos: Dendrocolaptidae (*Dendroplex picus*); Tyrannidae (*Fluvicola nengeta*); Furnariidae (*Furnarius figulus* e *Certhiaxis cinnamomeus*); Hirundinidae (*Tachycinetta albiventer* e *Stelgidopteryx ruficollis*); e Caprimulgidae (*Nannochordeiles pusillus*)]. As espécies aqui citadas possuem associação com ambientes de mangue, restinga, corpos d'água e/ou podem estar presentes em ambientes dulcícola e estuarino (Sick, 1997; Sigrist, 2006). A lista completa das espécies de aves coletadas durante as Campanhas 10 (jun/jul 2023 – período seco), 11 (jan 2024 – período chuvoso) e 12 (período seco - julho/ 2024) encontra-se ordenada na Tabela 1.

Tabela 1: Lista de espécies de aves, cujas amostras de penas e/ou sangue foram coletadas durante a Campanha 1 (set/out 2018 – período seco), Campanha 2 (jan/fev 2019 – período chuvoso), Campanha 3 (set/out 2019 – período seco), Campanha 4 (jan/fev 2020 – período chuvoso), Campanha 5 (jan/fev 2021 – período chuvoso), Campanha 6 (ago 2021 – período seco), Campanha 7 (mar 2022 – período chuvoso), Campanha 8 (set/out 2022 – período seco), Campanha 9 (jan/fev 2023 – período chuvoso), Campanha 10 (jun/jul 2023 – período seco), Campanha 11 (jan/2024 – período chuvoso), Campanha 12 (jul 2024 – período seco) e Campanha 13 (jan/fev 2025 – período chuvoso) do Projeto Ecotoxicologia do PMBA/Fest-UFES.

Expedição	Espécie	Ambiente	Amostras por espécie	Amostras por ambiente
1	<i>Arenaria interpres</i>	Costeiro	1	14
1	<i>Charadrius semipalmatus</i>	Costeiro	1	
1	<i>Egretta caerulea</i>	Costeiro	1	
1	<i>Egretta thula</i>	Costeiro	1	
1	<i>Guira guira</i>	Costeiro	1	
1	<i>Mimus gilvus</i>	Costeiro	1	
1	<i>Nannochordeiles pusillus</i>	Costeiro	1	
1	<i>Pluvialis squatarola</i>	Costeiro	1	
1	<i>Progne tapera</i>	Costeiro	2	
1	<i>Thalasseus acutiflavus</i>	Costeiro	2	
1	<i>Thalasseus maximus</i>	Costeiro	1	
1	<i>Tringa semipalmata</i>	Costeiro	1	
1	<i>Amazonetta brasiliensis</i>	Estuário	2	
1	<i>Anthus lutescens</i>	Estuário	2	
1	<i>Celeus flavescens</i>	Estuário	1	33
1	<i>Certhiaxis cinnamomeus</i>	Estuário	2	
1	<i>Chloroceryle americana</i>	Estuário	2	
1	<i>Crotophaga major</i>	Estuário	2	
1	<i>Egretta thula</i>	Estuário	1	
1	<i>Eupetomena macroura</i>	Estuário	1	
1	<i>Glaucis hirsutus</i>	Estuário	1	
1	<i>Megaceryle torquata</i>	Estuário	1	
1	<i>Mustelirallus albicollis</i>	Estuário	1	
1	<i>Myiarchus ferox</i>	Estuário	1	
1	<i>Myrmoterula axillaris</i>	Estuário	1	
1	<i>Phaetusa simplex</i>	Estuário	1	
1	<i>Pitangus sulphuratus</i>	Estuário	1	
1	<i>Pseudocolaptes auratus</i>	Estuário	1	
1	<i>Rallus longirostris</i>	Estuário	1	
1	<i>Sporophila collaris</i>	Estuário	2	
1	<i>Stelgidopteryx ruficollis</i>	Estuário	5	
1	<i>Tolmomyias flaviventris</i>	Estuário	3	
1	<i>Vanellus chilensis</i>	Estuário	1	
1	<i>Actitis macularia</i>	Mangue	2	35
1	<i>Amazilia fimbriata</i>	Mangue	2	
1	<i>Charadrius semipalmatus</i>	Mangue	1	
1	<i>Chloroceryle americana</i>	Mangue	5	
1	<i>Columbina talpacoti</i>	Mangue	1	
1	<i>Conirostrum bicolor</i>	Mangue	2	
1	<i>Crotophaga major</i>	Mangue	1	
1	<i>Dendroplex picus</i>	Mangue	5	
1	<i>Egretta caerulea</i>	Mangue	2	
1	<i>Euphonia violacea</i>	Mangue	1	
1	<i>Fluvicola nengeta</i>	Mangue	1	
1	<i>Myiarchus tyrannulus</i>	Mangue	1	
1	<i>Myiozetetes similis</i>	Mangue	3	
1	<i>Nyctanassa violacea</i>	Mangue	2	
1	<i>Paroaria dominicana</i>	Mangue	2	
1	<i>Pitangus sulphuratus</i>	Mangue	4	
Total Campanha 1				82
2	<i>Actitis macularia</i>	Costeiro	1	33
2	<i>Anthus lutescens</i>	Costeiro	1	
2	<i>Aramides cajanea</i>	Costeiro	1	
2	<i>Charadrius collaris</i>	Costeiro	3	

2	<i>Charadrius semipalmatus</i>	Costeiro	8	28
2	<i>Columbina squammata</i>	Costeiro	1	
2	<i>Egretta caerulea</i>	Costeiro	1	
2	<i>Egretta thula</i>	Costeiro	1	
2	<i>Icterus jamacaii</i>	Costeiro	1	
2	<i>Mimus gilvus</i>	Costeiro	3	
2	<i>Mimus saturninus</i>	Costeiro	1	
2	<i>Nannochordeiles pusillus</i>	Costeiro	1	
2	<i>Numenius hudsonicus</i>	Costeiro	1	
2	<i>Pluvialis squatarola</i>	Costeiro	1	
2	<i>Rynchops niger</i>	Costeiro	1	
2	<i>Sicalis flaveola</i>	Costeiro	1	
2	<i>Stelgidopteryx ruficollis</i>	Costeiro	1	
2	<i>Sterna hirundinacea</i>	Costeiro	1	
2	<i>Thalasseus acutiflavus</i>	Costeiro	3	
2	<i>Vanellus chilensis</i>	Costeiro	1	
2	<i>Amazonetta brasiliensis</i>	Estuário	1	
2	<i>Anthus lutescens</i>	Estuário	1	
2	<i>Ardea alba</i>	Estuário	1	
2	<i>Butorides striata</i>	Estuário	1	
2	<i>Caprimulgus parvula</i>	Estuário	1	
2	<i>Certhiaxis cinnamomeus</i>	Estuário	6	
2	<i>Charadrius collaris</i>	Estuário	2	
2	<i>Chloroceryle amazona</i>	Estuário	3	
2	<i>Chloroceryle americana</i>	Estuário	2	
2	<i>Crotophaga ani</i>	Estuário	2	
2	<i>Crotophaga major</i>	Estuário	1	
2	<i>Fluvicola nengeta</i>	Estuário	1	
2	<i>Furnarius figulus</i>	Estuário	2	
2	<i>Megaceryle torquata</i>	Estuário	1	
2	<i>Pitangus sulphuratus</i>	Estuário	1	
2	<i>Vanellus cayanus</i>	Estuário	2	
2	<i>Actitis macularia</i>	Mangue	11	38
2	<i>Amazilia fimbriata</i>	Mangue	1	
2	<i>Charadrius semipalmatus</i>	Mangue	5	
2	<i>Chloroceryle americana</i>	Mangue	3	
2	<i>Conirostrum bicolor</i>	Mangue	2	
2	<i>Dendroplex picus</i>	Mangue	4	
2	<i>Egretta caerulea</i>	Mangue	1	
2	<i>Fluvicola nengeta</i>	Mangue	2	
2	<i>Megaceryle torquata</i>	Mangue	1	
2	<i>Molothrus bonariensis</i>	Mangue	1	
2	<i>Nyctanassa violacea</i>	Mangue	2	
2	<i>Pitangus sulphuratus</i>	Mangue	4	
2	<i>Sicalis flaveola</i>	Mangue	1	
Total Campanha 2				99
3	<i>Actitis macularia</i>	Costeiro	1	46
3	<i>Anthus lutescens</i>	Costeiro	1	
3	<i>Calidris pusilla</i>	Costeiro	1	
3	<i>Certhiaxis cinnamomeus</i>	Costeiro	1	
3	<i>Charadrius semipalmatus</i>	Costeiro	8	
3	<i>Columbina squammata</i>	Costeiro	4	
3	<i>Conirostrum bicolor</i>	Costeiro	5	
3	<i>Egretta caerulea</i>	Costeiro	1	
3	<i>Egretta thula</i>	Costeiro	1	
3	<i>Elaenia flavogaster</i>	Costeiro	1	
3	<i>Formicivora rufa</i>	Costeiro	2	
3	<i>Icterus jamacaii</i>	Costeiro	1	
3	<i>Machetornis rixosa</i>	Costeiro	1	
3	<i>Mimus gilvus</i>	Costeiro	2	
3	<i>Molothrus bonariensis</i>	Costeiro	1	
3	<i>Pitangus sulphuratus</i>	Costeiro	3	
3	<i>Progne tapera</i>	Costeiro	1	
3	<i>Rynchops niger</i>	Costeiro	1	
3	<i>Sicalis flaveola</i>	Costeiro	5	

3	<i>Tachycineta albiventer</i>	Costeiro	1		4	<i>Chloroceryle amazona</i>	Estuário	2	
3	<i>Thalasseus acuffavidus</i>	Costeiro	2		4	<i>Cochlerius cochlearius</i>	Estuário	1	
3	<i>Tolmomyias flaviventris</i>	Costeiro	1		4	<i>Coereba flaveola</i>	Estuário	1	
3	<i>Vanellus chilensis</i>	Costeiro	1		4	<i>Dendrocygna autumnalis</i>	Estuário	1	
3	<i>Amazonetta brasiliensis</i>	Estuário	2		4	<i>Egretta thula</i>	Estuário	1	
3	<i>Celeus flavescens</i>	Estuário	1		4	<i>Empidonomus varius</i>	Estuário	3	
3	<i>Certhiaxis cinnamomeus</i>	Estuário	2		4	<i>Fluvicola nengeta</i>	Estuário	1	
3	<i>Chloroceryle amazona</i>	Estuário	1		4	<i>Furnarius rufus</i>	Estuário	1	
3	<i>Chloroceryle americana</i>	Estuário	2		4	<i>Geothlypis aequinoctialis</i>	Estuário	1	
3	<i>Dendrocygna autumnalis</i>	Estuário	1		4	<i>Glaucis hirsutus</i>	Estuário	2	
3	<i>Egretta thula</i>	Estuário	1		4	<i>Mustelirallus albicollis</i>	Estuário	1	
3	<i>Fluvicola nengeta</i>	Estuário	1		4	<i>Nannopterum brasilianus</i>	Estuário	1	
3	<i>Geothlypis aequinoctialis</i>	Estuário	3	24	4	<i>Ortalis aracuan</i>	Estuário	1	
3	<i>Himantopus melanurus</i>	Estuário	1		4	<i>Phaethornis idaliae</i>	Estuário	1	
3	<i>Leptotila rufaxilla</i>	Estuário	1		4	<i>Phaetusa simplex</i>	Estuário	1	
3	<i>Megaceryle torquata</i>	Estuário	1		4	<i>Pitangus sulphuratus</i>	Estuário	1	
3	<i>Nyctanassa violacea</i>	Estuário	1		4	<i>Sporophila collaris</i>	Estuário	1	
3	<i>Pitangus sulphuratus</i>	Estuário	2		4	<i>Tangara sayaca</i>	Estuário	1	
3	<i>Rallus longirostris</i>	Estuário	1		4	<i>Tolmomyias flaviventris</i>	Estuário	1	
3	<i>Sporophila collaris</i>	Estuário	2		4	<i>Vanellus cayanus</i>	Estuário	2	
3	<i>Thalasseus acuffavidus</i>	Estuário	1		4	<i>Actitis macularius</i>	Mangue	5	
3	<i>Actitis macularius</i>	Mangue	4		4	<i>Amazilia fimbriata</i>	Mangue	1	
3	<i>Chloroceryle amazona</i>	Mangue	1		4	<i>Ardea alba</i>	Mangue	1	
3	<i>Chloroceryle americana</i>	Mangue	2		4	<i>Charadrius semipalmatus</i>	Mangue	1	
3	<i>Columbina talpacoti</i>	Mangue	2		4	<i>Chloroceryle americana</i>	Mangue	1	
3	<i>Crotophaga major</i>	Mangue	1		4	<i>Conirostrum bicolor</i>	Mangue	8	
3	<i>Dendroplex picus</i>	Mangue	2		4	<i>Dendroplex picus</i>	Mangue	3	
3	<i>Egretta thula</i>	Mangue	1		4	<i>Egretta caerulea</i>	Mangue	1	
3	<i>Fluvicola nengeta</i>	Mangue	1	21	4	<i>Eupetomena macroura</i>	Mangue	1	
3	<i>Megarynchus pitangua</i>	Mangue	1		4	<i>Fluvicola nengeta</i>	Mangue	2	38
3	<i>Numenius hudsonicus</i>	Mangue	1		4	<i>Glaucis hirsutus</i>	Mangue	1	
3	<i>Nyctanassa violacea</i>	Mangue	1		4	<i>Megaceryle torquata</i>	Mangue	1	
3	<i>Pitangus sulphuratus</i>	Mangue	2		4	<i>Nyctanassa violacea</i>	Mangue	1	
3	<i>Thamnophilus palliatus</i>	Mangue	1		4	<i>Paroaria dominicana</i>	Mangue	1	
3	<i>Vanellus chilensis</i>	Mangue	1		4	<i>Pitangus sulphuratus</i>	Mangue	7	
Total Campanha 3			91		4	<i>Tachycineta albiventer</i>	Mangue	1	
4	<i>Actitis macularius</i>	Costeiro	1		4	<i>Tangara palmarum</i>	Mangue	1	
4	<i>Anthus lutescens</i>	Costeiro	1		4	<i>Tyrannus melancholicus</i>	Mangue	1	
4	<i>Ardea alba</i>	Costeiro	1		Total Campanha 4			110	
4	<i>Arenaria interpres</i>	Costeiro	1		5	<i>Actitis macularius</i>	Costeiro	1	
4	<i>Charadrius collaris</i>	Costeiro	1		5	<i>Anthus lutescens</i>	Costeiro	1	
4	<i>Charadrius semipalmatus</i>	Costeiro	4		5	<i>Ardea alba</i>	Costeiro	1	
4	<i>Chloroceryle americana</i>	Costeiro	1		5	<i>Arenaria interpres</i>	Costeiro	1	
4	<i>Columbina squammata</i>	Costeiro	5		5	<i>Calidris alba</i>	Costeiro	1	
4	<i>Conirostrum bicolor</i>	Costeiro	2		5	<i>Charadrius collaris</i>	Costeiro	2	
4	<i>Crotophaga ani</i>	Costeiro	2		5	<i>Charadrius semipalmatus</i>	Costeiro	2	
4	<i>Egretta thula</i>	Costeiro	1		5	<i>Columbina squammata</i>	Costeiro	3	
4	<i>Elaenia flavogaster</i>	Costeiro	1		5	<i>Columbina talpacoti</i>	Costeiro	1	
4	<i>Fluvicola nengeta</i>	Costeiro	2	37	5	<i>Conirostrum bicolor</i>	Costeiro	1	
4	<i>Hydropsalis torquata</i>	Costeiro	1		5	<i>Egretta thula</i>	Costeiro	1	
4	<i>Leptotila rufaxilla</i>	Costeiro	1		5	<i>Elaenia flavogaster</i>	Costeiro	1	50
4	<i>Mimus gilvus</i>	Costeiro	1		5	<i>Formicivora rufa</i>	Costeiro	2	
4	<i>Mimus saturninus</i>	Costeiro	2		5	<i>Geothlypis aequinoctialis</i>	Costeiro	1	
4	<i>Myiarchus sp.</i>	Costeiro	1		5	<i>Icterus jamacaii</i>	Costeiro	4	
4	<i>Numenius hudsonicus</i>	Costeiro	1		5	<i>Mimus gilvus</i>	Costeiro	4	
4	<i>Pitangus sulphuratus</i>	Costeiro	2		5	<i>Nannochordeiles pusillus</i>	Costeiro	4	
4	<i>Pluvialis squatarola</i>	Costeiro	1		5	<i>Numenius hudsonicus</i>	Costeiro	1	
4	<i>Rynchops niger</i>	Costeiro	1		5	<i>Pitangus sulphuratus</i>	Costeiro	12	
4	<i>Sterna hirundinacea</i>	Costeiro	1		5	<i>Sterna hirundo</i>	Costeiro	2	
4	<i>Tringa melanoleuca</i>	Costeiro	1		5	<i>Taraba major</i>	Costeiro	1	
4	<i>Turdus rufiventris</i>	Costeiro	1		5	<i>Turdus rufiventris</i>	Costeiro	1	
4	<i>Actitis macularius</i>	Estuário	2		5	<i>Tyrannus melancholicus</i>	Costeiro	2	
4	<i>Amazonetta brasiliensis</i>	Estuário	1		5	<i>Amazonetta brasiliensis</i>	Estuário	1	
4	<i>Cacicus haemorrhous</i>	Estuário	1	35	5	<i>Anthus lutescens</i>	Estuário	1	40
4	<i>Certhiaxis cinnamomeus</i>	Estuário	6		5	<i>Ardea cocoi</i>	Estuário	1	

5	<i>Camptostoma obsoletum</i>	Estuário	1	
5	<i>Cathartes burrovianus</i>	Estuário	1	
5	<i>Certhiaxis cinnamomeus</i>	Estuário	5	
5	<i>Chlorestes notata</i>	Estuário	1	
5	<i>Chloroceryle amazona</i>	Estuário	1	
5	<i>Columbina talpacoti</i>	Estuário	1	
5	<i>Dendrocygna autumnalis</i>	Estuário	1	
5	<i>Elaenia flavogaster</i>	Estuário	4	
5	<i>Geothlypis aequinoctialis</i>	Estuário	2	
5	<i>Icterus jamacaii</i>	Estuário	1	
5	<i>Mustelirallus albigollis</i>	Estuário	1	
5	<i>Nannopterum brasilianus</i>	Estuário	1	
5	<i>Nyctanassa violacea</i>	Estuário	1	
5	<i>Phaetusa simplex</i>	Estuário	1	
5	<i>Pitangus sulphuratus</i>	Estuário	4	
5	<i>Polytmus guainumbi</i>	Estuário	1	
5	<i>Rhynchotus rufescens</i>	Estuário	1	
5	<i>Sporophila collaris</i>	Estuário	1	
5	<i>Sporophila leucoptera</i>	Estuário	2	
5	<i>Thalasseus acuffavidus</i>	Estuário	1	
5	<i>Tyrannus melancholicus</i>	Estuário	2	
5	<i>Vanellus cayanus</i>	Estuário	2	
5	<i>Vanellus chilensis</i>	Estuário	1	
5	<i>Actitis macularius</i>	Mangue	10	
5	<i>Ardea alba</i>	Mangue	1	
5	<i>Charadrius semipalmatus</i>	Mangue	6	
5	<i>Chloroceryle amazona</i>	Mangue	2	
5	<i>Chloroceryle americana</i>	Mangue	2	
5	<i>Columbina talpacoti</i>	Mangue	1	
5	<i>Conirostrum bicolor</i>	Mangue	10	
5	<i>Dendroplex picus</i>	Mangue	3	
5	<i>Egretta caerulea</i>	Mangue	1	49
5	<i>Egretta thula</i>	Mangue	1	
5	<i>Fluvicola nengeta</i>	Mangue	1	
5	<i>Paroaria dominicana</i>	Mangue	1	
5	<i>Passer domesticus</i>	Mangue	1	
5	<i>Picumnus cirratus</i>	Mangue	1	
5	<i>Pitangus sulphuratus</i>	Mangue	5	
5	<i>Sicalis flaveola</i>	Mangue	1	
5	<i>Stelgidopteryx ruficollis</i>	Mangue	1	
5	<i>Turdus leucomelas</i>	Mangue	1	
Total Campanha 5			139	
6	<i>Amazilia leucogaster</i>	Costeiro	1	
6	<i>Anthus lutescens</i>	Costeiro	1	
6	<i>Arenaria interpres</i>	Costeiro	1	
6	<i>Charadrius semipalmatus</i>	Costeiro	1	
6	<i>Columbina squammata</i>	Costeiro	2	
6	<i>Conirostrum bicolor</i>	Costeiro	4	
6	<i>Crotophaga ani</i>	Costeiro	1	
6	<i>Egretta caerulea</i>	Costeiro	1	
6	<i>Egretta thula</i>	Costeiro	1	
6	<i>Elaenia flavogaster</i>	Costeiro	2	
6	<i>Eupetomena macroura</i>	Costeiro	1	
6	<i>Formicivora rufa</i>	Costeiro	3	46
6	<i>Furnarius rufus</i>	Costeiro	1	
6	<i>Icterus jamacaii</i>	Costeiro	3	
6	<i>Larus cirrocephalus</i>	Costeiro	1	
6	<i>Mimus gilvus</i>	Costeiro	7	
6	<i>Pitangus sulphuratus</i>	Costeiro	1	
6	<i>Rallus longirostris</i>	Costeiro	1	
6	<i>Rynchops niger</i>	Costeiro	2	
6	<i>Stelgidopteryx ruficollis</i>	Costeiro	1	
6	<i>Tangara cayana</i>	Costeiro	2	
6	<i>Taraba major</i>	Costeiro	1	
6	<i>Thalasseus acuffavidus</i>	Costeiro	1	

6	<i>Tyrannus melancholicus</i>	Costeiro	1	
6	<i>Volatinia jacarina</i>	Costeiro	5	
6	<i>Amazonetta brasiliensis</i>	Estuário	1	
6	<i>Cairina moschata</i>	Estuário	2	
6	<i>Camptostoma obsoletum</i>	Estuário	2	
6	<i>Certhiaxis cinnamomeus</i>	Estuário	3	
6	<i>Chloroceryle amazona</i>	Estuário	1	
6	<i>Coryphospingus pileatus</i>	Estuário	1	
6	<i>Egretta thula</i>	Estuário	1	
6	<i>Eupetomena macroura</i>	Estuário	2	
6	<i>Fluvicola nengeta</i>	Estuário	1	
6	<i>Geothlypis aequinoctialis</i>	Estuário	2	
6	<i>Himantopus melanurus</i>	Estuário	1	
6	<i>Icterus jamacaii</i>	Estuário	2	43
6	<i>Jacana jacana</i>	Estuário	1	
6	<i>Leptotila rufaxilla</i>	Estuário	1	
6	<i>Nannopterum brasilianus</i>	Estuário	1	
6	<i>Nyctidromus albigollis</i>	Estuário	2	
6	<i>Pitangus sulphuratus</i>	Estuário	3	
6	<i>Rynchops niger</i>	Estuário	3	
6	<i>Sicalis flaveola</i>	Estuário	1	
6	<i>Thalasseus acuffavidus</i>	Estuário	2	
6	<i>Tigrisoma lineatum</i>	Estuário	1	
6	<i>Vanellus chilensis</i>	Estuário	1	
6	<i>Volatinia jacarina</i>	Estuário	8	
6	<i>Amazilia fimbriata</i>	Mangue	1	
6	<i>Aramides mangle</i>	Mangue	1	
6	<i>Ardea alba</i>	Mangue	1	
6	<i>Chloroceryle amazona</i>	Mangue	1	
6	<i>Chloroceryle americana</i>	Mangue	1	
6	<i>Columbina talpacoti</i>	Mangue	1	
6	<i>Conirostrum bicolor</i>	Mangue	9	
6	<i>Crotophaga major</i>	Mangue	1	
6	<i>Dendroplex picus</i>	Mangue	2	29
6	<i>Eupetomena macroura</i>	Mangue	1	
6	<i>Fluvicola nengeta</i>	Mangue	1	
6	<i>Megaceryle torquata</i>	Mangue	2	
6	<i>Myiarchus tyrannulus</i>	Mangue	1	
6	<i>Nyctanassa violacea</i>	Mangue	1	
6	<i>Pitangus sulphuratus</i>	Mangue	3	
6	<i>Tachycineta albiventer</i>	Mangue	1	
6	<i>Tyrannus melancholicus</i>	Mangue	1	
Total Campanha 6			118	
7	<i>Actitis macularius</i>	Costeiro	8	
7	<i>Arenaria interpres</i>	Costeiro	2	
7	<i>Calidris alba</i>	Costeiro	1	
7	<i>Chordeiles acutipennis</i>	Costeiro	2	
7	<i>Columbina squammata</i>	Costeiro	2	
7	<i>Columbina talpacoti</i>	Costeiro	2	
7	<i>Conirostrum bicolor</i>	Costeiro	3	
7	<i>Egretta caerulea</i>	Costeiro	1	
7	<i>Egretta thula</i>	Costeiro	1	
7	<i>Elaenia cf. mesoleuca</i>	Costeiro	2	
7	<i>Elaenia flavogaster</i>	Costeiro	1	46
7	<i>Formicivora rufa</i>	Costeiro	1	
7	<i>Laterallus viridis</i>	Costeiro	1	
7	<i>Machetornis rixosa</i>	Costeiro	1	
7	<i>Mimus gilvus</i>	Costeiro	3	
7	<i>Myiarchus ferox</i>	Costeiro	1	
7	<i>Paroaria dominicana</i>	Costeiro	2	
7	<i>Pitangus sulphuratus</i>	Costeiro	2	
7	<i>Pluvialis squatarola</i>	Costeiro	1	
7	<i>Rallus longirostris</i>	Costeiro	2	
7	<i>Stelgidopteryx ruficollis</i>	Costeiro	2	
7	<i>Thalasseus acuffavidus</i>	Costeiro	2	

7	<i>Thalasseus maximus</i>	Costeiro	1	57
7	<i>Todirostrum cinereum</i>	Costeiro	1	
7	<i>Tyrannus melancholicus</i>	Costeiro	1	
7	<i>Amazonetta brasiliensis</i>	Estuário	2	
7	<i>Anthus lutescens</i>	Estuário	1	
7	<i>Butorides striata</i>	Estuário	1	
7	<i>Camptostoma obsoletum</i>	Estuário	1	
7	<i>Certhiaxis cinnamomeus</i>	Estuário	3	
7	<i>Charadrius semipalmatus</i>	Estuário	1	
7	<i>Chloroceryle amazona</i>	Estuário	1	
7	<i>Chordeiles acutipennis</i>	Estuário	1	
7	<i>Columbina squammata</i>	Estuário	1	
7	<i>Crotophaga ani</i>	Estuário	1	
7	<i>Dendrocygna autumnalis</i>	Estuário	1	
7	<i>Egretta thula</i>	Estuário	1	
7	<i>Furnarius rufus</i>	Estuário	2	
7	<i>Geothlypis aequinoctialis</i>	Estuário	1	
7	<i>Glaucidium brasilianum</i>	Estuário	1	
7	<i>Glaucis hirsutus</i>	Estuário	1	
7	<i>Icterus jamacaii</i>	Estuário	4	
7	<i>Megaceryle torquata</i>	Estuário	2	
7	<i>Mustelirallus albicollis</i>	Estuário	1	
7	<i>Myiozetetes similis</i>	Estuário	1	
7	<i>Nannopterum brasilianus</i>	Estuário	2	
7	<i>Paroaria dominicana</i>	Estuário	3	
7	<i>Phaetusa simplex</i>	Estuário	1	
7	<i>Picumnus cirratus</i>	Estuário	1	
7	<i>Pitangus sulphuratus</i>	Estuário	6	
7	<i>Polytmus guainumbi</i>	Estuário	1	
7	<i>Pteroglossus aracari</i>	Estuário	1	
7	<i>Satrapa icterophrys</i>	Estuário	1	
7	<i>Sicalis flaveola</i>	Estuário	2	
7	<i>Sporophila collaris</i>	Estuário	2	
7	<i>Tyrannus melancholicus</i>	Estuário	6	
7	<i>Vanellus cayanus</i>	Estuário	3	
7	<i>Actitis macularius</i>	Mangue	7	56
7	<i>Celeus flavescens</i>	Mangue	1	
7	<i>Charadrius semipalmatus</i>	Mangue	8	
7	<i>Chloroceryle amazona</i>	Mangue	2	
7	<i>Chloroceryle americana</i>	Mangue	4	
7	<i>Columbina talpacoti</i>	Mangue	2	
7	<i>Conirostrum bicolor</i>	Mangue	6	
7	<i>Dendroplex picus</i>	Mangue	1	
7	<i>Egretta caerulea</i>	Mangue	2	
7	<i>Eupetomena macroura</i>	Mangue	1	
7	<i>Fluvicola nengeta</i>	Mangue	1	
7	<i>Furnarius rufus</i>	Mangue	1	
7	<i>Icterus jamacaii</i>	Mangue	1	
7	<i>Megaceryle torquata</i>	Mangue	1	
7	<i>Mimus gilvus</i>	Mangue	1	
7	<i>Nannopterum brasilianus</i>	Mangue	1	
7	<i>Nyctanassa violacea</i>	Mangue	2	
7	<i>Picumnus cirratus</i>	Mangue	2	
7	<i>Pitangus sulphuratus</i>	Mangue	7	
7	<i>Tachycineta albiventer</i>	Mangue	1	
7	<i>Troglodytes musculus</i>	Mangue	3	
7	<i>Tyrannus melancholicus</i>	Mangue	1	
Total Campanha 7			159	
8	<i>Actitis macularius</i>	Costeiro	3	78
8	<i>Amazilia leucogaster</i>	Costeiro	1	
8	<i>Amazilia versicolor</i>	Costeiro	1	
8	<i>Ardea alba</i>	Costeiro	1	
8	<i>Arenaria interpres</i>	Costeiro	1	
8	<i>Calidris alba</i>	Costeiro	1	
8	<i>Charadrius collaris</i>	Costeiro	1	

8	<i>Charadrius semipalmatus</i>	Costeiro	6	69
8	<i>Chordeiles acutipennis</i>	Costeiro	2	
8	<i>Columbina squammata</i>	Costeiro	4	
8	<i>Columbina talpacoti</i>	Costeiro	2	
8	<i>Conirostrum bicolor</i>	Costeiro	4	
8	<i>Dacnis cayana</i>	Costeiro	1	
8	<i>Egretta caerulea</i>	Costeiro	1	
8	<i>Elaenia flavogaster</i>	Costeiro	1	
8	<i>Fregata magnificens</i>	Costeiro	1	
8	<i>Icterus jamacaii</i>	Costeiro	2	
8	<i>Machetornis rixosa</i>	Costeiro	1	
8	<i>Mimus gilvus</i>	Costeiro	1	
8	<i>Mimus saturninus</i>	Costeiro	4	
8	<i>Myiarchus sp.</i>	Costeiro	1	
8	<i>Numenius hudsonicus</i>	Costeiro	1	
8	<i>Paroaria dominicana</i>	Costeiro	3	
8	<i>Pitangus sulphuratus</i>	Costeiro	7	
8	<i>Pluvialis squatarola</i>	Costeiro	2	
8	<i>Stelgidopteryx ruficollis</i>	Costeiro	1	
8	<i>Sterna hirundo</i>	Costeiro	2	
8	<i>Tachycineta albiventer</i>	Costeiro	1	
8	<i>Tangara cayana</i>	Costeiro	2	
8	<i>Tangara palmarum</i>	Costeiro	1	
8	<i>Thalasseus acuflavidus</i>	Costeiro	13	
8	<i>Tyrannus melancholicus</i>	Costeiro	2	
8	<i>Volatinia jacarina</i>	Costeiro	3	
8	<i>Amazilia fimbriata</i>	Estuário	1	
8	<i>Amazonetta brasiliensis</i>	Estuário	1	
8	<i>Anthus lutescens</i>	Estuário	2	
8	<i>Cairina moschata</i>	Estuário	1	
8	<i>Certhiaxis cinnamomeus</i>	Estuário	4	
8	<i>Charadrius semipalmatus</i>	Estuário	2	
8	<i>Chloroceryle amazona</i>	Estuário	1	
8	<i>Columbina minuta</i>	Estuário	1	
8	<i>Conirostrum bicolor</i>	Estuário	1	
8	<i>Crotophaga ani</i>	Estuário	3	
8	<i>Egretta caerulea</i>	Estuário	1	
8	<i>Elaenia flavogaster</i>	Estuário	3	
8	<i>Geothlypis aequinoctialis</i>	Estuário	3	
8	<i>Himantopus melanurus</i>	Estuário	1	
8	<i>Icterus jamacaii</i>	Estuário	3	
8	<i>Jacana jacana</i>	Estuário	5	
8	<i>Myiozetetes similis</i>	Estuário	4	
8	<i>Nannopterum brasilianus</i>	Estuário	1	
8	<i>Nyctanassa violacea</i>	Estuário	1	
8	<i>Nyctidromus albicollis</i>	Estuário	1	
8	<i>Paroaria dominicana</i>	Estuário	1	
8	<i>Patagioenas picazuro</i>	Estuário	1	
8	<i>Phaetusa simplex</i>	Estuário	1	
8	<i>Pitangus sulphuratus</i>	Estuário	5	
8	<i>Polytmus guainumbi</i>	Estuário	2	
8	<i>Progne chalybea</i>	Estuário	1	
8	<i>Rynchops niger</i>	Estuário	2	
8	<i>Sicalis flaveola</i>	Estuário	1	
8	<i>Tangara sayaca</i>	Estuário	1	
8	<i>Tyrannus melancholicus</i>	Estuário	7	
8	<i>Vanellus cayanus</i>	Estuário	4	
8	<i>Volatinia jacarina</i>	Estuário	3	
8	<i>Actitis macularius</i>	Mangue	3	25
8	<i>Aramides mangle</i>	Mangue	1	
8	<i>Ardea alba</i>	Mangue	1	
8	<i>Cacicus haemorrhous</i>	Mangue	1	
8	<i>Cairina moschata</i>	Mangue	1	
8	<i>Chloroceryle amazona</i>	Mangue	2	
8	<i>Conirostrum bicolor</i>	Mangue	1	

8	<i>Egretta caerulea</i>	Mangue	1	
8	<i>Forpus xanthopterygius</i>	Mangue	1	
8	<i>Megaceryle torquata</i>	Mangue	1	
8	<i>Nannopterum brasilianus</i>	Mangue	1	
8	<i>Picumnus cirratus</i>	Mangue	1	
8	<i>Pitangus sulphuratus</i>	Mangue	4	
8	<i>Pygochelidon cyanoleuca</i>	Mangue	1	
8	<i>Stelgidopteryx ruficollis</i>	Mangue	1	
8	<i>Tachycineta albiventer</i>	Mangue	2	
8	<i>Tangara brasiliensis</i>	Mangue	1	
8	<i>Turdus rufiventris</i>	Mangue	1	
Total Campanha 8			172	
9	<i>Arenaria interpres</i>	Costeiro	2	
9	<i>Chloroceryle americana</i>	Costeiro	1	
9	<i>Chordeiles acutipennis</i>	Costeiro	1	
9	<i>Columbina picui</i>	Costeiro	1	
9	<i>Columbina squammata</i>	Costeiro	4	
9	<i>Columbina talpacoti</i>	Costeiro	1	
9	<i>Conirostrum bicolor</i>	Costeiro	9	
9	<i>Egretta caerulea</i>	Costeiro	2	
9	<i>Egretta thula</i>	Costeiro	1	
9	<i>Eupetomena macroura</i>	Costeiro	2	
9	<i>Fluvicola nengeta</i>	Costeiro	1	
9	<i>Icterus jamacaii</i>	Costeiro	1	
9	<i>Leptotila verreauxi</i>	Costeiro	1	59
9	<i>Melanerpes candidus</i>	Costeiro	1	
9	<i>Mimus gilvus</i>	Costeiro	4	
9	<i>Myiarchus tyrannulus</i>	Costeiro	2	
9	<i>Patagioenas cayennensis</i>	Costeiro	1	
9	<i>Pitangus sulphuratus</i>	Costeiro	1	
9	<i>Stelgidopteryx ruficollis</i>	Costeiro	2	
9	<i>Sterna hirundo</i>	Costeiro	9	
9	<i>Tachycineta albiventer</i>	Costeiro	1	
9	<i>Thalasseus acutiflavus</i>	Costeiro	8	
9	<i>Tringa melanoleuca</i>	Costeiro	1	
9	<i>Troglodytes musculus</i>	Costeiro	1	
9	<i>Tyrannus melancholicus</i>	Costeiro	1	
9	<i>Actitis macularius</i>	Estuário	1	
9	<i>Amazonetta brasiliensis</i>	Estuário	2	
9	<i>Anthus lutescens</i>	Estuário	1	
9	<i>Butorides striata</i>	Estuário	1	
9	<i>Camptostoma obsoletum</i>	Estuário	3	
9	<i>Cathartes aura</i>	Estuário	1	
9	<i>Cathartes burrovianus</i>	Estuário	1	
9	<i>Celeus flavescens</i>	Estuário	1	
9	<i>Certhiaxis cinnamomeus</i>	Estuário	9	
9	<i>Chloroceryle amazona</i>	Estuário	3	
9	<i>Columbina talpacoti</i>	Estuário	1	
9	<i>Crotophaga ani</i>	Estuário	1	
9	<i>Crotophaga major</i>	Estuário	1	
9	<i>Dendrocygna autumnalis</i>	Estuário	1	73
9	<i>Egretta thula</i>	Estuário	1	
9	<i>Elaenia flavogaster</i>	Estuário	1	
9	<i>Eupetomena macroura</i>	Estuário	1	
9	<i>Fluvicola nengeta</i>	Estuário	2	
9	<i>Furnarius figulus</i>	Estuário	1	
9	<i>Gallinula galeata</i>	Estuário	1	
9	<i>Geothlypis aequinoctialis</i>	Estuário	3	
9	<i>Guira guira</i>	Estuário	3	
9	<i>Icterus jamacaii</i>	Estuário	2	
9	<i>Jacana jacana</i>	Estuário	1	
9	<i>Leptotila rufaxilla</i>	Estuário	2	
9	<i>Leptotila verreauxi</i>	Estuário	2	
9	<i>Myiozetetes similis</i>	Estuário	1	
9	<i>Nycticorax nycticorax</i>	Estuário	1	

9	<i>Nyctidromus albicollis</i>	Estuário	1	
9	<i>Phaetusa simplex</i>	Estuário	1	
9	<i>Pitangus sulphuratus</i>	Estuário	11	
9	<i>Polytmus guainumbi</i>	Estuário	1	
9	<i>Rostrhamus sociabilis</i>	Estuário	1	
9	<i>Sporophila leucoptera</i>	Estuário	2	
9	<i>Tachybaptus dominicus</i>	Estuário	2	
9	<i>Tangara sayaca</i>	Estuário	1	
9	<i>Tyrannus melancholicus</i>	Estuário	2	
9	<i>Vanellus cayanus</i>	Estuário	2	
9	<i>Actitis macularius</i>	Mangue	5	
9	<i>Charadrius semipalmatus</i>	Mangue	4	
9	<i>Chloroceryle amazona</i>	Mangue	3	
9	<i>Chloroceryle americana</i>	Mangue	1	
9	<i>Coccyzus americanus</i>	Mangue	1	
9	<i>Coereba flaveola</i>	Mangue	1	
9	<i>Columbina talpacoti</i>	Mangue	1	
9	<i>Conirostrum bicolor</i>	Mangue	3	
9	<i>Cyanerpes cyaneus</i>	Mangue	3	
9	<i>Dendrocygna autumnalis</i>	Mangue	1	
9	<i>Dendroplex picus</i>	Mangue	2	
9	<i>Egretta caerulea</i>	Mangue	1	41
9	<i>Egretta thula</i>	Mangue	1	
9	<i>Eupetomena macroura</i>	Mangue	1	
9	<i>Euphonia chlorotica</i>	Mangue	1	
9	<i>Myiozetetes similis</i>	Mangue	1	
9	<i>Paroaria dominicana</i>	Mangue	1	
9	<i>Pitangus sulphuratus</i>	Mangue	1	
9	<i>Sicalis flaveola</i>	Mangue	3	
9	<i>Tachycineta albiventer</i>	Mangue	1	
9	<i>Tolmomyias flaviventris</i>	Mangue	1	
9	<i>Troglodytes musculus</i>	Mangue	1	
9	<i>Tyrannus melancholicus</i>	Mangue	3	
Total Campanha 9			173	
10	<i>Anthus lutescens</i>	Costeiro	1	
10	<i>Columbina talpacoti</i>	Costeiro	1	
10	<i>Conirostrum bicolor</i>	Costeiro	1	
10	<i>Egretta caerulea</i>	Costeiro	1	
10	<i>Egretta thula</i>	Costeiro	1	
10	<i>Elaenia flavogaster</i>	Costeiro	1	
10	<i>Formicivora rufa</i>	Costeiro	2	
10	<i>Mimus gilvus</i>	Costeiro	2	20
10	<i>Paroaria dominicana</i>	Costeiro	1	
10	<i>Pitangus sulphuratus</i>	Costeiro	2	
10	<i>Progne tapera</i>	Costeiro	1	
10	<i>Taraba major</i>	Costeiro	2	
10	<i>Thamnophilus palliatus</i>	Costeiro	1	
10	<i>Turdus amaurochalinus</i>	Costeiro	1	
10	<i>Turdus leucomelas</i>	Costeiro	1	
10	<i>Vanellus chilensis</i>	Costeiro	1	
10	<i>Amazona amazonica</i>	Estuário	1	
10	<i>Amazonetta brasiliensis</i>	Estuário	1	
10	<i>Certhiaxis cinnamomeus</i>	Estuário	2	
10	<i>Charadrius semipalmatus</i>	Estuário	2	
10	<i>Chloroceryle amazona</i>	Estuário	1	
10	<i>Coereba flaveola</i>	Estuário	2	
10	<i>Columbina squammata</i>	Estuário	1	
10	<i>Columbina talpacoti</i>	Estuário	2	44
10	<i>Dendrocygna autumnalis</i>	Estuário	1	
10	<i>Dryocopus lineatus</i>	Estuário	1	
10	<i>Egretta thula</i>	Estuário	1	
10	<i>Fluvicola nengeta</i>	Estuário	1	
10	<i>Geothlypis aequinoctialis</i>	Estuário	2	
10	<i>Icterus jamacaii</i>	Estuário	2	
10	<i>Leptotila verreauxi</i>	Estuário	3	

10	<i>Myiarchus ferox</i>	Estuário	3	
10	<i>Myiozetestes similis</i>	Estuário	1	
10	<i>Nannopterum brasilianus</i>	Estuário	1	
10	<i>Nyctanassa violacea</i>	Estuário	1	
10	<i>Nyctibius grandis</i>	Estuário	1	
10	<i>Pitangus sulphuratus</i>	Estuário	4	
10	<i>Polytmus guainumbi</i>	Estuário	1	
10	<i>Psittacara leucophthalmus</i>	Estuário	1	
10	<i>Rynchops niger</i>	Estuário	1	
10	<i>Saltator maximus</i>	Estuário	1	
10	<i>Sporophila collaris</i>	Estuário	1	
10	<i>Tyrannus melancholicus</i>	Estuário	2	
10	<i>Vanellus cayanus</i>	Estuário	1	
10	<i>Vanellus chilensis</i>	Estuário	2	
10	<i>Ardea alba</i>	Mangue	1	
10	<i>Charadrius semipalmatus</i>	Mangue	1	
10	<i>Chloroceryle amazona</i>	Mangue	2	
10	<i>Chloroceryle americana</i>	Mangue	1	
10	<i>Dendroplex picus</i>	Mangue	2	
10	<i>Egretta caerulea</i>	Mangue	2	
10	<i>Egretta thula</i>	Mangue	1	17
10	<i>Glaucis hirsutus</i>	Mangue	1	
10	<i>Myiarchus tyrannulus</i>	Mangue	1	
10	<i>Pitangus sulphuratus</i>	Mangue	3	
10	<i>Rallus longirostris</i>	Mangue	1	
10	<i>Stelgidopteryx ruficollis</i>	Mangue	1	
Total Campanha 10			81	
11	<i>Actitis macularius</i>	Costeiro	1	
11	<i>Amazilia leucogaster</i>	Costeiro	1	
11	<i>Arenaria interpres</i>	Costeiro	1	
11	<i>Charadrius collaris</i>	Costeiro	2	
11	<i>Charadrius semipalmatus</i>	Costeiro	1	
11	<i>Chordeiles acutipennis</i>	Costeiro	1	
11	<i>Coccyzus melacoryphus</i>	Costeiro	1	
11	<i>Conirostrum bicolor</i>	Costeiro	1	
11	<i>Egretta caerulea</i>	Costeiro	1	
11	<i>Egretta thula</i>	Costeiro	1	
11	<i>Elaenia flavogaster</i>	Costeiro	3	
11	<i>Eupetomena macroura</i>	Costeiro	1	
11	<i>Fluvicola nengeta</i>	Costeiro	1	
11	<i>Formicivora rufa</i>	Costeiro	2	
11	<i>Furnarius figulus</i>	Costeiro	1	
11	<i>Geothlypis aequinoctialis</i>	Costeiro	1	47
11	<i>Icterus jamacaii</i>	Costeiro	1	
11	<i>Mimus gilvus</i>	Costeiro	2	
11	<i>Myiarchus tyrannulus</i>	Costeiro	2	
11	<i>Pitangus sulphuratus</i>	Costeiro	2	
11	<i>Pluvialis squatarola</i>	Costeiro	1	
11	<i>Progne subis</i>	Costeiro	2	
11	<i>Progne tapera</i>	Costeiro	3	
11	<i>Pygochelidon cyanoleuca</i>	Costeiro	1	
11	<i>Rallus longirostris</i>	Costeiro	2	
11	<i>Schistochlamys melanopsis</i>	Costeiro	1	
11	<i>Sicalis flaveola</i>	Costeiro	1	
11	<i>Sterna hirundo</i>	Costeiro	4	
11	<i>Thalasseus acutifidus</i>	Costeiro	3	
11	<i>Troglodytes musculus</i>	Costeiro	1	
11	<i>Tyrannus melancholicus</i>	Costeiro	1	
11	<i>Actitis macularius</i>	Estuário	1	
11	<i>Amazonetta brasiliensis</i>	Estuário	3	
11	<i>Butorides striata</i>	Estuário	1	
11	<i>Cairina moschata</i>	Estuário	1	62
11	<i>Camptostoma obsoletum</i>	Estuário	3	
11	<i>Certhiaxis cinnamomeus</i>	Estuário	6	
11	<i>Chloroceryle amazona</i>	Estuário	2	

11	<i>Coereba flaveola</i>	Estuário	2	
11	<i>Columbina talpacoti</i>	Estuário	2	
11	<i>Crotophaga ani</i>	Estuário	2	
11	<i>Egretta thula</i>	Estuário	1	
11	<i>Elaenia flavogaster</i>	Estuário	1	
11	<i>Eupetomena macroura</i>	Estuário	1	
11	<i>Eupsittula aurea</i>	Estuário	2	
11	<i>Fluvicola albiventer</i>	Estuário	1	
11	<i>Furnarius figulus</i>	Estuário	1	
11	<i>Geothlypis aequinoctialis</i>	Estuário	2	
11	<i>Jacana jacana</i>	Estuário	3	
11	<i>Leptotila rufaxilla</i>	Estuário	1	
11	<i>Myiozetestes similis</i>	Estuário	4	
11	<i>Nannopterum brasilianus</i>	Estuário	1	
11	<i>Nyctidromus albicollis</i>	Estuário	2	
11	<i>Paroaria dominicana</i>	Estuário	1	
11	<i>Phaetusa simplex</i>	Estuário	1	
11	<i>Picumnus cirratus</i>	Estuário	1	
11	<i>Pitangus sulphuratus</i>	Estuário	4	
11	<i>Platalea ajaja</i>	Estuário	1	
11	<i>Progne tapera</i>	Estuário	1	
11	<i>Thraupis sayaca</i>	Estuário	1	
11	<i>Tolmomyias flaviventris</i>	Estuário	1	
11	<i>Tringa flavipes</i>	Estuário	1	
11	<i>Turdus amaurochalinus</i>	Estuário	1	
11	<i>Turdus rufiventris</i>	Estuário	1	
11	<i>Tyrannus melancholicus</i>	Estuário	3	
11	<i>Vanellus cayanus</i>	Estuário	2	
11	<i>Actitis macularius</i>	Mangue	4	
11	<i>Amazilia fimbriata</i>	Mangue	1	
11	<i>Charadrius semipalmatus</i>	Mangue	4	
11	<i>Chlorestes notata</i>	Mangue	1	
11	<i>Chloroceryle amazona</i>	Mangue	2	
11	<i>Chloroceryle americana</i>	Mangue	2	
11	<i>Columbina picui</i>	Mangue	1	
11	<i>Conirostrum bicolor</i>	Mangue	3	31
11	<i>Dendroplex picus</i>	Mangue	2	
11	<i>Egretta caerulea</i>	Mangue	1	
11	<i>Nyctanassa violacea</i>	Mangue	2	
11	<i>Pitangus sulphuratus</i>	Mangue	4	
11	<i>Progne tapera</i>	Mangue	1	
11	<i>Tachycineta albiventer</i>	Mangue	1	
11	<i>Thraupis palmarum</i>	Mangue	2	
Total Campanha 11			140	
12	<i>Amazilia leucogaster</i>	Costeiro	1	
12	<i>Anthus lutescens</i>	Costeiro	1	
12	<i>Calidris alba</i>	Costeiro	1	
12	<i>Charadrius semipalmatus</i>	Costeiro	1	
12	<i>Conirostrum bicolor</i>	Costeiro	1	
12	<i>Egretta caerulea</i>	Costeiro	1	
12	<i>Egretta thula</i>	Costeiro	1	
12	<i>Elaenia flavogaster</i>	Costeiro	2	
12	<i>Formicivora rufa</i>	Costeiro	2	
12	<i>Geothlypis aequinoctialis</i>	Costeiro	1	
12	<i>Icterus jamacaii</i>	Costeiro	9	45
12	<i>Machetornis rixosa</i>	Costeiro	1	
12	<i>Mimus gilvus</i>	Costeiro	2	
12	<i>Mimus saturninus</i>	Costeiro	1	
12	<i>Myiarchus sp.</i>	Costeiro	1	
12	<i>Paroaria dominicana</i>	Costeiro	1	
12	<i>Sicalis flaveola</i>	Costeiro	1	
12	<i>Sporophila nigricollis</i>	Costeiro	1	
12	<i>Stelgidopteryx ruficollis</i>	Costeiro	2	
12	<i>Tangara cayana</i>	Costeiro	5	
12	<i>Taraba major</i>	Costeiro	1	

12	<i>Thalasseus acuflavidus</i>	Costeiro	1	33
12	<i>Thalasseus maximus</i>	Costeiro	1	
12	<i>Thraupis sayaca</i>	Costeiro	5	
12	<i>Troglodytes musculus</i>	Costeiro	1	
12	<i>Amazonetta brasiliensis</i>	Estuário	1	
12	<i>Ardea cocoi</i>	Estuário	1	
12	<i>Cairina moschata</i>	Estuário	1	
12	<i>Camptostoma obsoletum</i>	Estuário	1	
12	<i>Certhiaxis cinnamomeus</i>	Estuário	6	
12	<i>Charadrius semipalmatus</i>	Estuário	1	
12	<i>Chloroceryle amazona</i>	Estuário	1	
12	<i>Columbina talpacoti</i>	Estuário	1	
12	<i>Coryphospingus pileatus</i>	Estuário	2	
12	<i>Crotophaga major</i>	Estuário	1	
12	<i>Dacnis cayana</i>	Estuário	1	
12	<i>Egretta caerulea</i>	Estuário	1	
12	<i>Elaenia flavogaster</i>	Estuário	1	
12	<i>Geothlypis aequinoctialis</i>	Estuário	2	
12	<i>Jacana jacana</i>	Estuário	2	
12	<i>Leptotila verreauxi</i>	Estuário	2	
12	<i>Myiarchus ferox</i>	Estuário	2	
12	<i>Nannopterum brasilianus</i>	Estuário	1	
12	<i>Nyctidromus albigollis</i>	Estuário	2	
12	<i>Patagioenas picazuro</i>	Estuário	1	
12	<i>Picumnus cirratus</i>	Estuário	1	
12	<i>Tolmomyias flaviventris</i>	Estuário	1	
12	<i>Cacicus haemorrhous</i>	Mangue	1	
12	<i>Chloroceryle amazona</i>	Mangue	2	
12	<i>Chloroceryle americana</i>	Mangue	3	
12	<i>Conirostrum bicolor</i>	Mangue	2	
12	<i>Dendroplex picus</i>	Mangue	2	
12	<i>Egretta caerulea</i>	Mangue	2	
12	<i>Eupetomena macroura</i>	Mangue	1	
12	<i>Myiozetetes similis</i>	Mangue	1	
12	<i>Nyctanassa violacea</i>	Mangue	2	
12	<i>Paroaria dominicana</i>	Mangue	1	
12	<i>Passer domesticus</i>	Mangue	2	
12	<i>Picumnus cirratus</i>	Mangue	1	
12	<i>Pitangus sulphuratus</i>	Mangue	2	
12	<i>Rallus longirostris</i>	Mangue	2	
12	<i>Vanellus chilensis</i>	Mangue	1	
Total Campanha 12			103	
13	<i>Actitis macularius</i>	Costeiro	8	45
13	<i>Calidris alba</i>	Costeiro	1	
13	<i>Charadrius semipalmatus</i>	Costeiro	1	
13	<i>Chloroceryle americana</i>	Costeiro	1	
13	<i>Columbina squammata</i>	Costeiro	1	
13	<i>Columbina talpacoti</i>	Costeiro	3	
13	<i>Conirostrum bicolor</i>	Costeiro	2	
13	<i>Dendroplex picus</i>	Costeiro	1	
13	<i>Egretta caerulea</i>	Costeiro	1	
13	<i>Egretta thula</i>	Costeiro	1	
13	<i>Elaenia flavogaster</i>	Costeiro	2	
13	<i>Formicivora rufa</i>	Costeiro	1	
13	<i>Icterus jamacaii</i>	Costeiro	2	
13	<i>Machetornis rixosa</i>	Costeiro	1	
13	<i>Mimus gilvus</i>	Costeiro	1	
13	<i>Myiarchus tyrannulus</i>	Costeiro	1	
13	<i>Numenius hudsonicus</i>	Costeiro	3	
13	<i>Paroaria dominicana</i>	Costeiro	1	
13	<i>Pitangus sulphuratus</i>	Costeiro	3	
13	<i>Pluvialis squatarola</i>	Costeiro	1	
13	<i>Progne tapera</i>	Costeiro	1	
13	<i>Sicalis flaveola</i>	Costeiro	1	
13	<i>Stelgidopteryx ruficollis</i>	Costeiro	1	

13	<i>Sterna hirundo</i>	Costeiro	1	46
13	<i>Taraba major</i>	Costeiro	1	
13	<i>Thalasseus acuflavidus</i>	Costeiro	2	
13	<i>Turdus leucomelas</i>	Costeiro	1	
13	<i>Tyrannus melancholicus</i>	Costeiro	1	
13	<i>Amazonetta brasiliensis</i>	Estuário	1	
13	<i>Butorides striata</i>	Estuário	1	
13	<i>Camptostoma obsoletum</i>	Estuário	2	
13	<i>Certhiaxis cinnamomeus</i>	Estuário	4	
13	<i>Chloroceryle amazona</i>	Estuário	1	
13	<i>Columbina talpacoti</i>	Estuário	2	
13	<i>Coryphospingus pileatus</i>	Estuário	1	
13	<i>Crotophaga ani</i>	Estuário	1	
13	<i>Dacnis cayana</i>	Estuário	2	
13	<i>Dendrocygna autumnalis</i>	Estuário	1	
13	<i>Egretta caerulea</i>	Estuário	1	
13	<i>Elaenia cf. parvirostris</i>	Estuário	1	
13	<i>Elaenia flavogaster</i>	Estuário	1	
13	<i>Euphonia violacea</i>	Estuário	1	
13	<i>Furnarius figulus</i>	Estuário	1	
13	<i>Guira guira</i>	Estuário	2	
13	<i>Mustelirallus albigollis</i>	Estuário	1	
13	<i>Nannopterum brasilianus</i>	Estuário	1	
13	<i>Patagioenas cayennensis</i>	Estuário	1	
13	<i>Picumnus cirratus</i>	Estuário	2	
13	<i>Pitangus sulphuratus</i>	Estuário	9	
13	<i>Rynchops niger</i>	Estuário	1	
13	<i>Sicalis flaveola</i>	Estuário	1	
13	<i>Tolmomyias flaviventris</i>	Estuário	2	
13	<i>Tyrannus melancholicus</i>	Estuário	2	
13	<i>Vanellus cayanus</i>	Estuário	3	
13	<i>Actitis macularius</i>	Mangue	2	
13	<i>Cacicus haemorrhous</i>	Mangue	2	
13	<i>Camptostoma obsoletum</i>	Mangue	1	
13	<i>Charadrius semipalmatus</i>	Mangue	4	
13	<i>Chloroceryle amazona</i>	Mangue	4	
13	<i>Chloroceryle americana</i>	Mangue	1	
13	<i>Columbina talpacoti</i>	Mangue	2	
13	<i>Conirostrum bicolor</i>	Mangue	1	
13	<i>Dendroplex picus</i>	Mangue	3	
13	<i>Egretta caerulea</i>	Mangue	1	
13	<i>Elaenia flavogaster</i>	Mangue	1	
13	<i>Forpus xanthopterygius</i>	Mangue	1	
13	<i>Galbula ruficauda</i>	Mangue	1	
13	<i>Hylophilus thoracicus</i>	Mangue	1	
13	<i>Molothrus bonariensis</i>	Mangue	1	
13	<i>Myiarchus tyrannulus</i>	Mangue	1	
13	<i>Myiozetetes similis</i>	Mangue	1	
13	<i>Nyctanassa violacea</i>	Mangue	1	
13	<i>Picumnus cirratus</i>	Mangue	2	
13	<i>Pitangus sulphuratus</i>	Mangue	6	
13	<i>Progne chalybea</i>	Mangue	1	
13	<i>Saltator maximus</i>	Mangue	1	
13	<i>Sicalis flaveola</i>	Mangue	1	
13	<i>Thraupis sayaca</i>	Mangue	1	
13	<i>Troglodytes musculus</i>	Mangue	2	
13	<i>Tyrannus melancholicus</i>	Mangue	3	
Total Campanha 13			137	

A captura das aves foi realizada com o uso de redes com malha de 20 ou 35 mm, medindo 6, 9, 12 ou 18 m de comprimento por 3 m de altura. Estas redes foram instaladas nos diferentes ambientes das áreas pré-definidas, com auxílio de hastes de alumínio e cordas. A quantidade de redes utilizadas variou conforme as condições ambientais dos locais de coleta, tendo sido utilizadas no máximo dez redes. O esforço de captura se deu pelo menos ao longo de dois dias/noites consecutivos ou alternados. As aves capturadas foram acondicionadas em sacos de tecido específicos para contenção destes animais e levadas até a base de apoio, localizada próxima das redes. Na base, as aves foram manipuladas e identificadas, a coleta de dados e de amostras foi realizada e a posterior liberação dos indivíduos foi realizada. Apesar de estar previsto o uso apenas de redes de 10 e 12 m, houve a necessidade de utilização de redes com outras metragens (especificadas acima), por conta das características e condições ambientais encontradas em cada área amostral. No caso dos ambientes de mangue e estuário, quando possível, foram utilizadas redes de maior comprimento. Porém, em outras situações em que era impraticável, optou-se pela utilização de mais redes de menor comprimento para contornar obstáculos e/ou abranger curtas dimensões como, por exemplo, corpos d'água e situações pontuais para captura de determinadas espécies. No ambiente costeiro, pela condição mais ampla da paisagem e suas características ambientais, foram utilizadas, predominantemente, redes de 12 m. Apesar da utilização de redes de menor comprimento, a quantidade utilizada foi proporcional as redes de maior comprimento, que também foram utilizadas, atendendo assim aos esforços e os objetivos de coleta

Nas aves capturadas vivas, foram coletadas as seguintes amostras: sangue (máximo de 1% da massa corporal da ave; coleta em microtubo ou frasco de 1,5 ml, sem anticoagulante); penas de contorno e penas em crescimento (5 a 10 penas, para ambos os tipos de penas). A coleta de sangue das aves vivas foi realizada após a limpeza do local com álcool gel 70%, bem como a avaliação da condição física e do estado de estresse da ave. Visando reduzir o nível de estresse, optou-se pela punção do sangue com agulha de insulina através da veia ulnar ou pelo corte de uma das unhas, no caso de espécimes de menor massa corporal. A quantidade de sangue coletado foi de no máximo 0,2 ml nas aves menores e de 2 ml nas aves com massa corporal superior a 500 g. Após isso, o frasco contendo a amostra de sangue foi mantido refrigerado, até ser posteriormente congelado em freezer. A retirada das penas de crescimento e de contorno foi realizada manualmente com o auxílio de uma pinça. As amostras de penas foram acondicionadas em sacos plásticos e mantidas refrigeradas, até serem posteriormente congeladas em freezer. Esta forma de armazenamento garantiu a integridade das amostras até que as análises químicas fossem realizadas.

As coletas das amostras de aves foram realizadas através do recolhimento de aves encontradas mortas nas áreas amostradas e com os usos de carabinas de ar comprimido (Gamo CFX 4,5; Gamo Black Maxxim 5,5) e pistola (Beemam 4,5). Os esforços de coletas foram complementares e direcionados às espécies não capturadas nas redes de neblina. Cada ave coletada foi individualmente acondicionada em saco plástico e, tão logo possível, foi mantida refrigerada em caixa térmica com gelo ou congelada, até ser preparada em laboratório, onde se efetivou a coleta das seguintes amostras: sangue coagulado, tecidos do músculo peitoral, parte do fígado e um osso (fêmur). Após isso, o sexo da ave foi identificado,

através da visualização das gônadas, bem como foi realizada a dissecação do trato digestório para separação do conteúdo estomacal, completando assim a coleta das amostras das aves mortas. Em seguida, foi realizada a taxidermia dos espécimes. As aves taxidermizadas foram provisoriamente acondicionadas em sacos plásticos lacrados e, posteriormente, acondicionadas a seco em caixa de isopor, até o transporte para o Instituto de Ciências Biológicas da FURG, em Rio Grande/RS, onde encontram-se devidamente armazenadas.

Para todas as aves amostradas, foram feitas anotações de morfometria, muda das penas, idade, sexo, peso e, quando presente, os ectoparasitas e endoparasitas foram coletados. Para as aves coletadas, adicionalmente, foi anotado o peso total do conteúdo estomacal, bem como coletada a carcaça da ave após a retirada das amostras. Por fim, foi realizada a taxidermia da pele do indivíduo, visando o aproveitamento científico e tombamento na Coleção de Aves da FURG (CAFURG). As amostras, exceto as peles taxidermizadas, foram mantidas congeladas. Após o encerramento das Campanhas, as amostras e peles taxidermizadas foram transportadas, via terrestre, até o Instituto de Ciências Biológicas da FURG, em Rio Grande (RS).

2.2 ANÁLISES DE LABORATÓRIO

Análises das concentrações de metais e arsênio nas amostras ambientais e biológicas

Para a extração dos metais e As totais e dissolvidos nas amostras de água foi utilizado o método EPA 3015A (U.S. EPA, 2007). As amostras de sedimento superficial coletadas foram liofilizadas, maceradas e homogeneizadas utilizando gral e pistilo de ágata. O processo de extração foi realizado de acordo com o método EPA 3051A (U.S. EPA, 2007) para determinação da fração disponível. As amostras de material biológico foram previamente secas em estufa (45-60°C) até peso constante e o teor de umidade foi obtido. A digestão foi realizada em um sistema de digestão por micro-ondas modelo Multiwave 3000 (Anton-Paar), equipado com um rotor para oito recipientes de quartzo do tipo 80 mL (operando na pressão de 80 bar), utilizando-se ácido nítrico ultrapuro (Suprapur, Merck). Todas as amostras foram diluídas a um fator de 10 vezes utilizando-se água ultrapura (18 MΩ cm), visando adequar as concentrações dos metais e As às aquelas das soluções dos padrões certificados, utilizadas para calibrar os equipamentos. As análises das concentrações de Al, As, Cd, Cr, Cu, Fe, Hg, Mn, Ni, Pb e Zn nas amostras ambientais (água e sedimento) e biológicas coletadas foram realizadas de acordo com metodologia EPA 6020A (U.S. EPA, 1998), utilizando-se espectrômetro de massa com plasma indutivamente acoplado (ICP-MS, Analytik Jena) em laboratórios especializados do PMBA. O controle de qualidade foi realizado através de brancos analíticos e ensaios de recuperação com materiais de referência certificados.

Os valores das concentrações de metais e As nas amostras biológicas foram incorporados nos modelos matemáticos do Índice de Resposta de Bioacumulação (IBR Bioacumulação), o qual foi proposto por Beliaeff & Burgeot (2002) e otimizado por Devin et al. (2014). O valor do IBR Bioacumulação é a soma da área definida pelo número de elementos dispostos em um diagrama de radar, seguindo uma etapa anterior de padronização das respostas dos elementos. Assim, o índice é calculado somando-se as áreas do gráfico estrela triangular (um método gráfico multivariado simples) para cada par de elementos

vizinhos em um determinado conjunto de dados. Como o resultado do processo de cálculo depende fortemente da organização sequencial dos elementos, foi utilizado um procedimento que cria todas as permutações circulares possíveis das concentrações de metais e As.

Análises de biomarcadores

Biomarcadores são alterações biológicas que expressam a exposição e os efeitos tóxicos dos poluentes presentes no ambiente e podem ser mensuradas em nível molecular, celular ou fisiológico (Walker et al., 1996). Portanto, os biomarcadores selecionados para um programa de monitoramento ambiental devem detectar a exposição do organismo aos contaminantes, através de qualquer alteração biológica mensurável (biomarcadores de exposição) e/ou a magnitude de resposta do organismo aos contaminantes (biomarcadores de efeito). Assim, os biomarcadores foram analisados de forma seletiva nas amostras de invertebrados (pools de organismos inteiros ou tecidos), considerando-se os potenciais efeitos biológicos dos metais e do As (desequilíbrio iônico e osmótico, inibição enzimática, oxidação de biomoléculas e danos morfológicos). Os biomarcadores analisados em cada um dos Anos de amostragem encontram-se listadas no Quadro 1. Para fins de praticidade e rapidez na realização das análises e de precisão e reprodutibilidade dos dados, sempre que possível, foram utilizados kits comerciais de reagentes específicos que utilizam metodologia semelhante àquelas descritas abaixo, para a determinação dos respectivos biomarcadores.

Quadro 1: Lista dos biomarcadores analisados em amostras de organismos coletados pelo Tema Ecotoxicologia no ambiente costeiro realizados no Ano 1 (Campanha 1, set/out 2018 - período chuvoso e Campanha 2, jan/fev 2019 - período chuvoso), Ano 2 até Ano 4 (Campanha 3, set/out 2019 - período chuvoso e Campanha 4, jan/fev 2020 - período chuvoso, Campanha 5, jan/fev 2021 - período chuvoso, Campanha 6, jul/ago 2021 - período seco, Campanha 7, mar 2022 - período chuvoso e Campanha 8, set/out 2022 - período seco) e Anos 5, 6 e 7 (Campanha 9, jan/fev 2023 - período chuvoso, Campanha 10, jun/jul 2023 - período seco, Campanha 11, jan/2024 – período chuvoso, Campanha 12, jul 2024 - período seco e Campanha 13, jan/fev 2024 – período chuvoso).

BIOMARCADOR (classificação: efeito/exposição)			
AMOSTRA	ANO 1	ANO 2 ATÉ ANO 4	ANOS 5, 6 e 7
Pools de anfípodos e isópodos	❖ Concentração de metalotioneína (MT- exposição) ❖ Peroxidação lipídica (LPO - efeito)	❖ Concentração de metalotioneína (MT- exposição) ❖ Peroxidação lipídica (LPO - efeito)	❖ Concentração de metalotioneína (MT- exposição) ❖ Peroxidação lipídica (LPO - efeito)
Hemolinfa de caranguejos	❖ Danos de DNA (MN e Sítios AP - efeito)	❖ Danos de DNA (Sítios AP - efeito)	-
Brânquias de caranguejos	❖ Peroxidação lipídica (LPO - efeito)	❖ Peroxidação lipídica (LPO - efeito)	❖ Concentração de metalotioneína (MT- exposição) ❖ Peroxidação lipídica (LPO - efeito)
Hepatopâncreas de caranguejos	❖ Concentração de metalotioneína (MT- exposição) ❖ Peroxidação lipídica (LPO - efeito)	❖ Concentração de metalotioneína (MT- exposição) ❖ Peroxidação lipídica (LPO - efeito)	❖ Concentração de metalotioneína (MT - exposição) ❖ Peroxidação lipídica (LPO - efeito) ❖ Oxidação de proteínas (PCO - efeito)
Músculo de caranguejos	❖ Oxidação de proteínas (PCO - efeito)	❖ Oxidação de proteínas (PCO - efeito)	❖ Oxidação de proteínas (PCO - efeito) ❖ Danos ao DNA (Sítios AP - efeito)

LPO = lipoperoxidação; MN = teste de micronúcleo; MT = concentração de metalotioneína; PCO = proteínas carboniladas; e Sítios AP = número de sítios AP (apurínicos/apirimídicos).

A determinação da concentração de metalotioneínas (MT) foi realizada por meio de um kit comercial de reagentes (*Fish Metallothionein ELISA Kit*, MyBiosource), cujo princípio de análise utiliza um método espectrofotométrico em microplaca. Os procedimentos analíticos para determinação da concentração das MT seguiram aqueles descritos pelo fabricante. Os resultados foram expressos em µg MT/mg proteína.

A lipoperoxidação (LPO) foi determinada no material biológico utilizando-se um método espectrofotométrico em microplaca, seguindo as recomendações do fabricante do kit comercial utilizado (*TBARS Assay Kit*, Chayman Chemical). Este método quantifica os danos em lipídios por meio da reação do malondialdeído (MDA), produto da peroxidação lipídica, com o ácido tiobarbitúrico. Esta

reação ocorre em condições de acidez e alta temperatura (95°C), gerando um cromógeno fluorescente. A fluorescência gerada foi medida utilizando-se um espectrofluorímetro (excitação: 520 nm; emissão: 580 nm). Os dados foram calculados com base em uma curva construída com soluções padrão de MDA, sendo os resultados normalizados em relação ao conteúdo de proteínas nas amostras, o qual foi determinado utilizando-se o método de Bradford (1976), e expressos em nmol MDA/mg proteína.

Os danos oxidativos em proteínas foram determinados utilizando-se um kit comercial de reagentes (*Protein Carbonyl Fluorometric Assay*, Chayman Chemical). Durante o ensaio, as proteínas carboniladas (oxidadas) (PCO) foram inicialmente derivatizadas com um fluoróforo específico que se liga ao grupo carbonila da proteína na proporção de 1:1. Após isso, as proteínas foram precipitadas com ácido tricloroacético (TCA) e o fluoróforo livre foi removido por meio da lavagem do precipitado proteico com acetona. Após a solubilização do precipitado proteico em hidrocloreto de guanidina, a absorbância do produto proteína-fluoróforo foi determinada fluorimetricamente (emissão: 485; excitação: 538 nm) e o conteúdo de proteínas carboniladas (PCO) calculado. Os resultados foram expressos em nmol PCO/mg proteína.

Os danos oxidativos ao DNA foram medidos através da quantificação do número de sítios AP (sítios apurínicos/apirimídicos) no material genético. Para tal, o DNA genômico foi previamente isolado utilizando-se um kit de reagentes para isolamento de DNA (*DNA isolation kit*, PromoKine, Promocell®). A análise de sítios AP propriamente dita, foi realizada utilizando-se uma sonda capaz de reagir com o grupo aldeído destes sítios, a qual foi detectada por colorimetria (450 nm) em uma leitora de microplacas. Para tal, foi utilizado um kit de reagentes de detecção de dano de DNA (*DNA Damage Detection Kit*, ABCAM; ou outro kit similar). Os resultados foram expressos em sítios AP/10⁵ pares de bases (bp).

Os dados dos biomarcadores foram incorporados nos modelos matemáticos do Índice de Resposta de Biomarcador (IBR Biomarcador), o qual foi proposto por Beliaeff & Burgeot (2002) e otimizado por Devin et al. (2014). O valor do IBR Biomarcador corresponde à soma da área definida pelo número de elementos dispostos em um diagrama de radar, seguindo uma etapa anterior de padronização das respostas dos elementos. Assim, o índice é calculado somando-se as áreas do gráfico estrela triangular (um método gráfico multivariado simples) para cada par de elementos vizinhos em um determinado conjunto de dados. Como o resultado do processo de cálculo depende fortemente da organização sequencial dos elementos, foi utilizado um procedimento que cria todas as permutações circulares possíveis relacionadas às respostas dos biomarcadores.

2.3 HISTÓRICO DE ALTERAÇÕES E ADAPTAÇÕES DE METODOLOGIAS

As principais modificações metodológicas envolveram a otimização no volume das amostras de água e sedimento coletadas e destinadas às determinações de As e metais, a partir da Campanha 8 (março 2022), aumentando assim a representatividade da amostra e possibilitando, minimamente, a análise em duplicatas, para verificação de variações e precisão nos resultados. Estas modificações encontram-se descritas na seção anterior. Adicionalmente, a partir da Campanha 6 (jul/ago 2021), as análises das concentrações de Al, As, Cd, Cr, Cu, Fe, Hg, Mn, Ni, Pb e Zn nas amostras biológicas foram realizadas

de acordo com metodologia EPA 6020A, utilizando-se espectrômetro de massa com plasma indutivamente acoplado (ICP-MS, Analytik Jena). Além disso, as análises de compostos orgânicos em aves, bem como a coleta de poliquetos e a coleta de hemolinfa de caranguejos de praia e mangue, foram descontinuadas a partir da Campanha 9 (jan/fev - período chuvoso).

Em relação aos biomarcadores, alterações foram feitas a partir da Campanha 9 (jan/fev - período chuvoso), sendo elas: (1) a determinação de Sítio AP passou a ser realizada em músculo de caranguejos de praia e mangue, e não mais na hemolinfa; (2) a determinação de PCO passou a ser realizada em hepatopâncreas e músculo de caranguejos de praia e mangue, e não mais apenas em músculo; (3) a determinação de MT passou a ser realizada em hepatopâncreas e brânquias de caranguejos de praia e mangue, e não mais apenas em hepatopâncreas; e (4) a determinação de LPO passou a ser realizada em hepatopâncreas e brânquias de caranguejos de praia e mangue, e não mais apenas em hepatopâncreas.

2.4 ALTERAÇÕES NA MALHA, FREQUÊNCIA AMOSTRAL E ESCOPO REALIZADOS EM OUTUBRO DE 2024: CONSEQUÊNCIAS PARA AS ANÁLISES DA SÉRIE HISTÓRICA DE INDICADORES.

Quando houve a alteração de malha em 2024, algumas estações foram ajustadas, outras removidas e algumas inseridas. Para o ambiente de manguezal, as estações Revis Santa Cruz 1 (RSC1) e Revis Santa Cruz 2 (RSC2) foram removidas, ficando apenas a estação Confluência do Piraquê-Açu e Mirim (PAM) no Setor A; para o Setor B, foi mantida a estação da foz do Rio Doce em Regência (FRG); para o Setor C, as estações Rio Urussuquara (RUR), Rio Mariricu (RMA), Rio São Mateus (RSM) e Rio Caravelas (RCA) foram removidas, sendo substituídas pelas estações Barra Nova (BN2D) e São Mateus (SM2FE). Para o ambiente de praias, no Setor A, a estação de Aracruz – Refúgio (ARR) foi removida, a estação Aracruz – Putiri foi reajustada (de ARP tornou-se S3), e foi inserida a Praia Formosa (S2); no Setor B, as estações Comboios (DSC), Regência (DSR) e Povoação (DNP) foram substituídas pelas novas estações ReBio Comboios (S6), Regência (S7) e Povoação (N1) e a estação Terra Indígena (S5) foi inserida; no Setor C foram descontinuadas as estações Vila de Cacimbas (DNC), Pontal do Ipiranga (DNPI), Urussuquara (DNU), a estação de Guriri foi reajustada (de DNG tornou-se N5), e foram inseridas as estações de Degredo (N2), Barra Nova (N4) e Itaúnas (N6).

As alterações de malha amostral descritas acima não causaram nenhum impacto significativo nas avaliações temporais e espaciais realizadas no âmbito do Tema Ecotoxicologia. Cabe destacar que todos os parâmetros anteriormente avaliados tiveram continuidade e todos os indicadores relativos à Ecotoxicologia continuam sendo calculados, analisados, integrados e discutidos.

3 RESULTADOS DOS INDICADORES

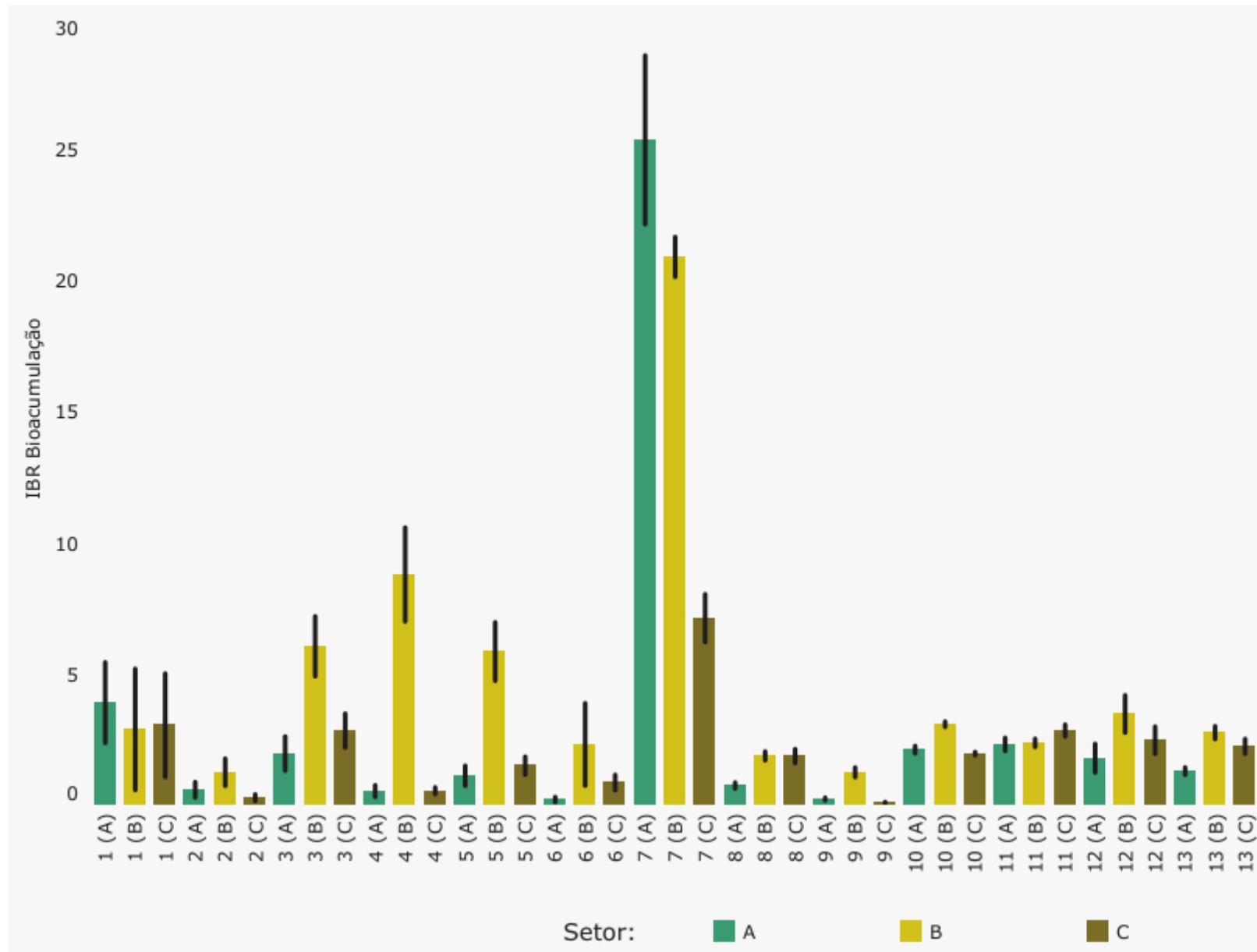
Nesta seção serão apresentados os resultados dos indicadores de qualidade ambiental e da biodiversidade aquática do Tema, os quais foram desenvolvidos pelo PMBA/Fest-UFES e obtidos ao

longo de todo monitoramento na área ambiental I. Vale ressaltar que os indicadores aqui apresentados têm como propósito clarificar e sintetizar a historicidade dos resultados, interpretação e conclusões do monitoramento, promovendo o acompanhamento espaço-temporal da qualidade ambiental e biodiversidade, além de configurarem importantes ferramentas de suporte aos gestores ambientais. A partir destes indicadores, pode-se identificar os impactos com relação direta ou indireta ao rompimento da Barragem de Fundão, em Mariana (MG).

Os indicadores do PMBA/Fest-UFES vêm se consolidando ao longo do monitoramento e, seguindo a proposta estabelecida desde o Relatório Anual de 2022 (RA2022), a apresentação dos resultados será exclusivamente a partir da apresentação dos indicadores, acompanhados de legenda estendida com a explicação de sua variação espaço-temporal de forma mais direta e objetiva como se segue:

3.1 ÍNDICE DE BIOACUMULAÇÃO (IBR BIOACUMULAÇÃO)

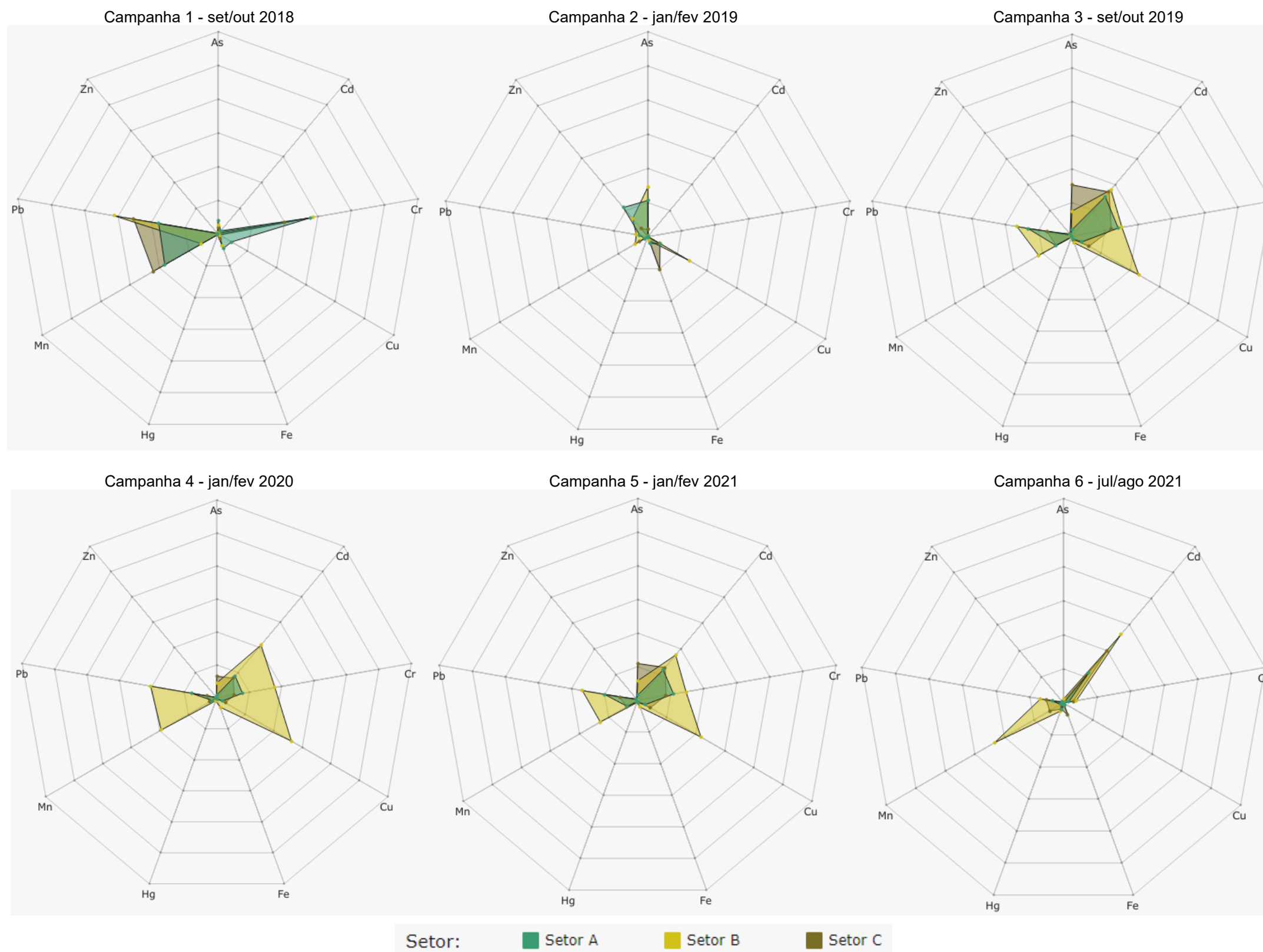
Figura 1: Valores médios do Índice de Bioacumulação de metais e As (IBR Bioacumulação) determinados para amostras de tecidos (brânquias, hepatopâncreas e músculo) de caranguejos do manguezal coletadas durante a Campanha 1 (set/out 2018 – período seco), Campanha 2 (jan/fev 2019 – período chuvoso), Campanha 3 (set/out 2019 – período seco), Campanha 4 (jan/fev 2020 – período chuvoso), Campanha 5 (jan/fev 2021 – período chuvoso), Campanha 6 (jul/ago 2021 – período seco), Campanha 7 (mar 2022 – período chuvoso), Campanha 8 (set/out 2022 – período seco), Campanha 9 (jan/fev 2023 – período chuvoso), Campanha 10 (jun/jul 2023 - período seco), Campanha 11 (jan/2024 – período chuvoso), Campanha 12 (jul 2024 – período seco) e Campanha 13 (jan/fev 2025 – período chuvoso). A ausência do monitoramento em ago/set 2020 – período seco, entre as Campanhas 4 e 5, foi devido a pandemia da COVID-19. Classificação por Setores e por Estações de coleta: Setor A [Revis Santa Cruz 1 (RSC1 – até a Campanha 12), Revis Santa Cruz 2 (RSC2 – até a Campanha 12) e Confluência do Piraquê-Açu e Mirim (PAM)]; Setor B [foz do Rio Doce em Regência (FRG)] e Setor C [Rio Urussuquara (RUR – até a Campanha 12), Rio Mariricu (RMA – até a Campanha 12), Rio São Mateus (RSM – até a Campanha 12), Rio Caravelas (RCA – até a Campanha 12), Barra Nova (BN2D – a partir da Campanha 13) e São Mateus (SM2FE – a partir da Campanha 13)]. As linhas verticais em preto representam o desvio padrão.



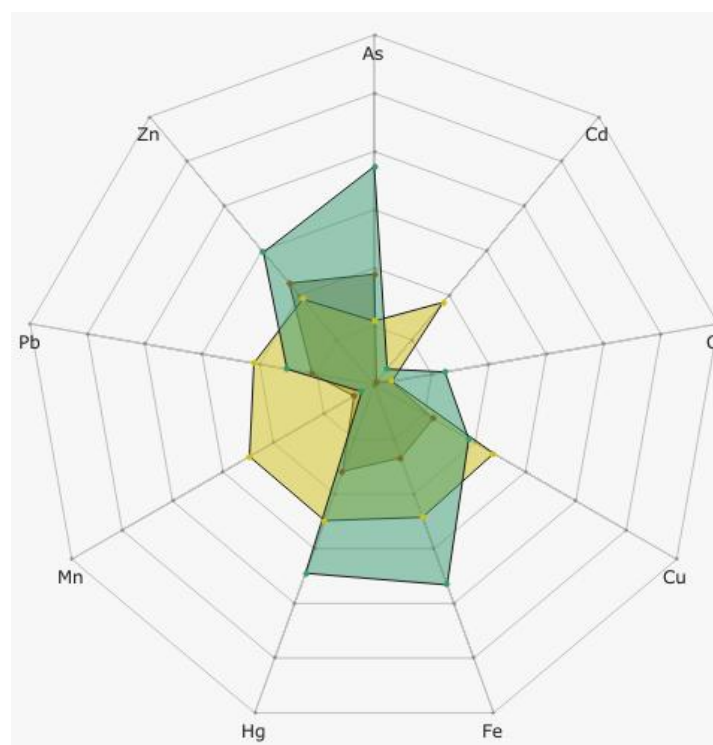
O gráfico de barras dos valores do Índice de Bioacumulação de metais e As (IBR Bioacumulação), gerado para cada Setor e cada Campanha (Figura 1), permite realizar comparações das tendências espaço-temporais da bioacumulação de metais e As no caranguejo do manguezal, ao longo de todo o monitoramento. O IBR Bioacumulação integra os níveis de contaminação de diferentes órgãos/tecidos pelos metais e As, originando assim um indicativo/valor sintético e holístico do estado de “saúde” dos organismos analisados. Os caranguejos, por terem um hábito alimentar detritívoro e estarem em constante contato com o sedimento, são sensíveis a contaminação por metais (Pinheiro et al., 2012).

De modo geral, a partir da análise da Figura 1, observa-se que, na maioria das Campanhas, os maiores valores de IBR Bioacumulação foram obtidos para as amostras coletadas no Setor B, com exceção das Campanhas 1 e 7, nas quais os maiores valores de IBR Bioacumulação foram obtidos para as amostras coletadas no Setor A, e da Campanha 11, em que o maior IBR Bioacumulação foi observado para o Setor C. Além disso, a Campanha 7 se destacou por apresentar os valores máximos de IBR Bioacumulação para todos os Setores analisados, ao longo de todo o período de monitoramento. Devido a dinâmica dos metais e do As nos ambientes aquáticos ser afetada por vários fatores físico-químicos da água e do sedimento, os mesmos, eventualmente, ora estão na fase aquosa, onde são mais biodisponíveis, ora encontram-se associados aos sedimentos, quando se tornam menos biodisponíveis (Spetter et al., 2015). Portanto, pode-se inferir que, na Campanha 7, os metais e o As estavam mais biodisponíveis para serem acumulados pelos caranguejos do manguezal. Esta maior biodisponibilidade pode estar associada a um maior aporte continental de contaminantes depositados ao longo da calha do Rio Doce durante a maior vazão observada no período de execução da Campanha 7. Em seguida, os indivíduos coletados na Campanha 8 e Campanha 9 demonstraram uma diminuição significativa nos valores de IBR Bioacumulação em comparação a Campanha 7, com um leve aumento dos índices a partir da Campanha 10, mantendo-se, relativamente estabilizado, nas Campanhas 11 e 12 e 13.

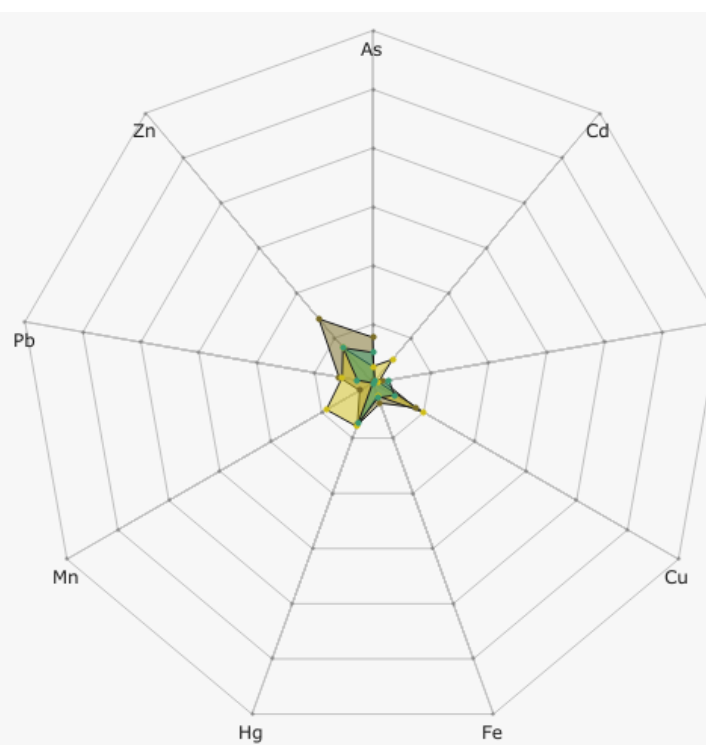
Figura 2: Gráficos de radar obtidos a partir dos valores médios do Índice de Bioacumulação de metais e As (IBR Bioacumulação) determinados para amostras de tecidos (brânquias, hepatopâncreas e músculo) de caranguejos do manguezal coletadas durante a Campanha 1 (set/out 2018 – período seco), Campanha 2 (jan/fev 2019 – período chuvoso), Campanha 3 (set/out 2019 – período seco), Campanha 4 (jan/fev 2020 – período chuvoso), Campanha 5 (jan/fev 2021 – período chuvoso), Campanha 6 (jul/ago 2021 – período seco), Campanha 7 (mar 2022 – período chuvoso), Campanha 8 (set/out 2022 – período seco), Campanha 9 (jan/fev 2023 – período chuvoso), Campanha 10 (jun/jul 2023 - período seco), Campanha 11 (jan 2024 – período chuvoso), Campanha 12 (jul 2024 – período seco) e Campanha 13 (jan/fev 2025 – período chuvoso). A ausência do monitoramento em ago/set 2020 – período seco, entre as Campanhas 4 e 5, foi devida a pandemia da COVID-19. Metais considerados: Arsênio (As); Cádmio (Cd); Chumbo (Pb); Cobre (Cu); Cromo (Cr); Ferro (Fe); Manganês (Mn); Mercúrio (Hg); e Zinco (Zn). Classificação por Setores e por Estações de coleta: Setor A [Revis Santa Cruz 1 (RSC1 – até a Campanha 12), Revis Santa Cruz 2 (RSC2 – até a Campanha 12) e Confluência do Piraquê-Açu e Mirim (PAM)]; Setor B [foz do Rio Doce em Regência (FRG)] e Setor C [Rio Urussuquara (RUR – até a Campanha 12), Rio Mariricu (RMA – até a Campanha 12), Rio São Mateus (RSM – até a Campanha 12), Rio Caravelas (RCA – até a Campanha 12), Barra Nova (BN2D – a partir da Campanha 13 e São Mateus (SM2FE – a partir da Campanha 13)].



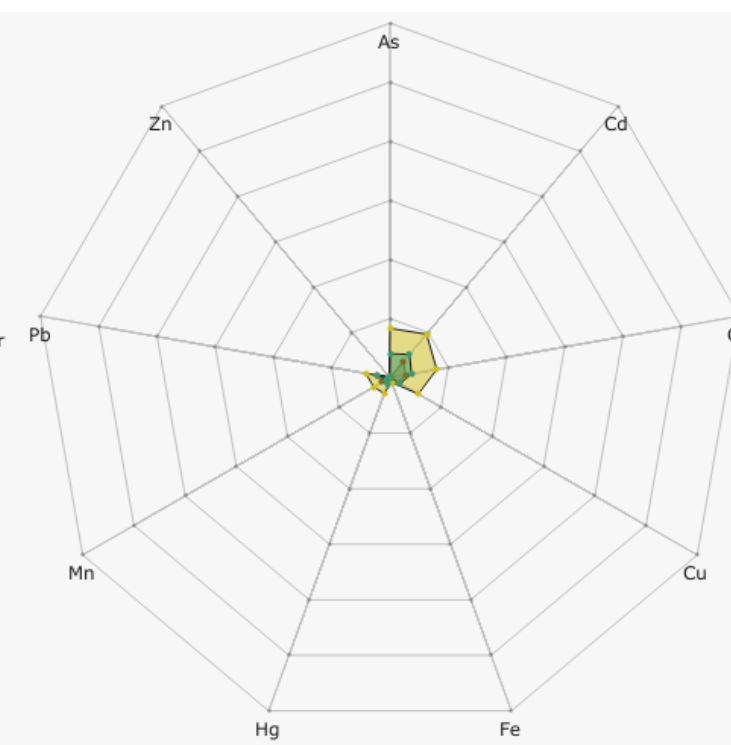
Campanha 7 - mar 2022



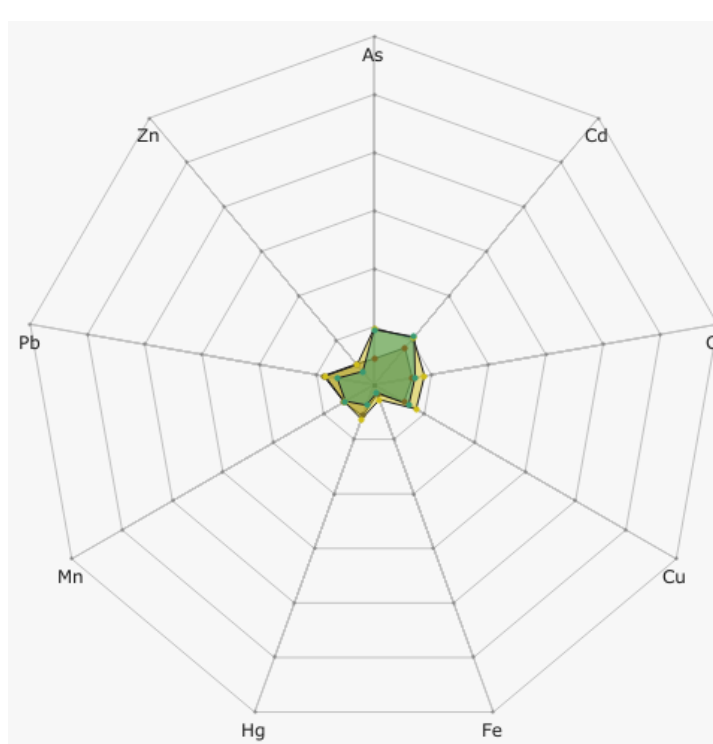
Campanha 8 - set/out 2022



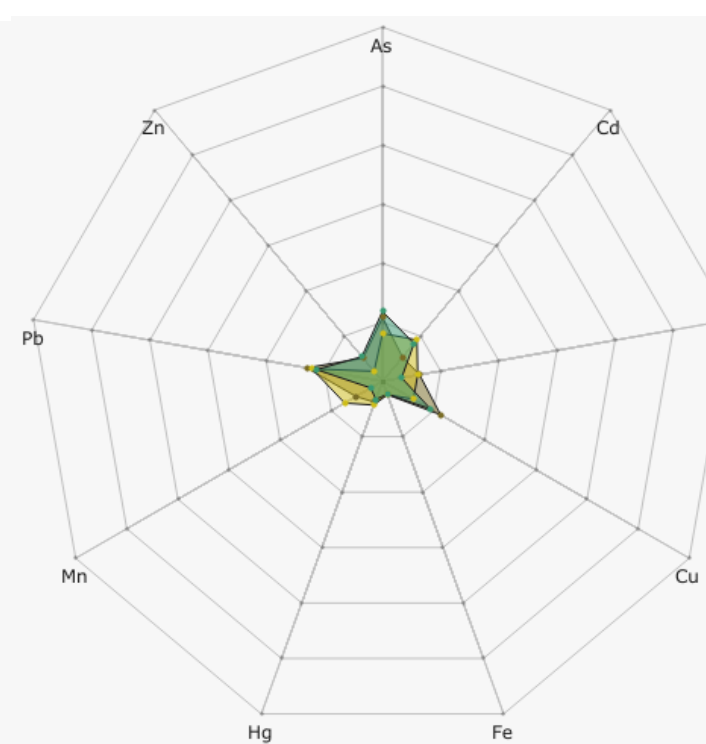
Campanha 9 – jan/fev 2023



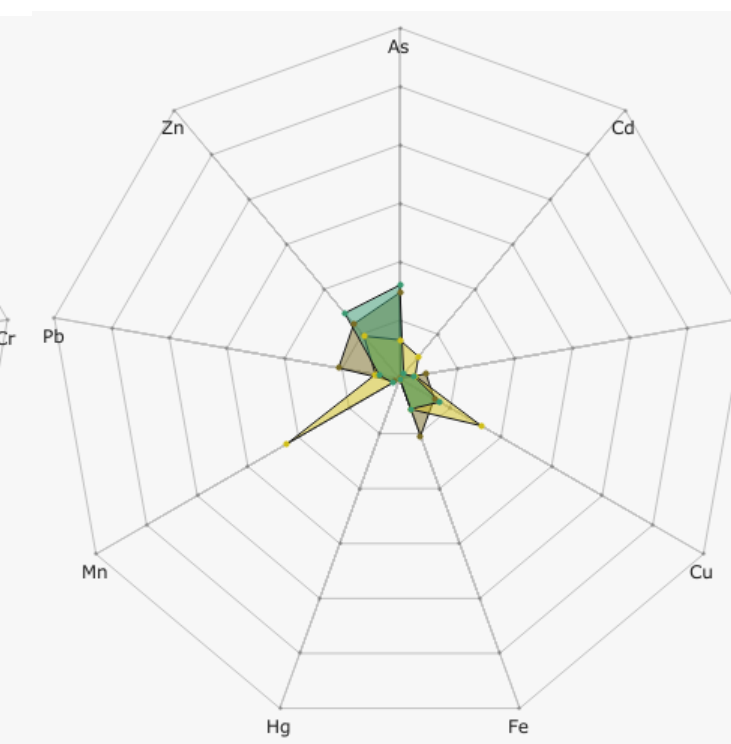
Campanha 10 - jun/jul 2023



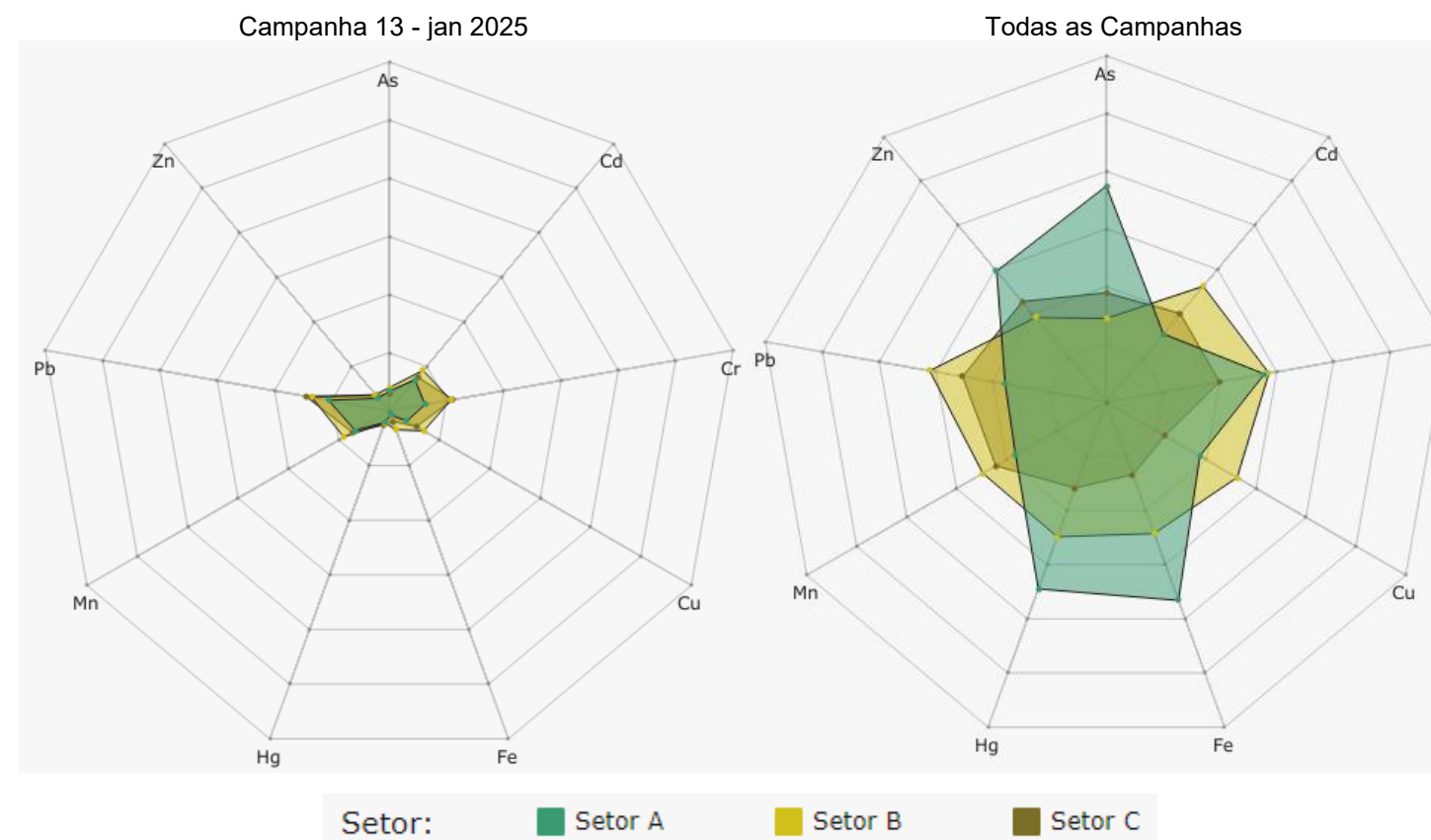
Campanha 11 - jan 2024



Campanha 12 – jul 2024



Setor: ■ Setor A ■ Setor B ■ Setor C



Os gráficos de radar apresentados na Figura 2 foram obtidos a partir do IBR Bioacumulação de metais e As de cada Setor avaliado e de cada Campanha realizada. Estes gráficos mostram a variação espaço-temporal da bioacumulação de cada metal e do As no caranguejo do manguezal e a contribuição destes para a composição do IBR Bioacumulação. Nota-se que a Campanha 7 foi aquela que apresentou os maiores valores de IBR Bioacumulação em todos os Setores avaliados. Além disso, observa-se que todos os elementos analisados contribuíram para a formação do índice nesta Campanha. Os elementos mais relevantes para a composição do IBR Bioacumulação no Setor A foram, em ordem decrescente de importância, o As, Fe, Hg, Zn, Cu e Pb. Em relação ao Setor B, todos os elementos, exceto Cr, contribuíram de forma semelhante para o IBR Bioacumulação, com menores contribuições do As. Por fim, o IBR Bioacumulação no Setor C as maiores contribuições foram do As e Zn. Dentre os elementos que apresentaram uma maior contribuição para a composição do IBR Bioacumulação na Campanha 7, observou-se que o As, Zn, Hg, Fe e Cu foram contaminantes comuns aos três Setores avaliados.

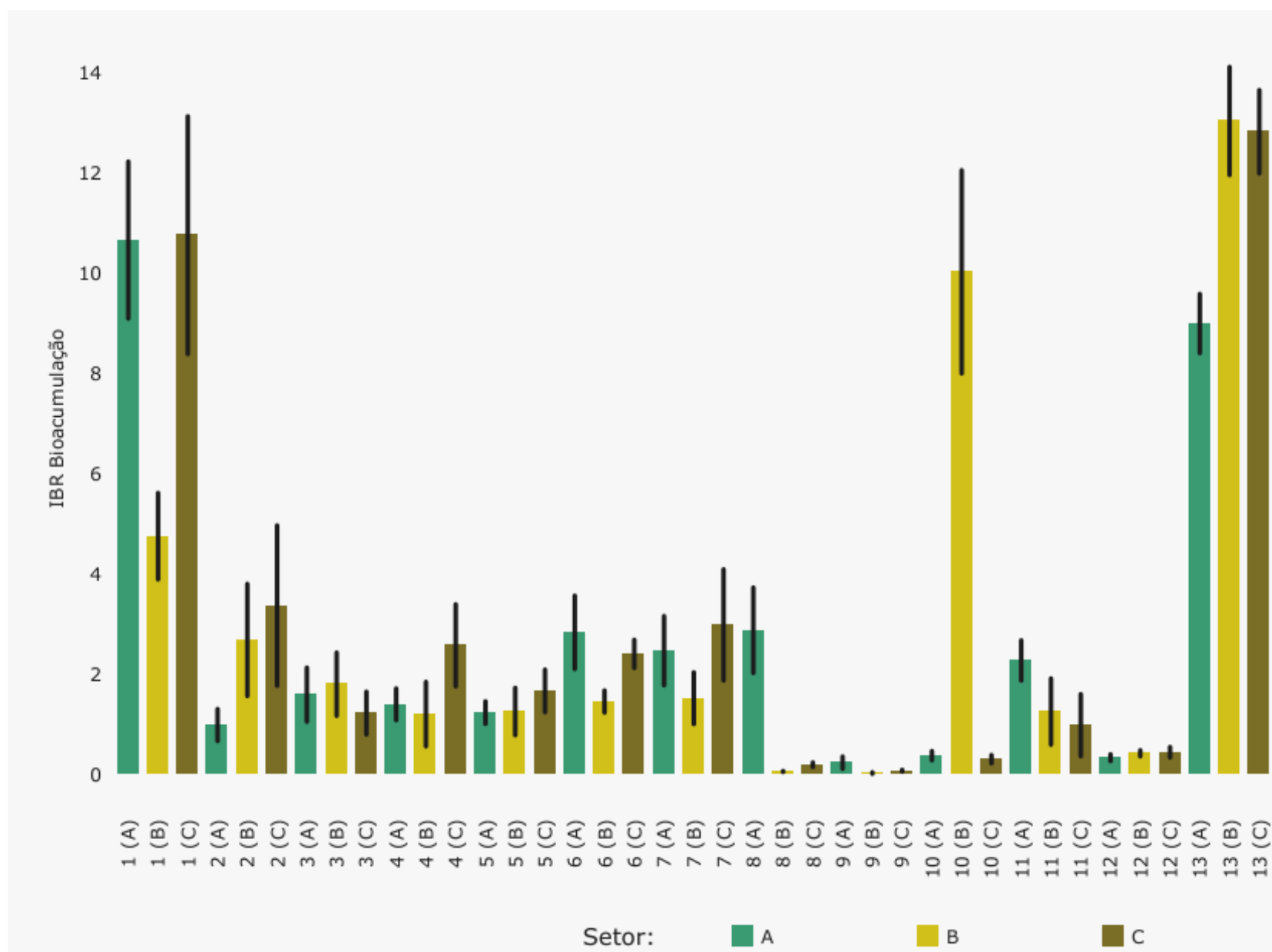
As Campanhas 1, 6 e 9 apresentaram o menor número de contaminantes presentes na composição dos seus respectivos valores do IBR Bioacumulação. Na Campanha 1, o Pb, Mn e Cr foram contaminantes relevantes em todos os Setores avaliados. Já na Campanha 6, o Cd se destacou na composição do IBR Bioacumulação em todos os Setores avaliados, enquanto o Mn foi mais relevante na composição do índice no Setor B. Na Campanha 9, Cd e Cr foram elementos com importante contribuição para os índices de todos os Setores. Além destes elementos, As teve contribuição na composição do IBR dos Setores A e B.

A partir da Campanha 10, os IBR Bioacumulação mantiveram-se relativamente com valores semelhantes. Apesar disso, a contribuição dos elementos diferiu. Enquanto na Campanha 10, os metais Cd, Cr, Cu e Pb foram os que mais contribuíram para o cálculo do índice, na Campanha 11, As também teve importância para o IBR. Na Campanha 12, a contribuição dos elementos para o IBR diferiu entre os Setores, com destaque para o Mn no Setor B e Fe no Setor C. Finalmente, na Campanha 13, o padrão de contribuição dos metais foi semelhante entre os Setores amostrados, com principal contribuição de Pb, Cr, Cd, Cu e Mn para o IBR Bioacumulação.

Considerando-se todas as Campanhas em conjunto, os contaminantes que mais contribuíram, em ordem decrescente de importância, para o IBR Bioacumulação nos caranguejos de mangue coletados no Setor A foram o As, Fe, Hg, Zn e Cr, com destaque para os três primeiros. No caso dos caranguejos de mangue coletados nos Setores B e C, os contaminantes que mais contribuíram para a composição do índice foram o Pb, Cr, Cu, Cd, Fe, Hg e Mn no Setor B, e estes, exceto o Cu para o Setor C. Nestes dois Setores, cabe ressaltar que o Pb apresentou uma importância destacada na composição do IBR Bioacumulação dos caranguejos de mangue.

Considerando-se todos os Setores em conjunto, foi observado que todos os contaminantes estiveram presentes na composição do IBR Bioacumulação dos caranguejos de mangue, ao longo de todo o monitoramento. Os contaminantes que mais contribuíram na composição do índice nos três Setores avaliados ao longo de todo o monitoramento foram o Cr, Fe e Hg, ressaltando-se que Hg é considerado um elemento altamente tóxico, mesmo em pequenas concentrações (Lokeshappa et al., 2012; Selvi et al., 2019). Por outro lado, o Cr e Fe são considerados micronutrientes, ou seja, elementos importantes para a saúde dos organismos vivos em concentrações traços, porém são tóxicos em concentrações elevadas. Cabe destacar que concentrações elevadas/excessivas destes elementos foram observadas em diversas ocasiões (Campanhas) ao longo do monitoramento realizado, sugerindo assim um potencial risco para os caranguejos de mangue.

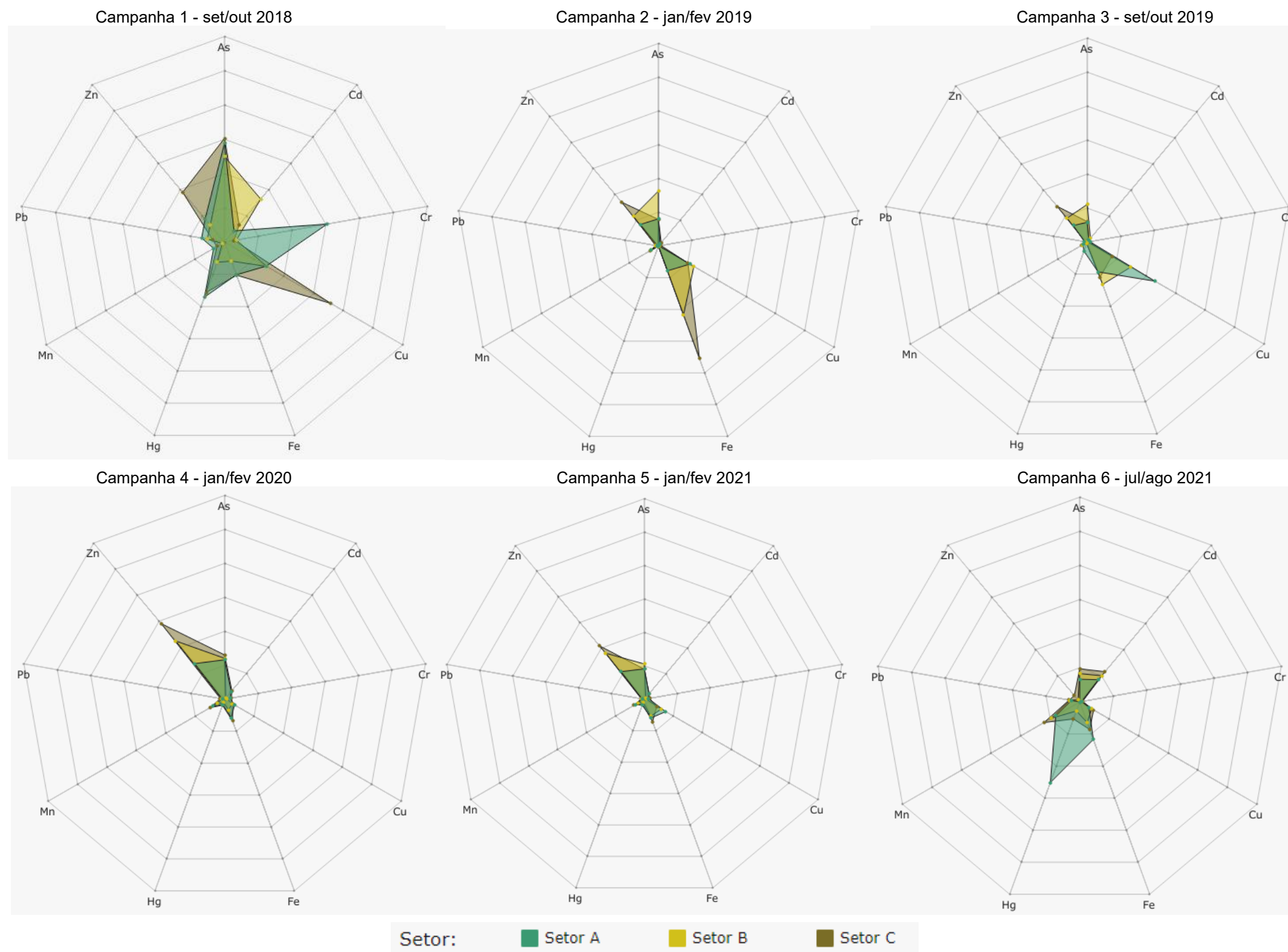
Figura 3: Valores médios do Índice de Bioacumulação de metais e As (IBR Bioacumulação) determinados para amostras de pequenos invertebrados da praia (anfípodos e isópodos) coletadas durante a Campanha 1 (set/out 2018 – período seco), Campanha 2 (jan/fev 2019 – período chuvoso), Campanha 3 (set/out 2019 – período seco), Campanha 4 (jan/fev 2020 – período chuvoso), Campanha 5 (jan/fev 2021 – período chuvoso), Campanha 6 (jul/ago 2021 – período seco), Campanha 7 (mar 2022 – período chuvoso), Campanha 8 (set/out 2022 – período seco), Campanha 9 (jan/fev 2023 – período chuvoso), Campanha 10 (jun/jul 2023 - período seco), Campanha 11 (jan 2024 – período chuvoso), Campanha 12 (jul 2024 – período seco) e Campanha 13 (jan/fev 2025 – período chuvoso). A ausência do monitoramento em ago/set 2020 – período seco, entre as Campanhas 4 e 5, foi devida a pandemia da COVID-19. Classificação por Setores e por Estações de coleta: Setor A [Aracruz – Refúgio (ARR – até a Campanha 12), Aracruz – Putiri (ARP – até a Campanha 12 e S3 – a partir da Campanha 13) e Praia Formosa (S2 – a partir da Campanha 13)]; Setor B [Comboios (DSC – até a Campanha 12, S6 – a partir da Campanha 13), Regência (DSR – até a Campanha 12, S7 - a partir da Campanha 13), Povoação (DNP – até a Campanha 12, N1 – a partir da Campanha 13) e Terra Indígena (S5 – a partir da Campanha 13)], Setor C [Vila de Cacimbas (DNC – até a Campanha 12), Pontal do Ipiranga (DNPI – até a Campanha 12), Urussuquara (DNU – até a Campanha 12), Guriri (DNG – até a Campanha 12 e N5 – a partir da Campanha 13), Degredo (N2 – a partir da Campanha 13), Barra Nova (N4 – a partir da Campanha 13) e Itaúnas (N6 – a partir da Campanha 13)]. As linhas verticais em preto representam o desvio padrão.



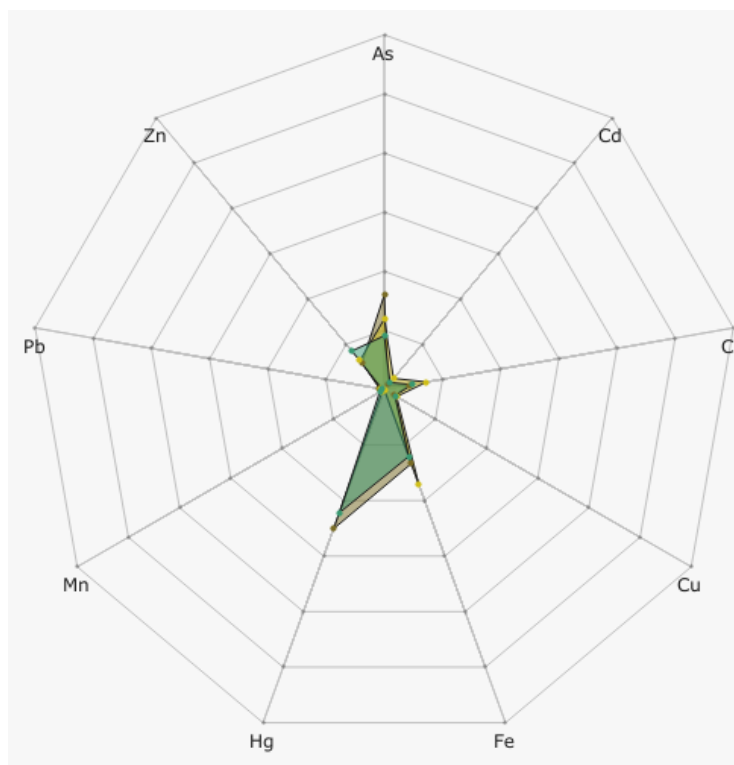
Observa-se na Figura 3 que os valores do Índice de Bioacumulação de metais e As (IBR Bioacumulação) obtidos para os pequenos invertebrados da praia coletados entre as Campanhas 2 e 7 (com tendência de estabilização ao longo das mesmas) nos três Setores avaliados apresentam uma redução em relação àqueles observados na Campanha 1. A partir da Campanha 8, observa-se uma redução ainda mais considerável nos valores do IBR Bioacumulação para os organismos coletados nos Setores A, B e C, em relação àqueles determinados nas Campanhas anteriores, com exceção do resultado do IBR Bioacumulação no Setor B nas Campanhas 10 e 13, onde foram observados os maiores valores deste índice, sendo estes os maiores valores observados para esse Setor durante todo o período do monitoramento. Na Campanha 11, observa-se novamente um aumento dos valores do IBR Bioacumulação para todos os Setores avaliados, porém estes sendo menores que os valores anteriormente observados. Este aumento foi seguido de uma nova redução nos valores do índice na Campanha 12, tendo sido observada uma diminuição semelhante para todos os Setores avaliados. Finalmente, um expressivo aumento no IBR Bioacumulação em todos os Setores foi observado na Campanha 13, consistindo num valor para o Setor A semelhante àquele observado na Campanha 1 e nos maiores valores calculados ao longo do período amostral para os Setores B e C.

Todos os invertebrados da praia analisados são considerados consumidores primários e estão suscetíveis à bioacumulação de metais e As através de diferentes rotas de contaminação, seja quando em contato com a água e/ou o sedimento, bem como por meio da transferência trófica, ao consumirem os produtores primários contaminados (Saidon et al., 2024). Ao longo do período de monitoramento, a bioacumulação de metais e As nos pequenos invertebrados da praia destacou-se, de uma forma geral, nos Setores A e/ou C, à exceção das Campanhas 10 e 13, onde ocorreram picos nos valores do IBR Bioacumulação nos organismos coletados no Setor B. No entanto, de maneira geral, todos os Setores tiveram um aumento expressivo nesta Campanha. Vale lembrar que os Setores A e C são aqueles onde ocorre a maior deposição do material e contaminantes oriundos da drenagem da Bacia do Rio Doce, ao sul (Setor A) e ao norte (Setor C) da foz desse rio, como resultado das forçantes meteorológicas e oceanográficas vigentes na desembocadura do Rio Doce (RRDM, 2022). Por serem considerados organismos passíveis de bioacumulação de metais e As, os resultados observados refletem, portanto, uma contaminação ambiental por estes elementos nos Setores e Campanhas de coleta em questão.

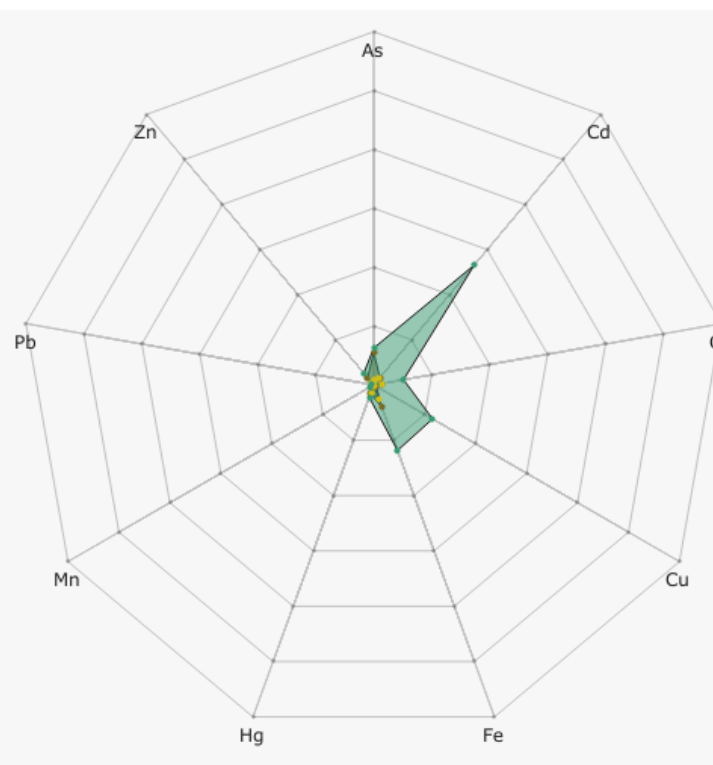
Figura 4: Gráficos de radar obtidos a partir dos valores médios do Índice de Bioacumulação de metais e As (IBR Bioacumulação) determinados para amostras de pequenos invertebrados da praia (anfípodos e isópodos) coletadas durante a Campanha 1 (set/out 2018 – período seco), Campanha 2 (jan/fev 2019 – período chuvoso), Campanha 3 (set/out 2019 – período seco), Campanha 4 (jan/fev 2020 – período chuvoso), Campanha 5 (jan/fev 2021 – período chuvoso), Campanha 6 (jul/ago 2021 – período seco), Campanha 7 (mar 2022 – período chuvoso), Campanha 8 (set/out 2022 – período seco), Campanha 9 (jan/fev 2023 – período chuvoso), Campanha 10 (jun/jul 2023 - período seco), Campanha 11 (jan 2024 – período chuvoso), Campanha 12 (jul 2024 – período seco) e Campanha 13 (jan/fev 2025 – período chuvoso). A ausência do monitoramento em ago/set 2020 – período seco, entre as Campanhas 4 e 5, foi devida a pandemia da COVID-19. Metais considerados: Arsênio (As); Cádmio (Cd); Chumbo (Pb); Cobre (Cu); Cromo (Cr); Ferro (Fe); Manganês (Mn); Mercúrio (Hg); e Zinco (Zn). Classificação por Setores e por Estações de coleta: Setor A [Aracruz – Refúgio (ARR – até a Campanha 12), Aracruz – Putiri (ARP – até a Campanha 12 e S3 - a partir da Campanha 13) e Praia Formosa (S2 – a partir da Campanha 13)]; Setor B [Comboios (DSC – até a Campanha 12, S6 – a partir da Campanha 13), Regência (DSR – até a Campanha 12, S7 – a partir da Campanha 13), Povoação (DNP – até a Campanha 12, N1 a partir da Campanha 13) e Terra Indígena (S2 – a partir da Campanha 13)] e Setor C [Vila de Cacimbas (DNC – até a Campanha 12), Pontal do Ipiranga (DNPI – até a Campanha 12), Urussuquara (DNU – até a Campanha 12), Guriri (DNG – até a Campanha 12 e N5 – a partir da Campanha 13), Degredo (N2 – a partir da Campanha 13), Barra Nova (N4 – a partir da Campanha 13) e Itaúnas (N6 – a partir da Campanha 13)].



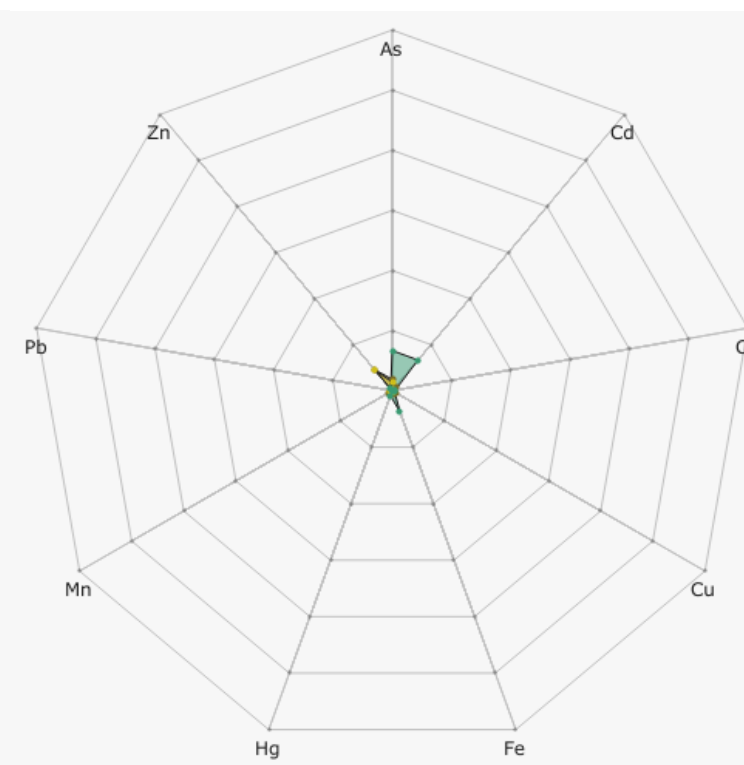
Campanha 7 - mar 2022



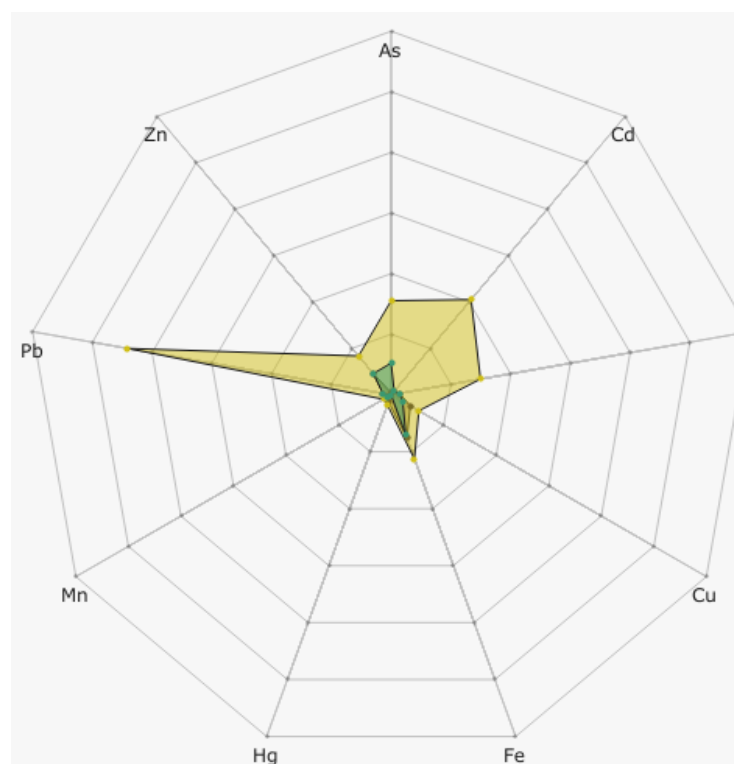
Campanha 8 - set/out 2022



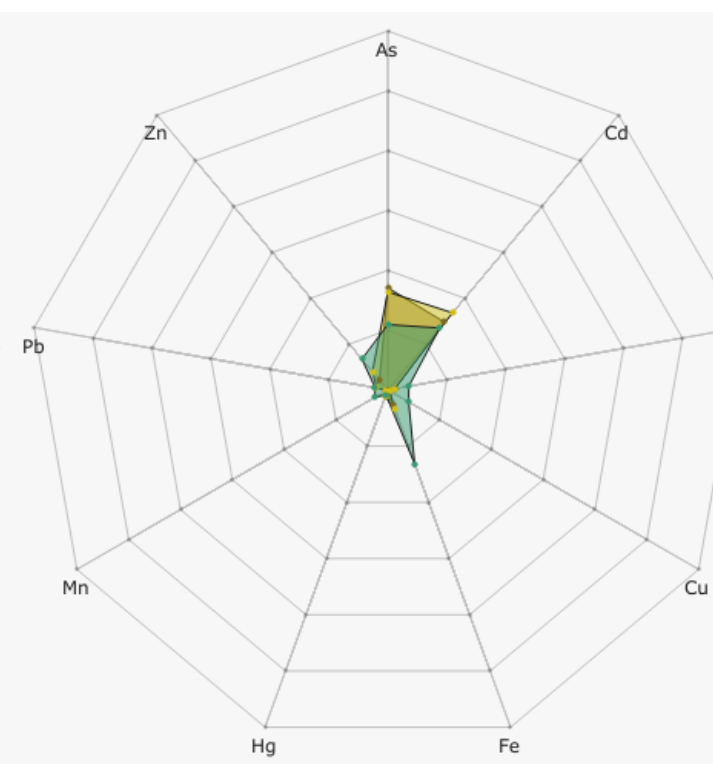
Campanha 9 – jan/fev 2023



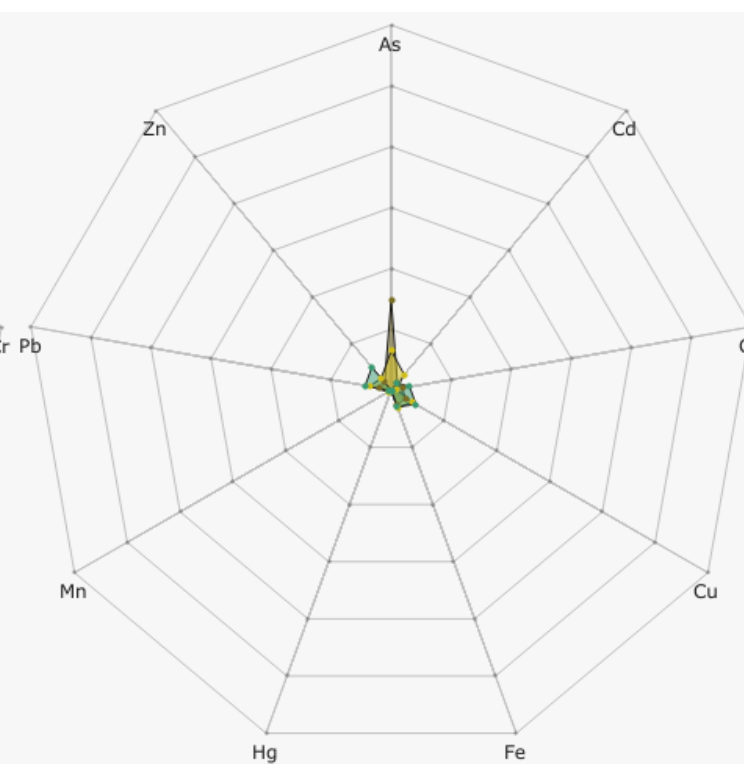
Campanha 10 - jun/jul 2023



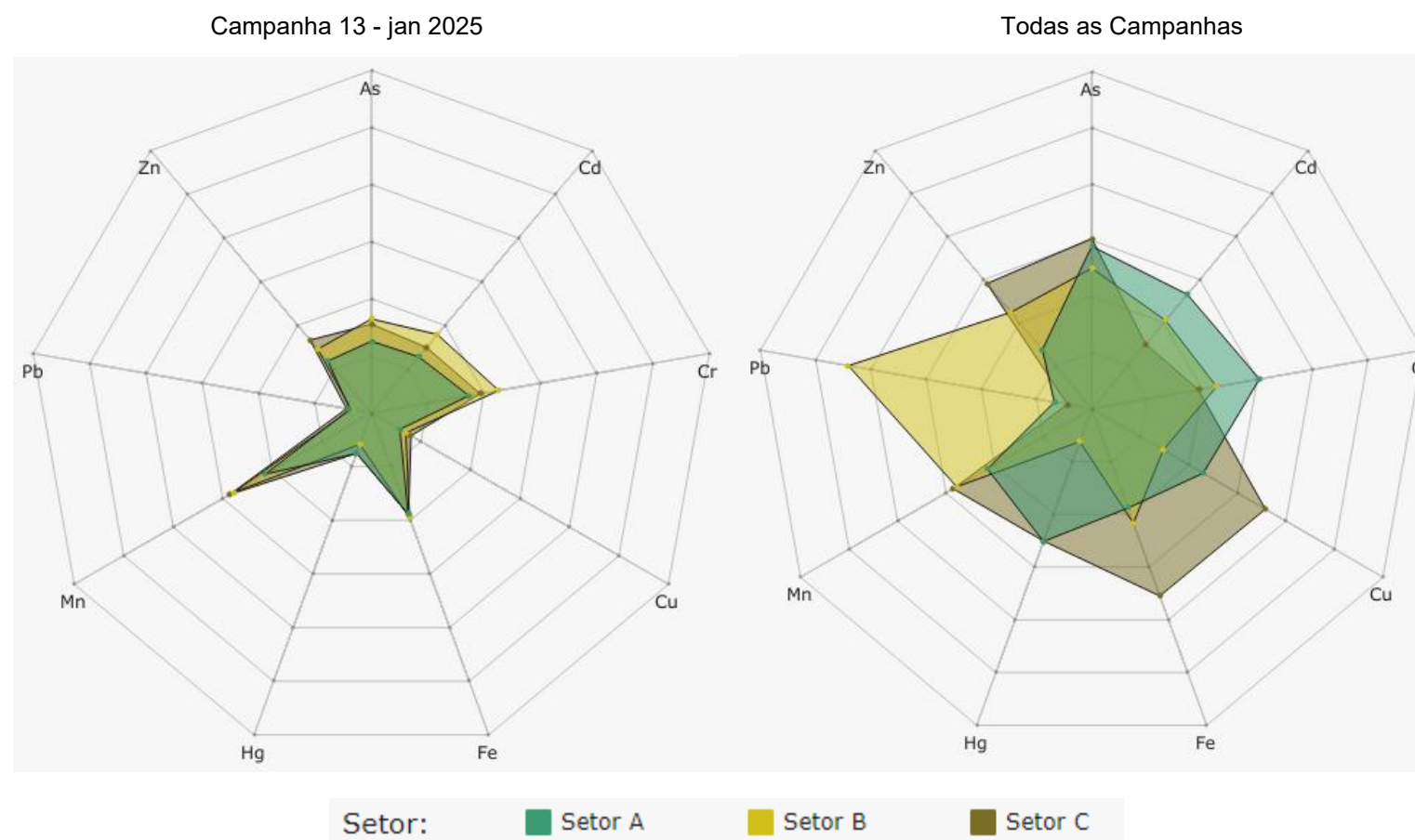
Campanha 11 - jan 2024



Campanha 12 – jul 2024



Setor: ■ Setor A ■ Setor B ■ Setor C



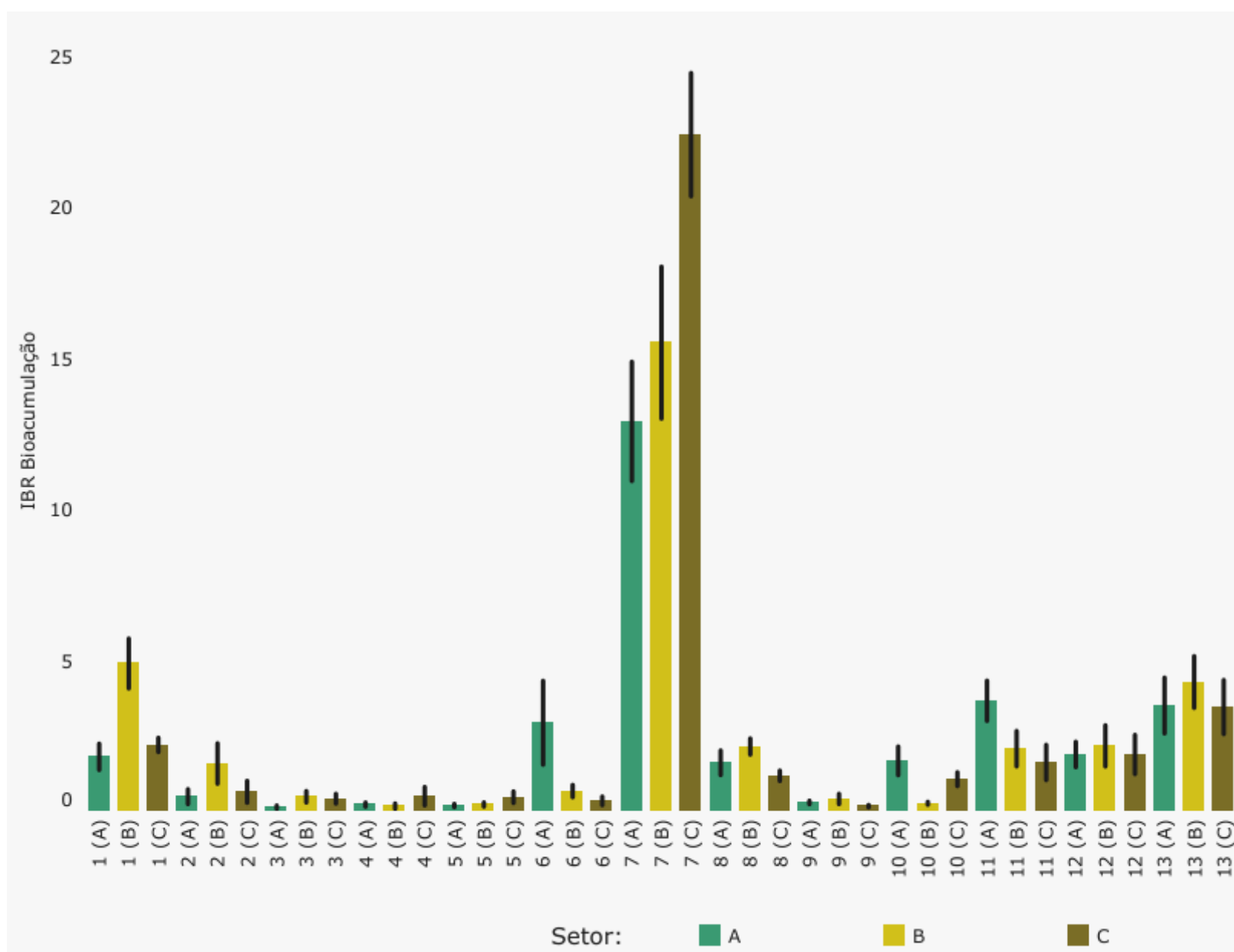
Os gráficos de radar apresentados na Figura 4 mostram que as Campanhas 1 e 13 apresentaram a maior diversidade de contaminantes na composição dos valores do IBR Bioacumulação. Na Campanha 1, o As destaca-se como elemento com contribuição relevante para o cálculo do índice nos três Setores. Além dele, no Setor A destacam-se os metais Cr e Hg, enquanto nos Setores B e C, os metais Cd e Cu; e Zn, Cu e Hg foram os principais contribuintes do índice, respectivamente. Em relação à Campanha 13, os principais elementos associados com o IBR Bioacumulação dos três Setores avaliados foram o Mn, Fe, Cr, Cd, As e Zn. A contribuição destes foi similar entre os Setores A B e C. O Setor B da Campanha 10 também apresentou variedade de elementos compondo o IBR Bioacumulação, com maior contribuição de Pb, Cd, Cr, As e Fe.

As Campanhas 9 e 12 foram aquelas que apresentaram o menor IBR Bioacumulação, com pouca diversidade de contaminantes compondo o valor do IBR Bioacumulação. Na Campanha 9, os contaminantes que contribuíram para a formação do valor do índice no Setor A foram As, Cd e Fe. Por sua vez, no Setor B e C, apenas Zn, e Zn e As foram presentes, respectivamente. Na Campanha 12, o IBR Bioacumulação do Setor A teve contribuição principal do Zn, Pb e Cu, enquanto o As foi o elemento que mais contribuiu para o índice nos Setores B e C.

Considerando-se todas as Campanhas em conjunto, os contaminantes que mais contribuíram, em ordem decrescente de importância, para o IBR Bioacumulação nos pequenos invertebrados da praia coletados no Setor A foram o Cr, As, Cd, Hg, Mn, Cu e Zn, com destaque para o Cr. No caso dos pequenos invertebrados da praia coletados no Setor B, os contaminantes que mais contribuíram, em ordem decrescente de importância, para a composição do índice foram o Pb, Mn, As, Cr e Fe com destaque para o Pb, assim como foi observado para os caranguejos de mangue deste Setor. No caso do Setor C, os contaminantes que mais contribuíram, em ordem decrescente de importância, para a composição do IBR Bioacumulação foram o Fe, Cu, Mn, As, Zn, com destaque para os três primeiros.

Considerando-se todos os Setores em conjunto, os contaminantes que apresentaram maior relevância na composição do IBR Bioacumulação dos pequenos invertebrados da praia, ao longo de todo o monitoramento, foram o As, Cr, Mn e Zn, seguidos do Cu e Fe. Dentre eles, Cr, Cu, Fe, Mn e Zn são considerados micronutrientes, ou seja, são importantes para a saúde dos organismos vivos em concentrações traços, porém são tóxicos em concentrações elevadas. Cabe destacar que, estes elementos ocorreram em concentrações consideradas excessivas em diversos períodos (Campanhas) e locais de amostragem ao longo do período de monitoramento, especialmente nos períodos chuvosos. Já o metaloide As é considerado como sendo altamente tóxico, mesmo em pequenas concentrações (Lokeshappa et al., 2012; Selvi et al., 2019). Vale destacar que, assim como observado para os caranguejos de mangue, houve uma destacada contribuição do Pb para a composição do IBR Bioacumulação dos pequenos invertebrados da praia coletados no Setor B, um metal considerado altamente tóxico (Lokeshappa et al., 2012; Selvi et al., 2019).

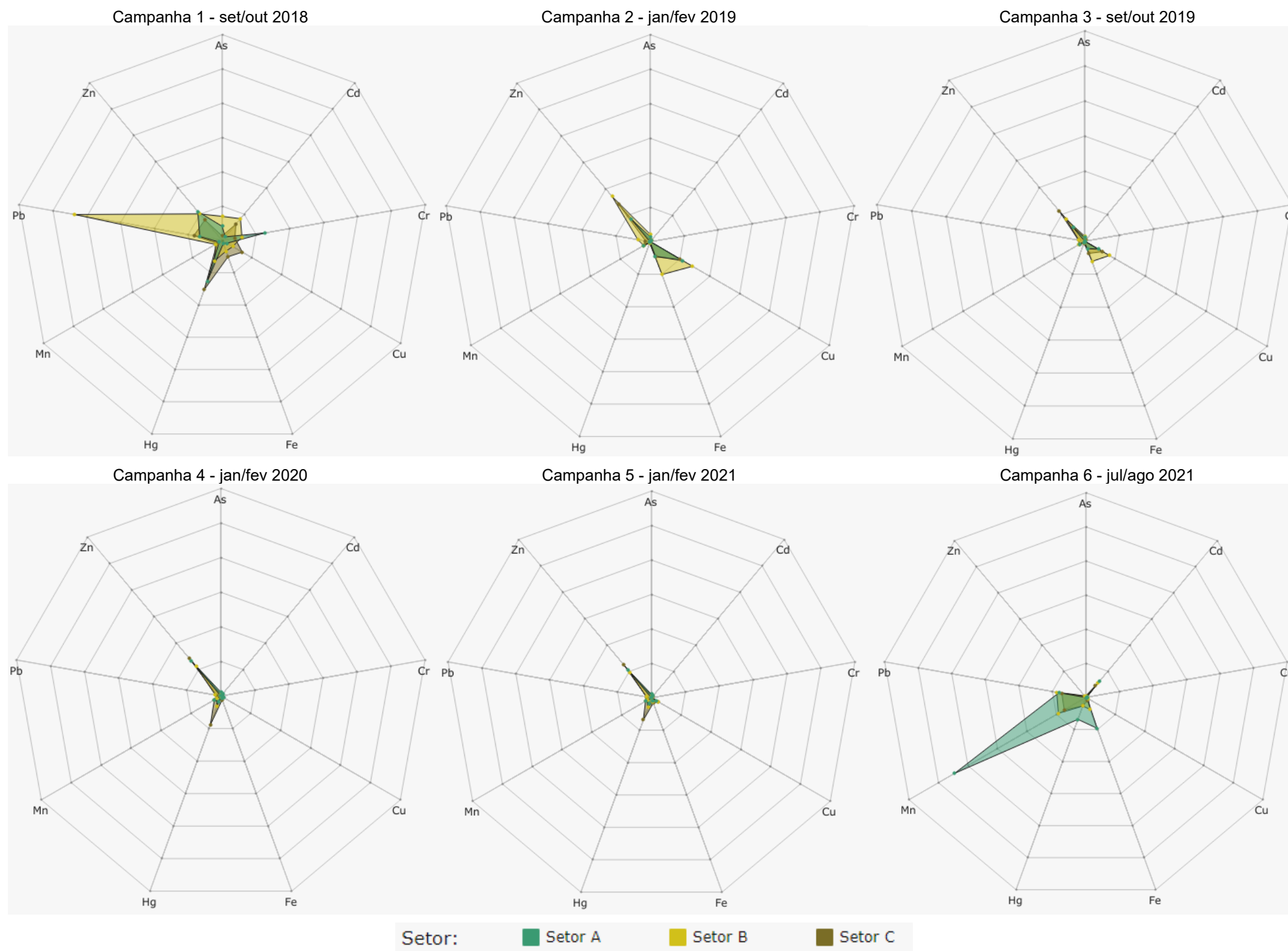
Figura 5: Valores médios do Índice de Bioacumulação de metais e As (IBR Bioacumulação) determinados para amostras de tecidos (brânquias, hepatopâncreas e músculo) de caranguejos da praia coletadas durante a Campanha 1 (set/out 2018 – período seco), Campanha 2 (jan/fev 2019 – período chuvoso), Campanha 3 (set/out 2019 – período seco), Campanha 4 (jan/fev 2020 – período chuvoso), Campanha 5 (jan/fev 2021 – período chuvoso), Campanha 6 (jul/ago 2021 – período seco), Campanha 7 (mar 2022 – período chuvoso), Campanha 8 (set/out 2022 – período seco), Campanha 9 (jan/fev 2023 – período chuvoso), Campanha 10 (jun/jul 2023 - período seco), Campanha 11 (jan 2024 – período chuvoso), Campanha 12 (jul 2024 – período seco) e Campanha 13 (jan/fev 2025 – período chuvoso). A ausência do monitoramento em ago/set 2020 – período seco, entre as Campanhas 4 e 5, foi devida a pandemia da COVID-19. Classificação por Setores e por Estações de coleta: Setor A [Aracruz – Refúgio (ARR – até a Campanha 12), Aracruz – Putiri (ARP – até a Campanha 12 e S3 – a partir da Campanha 13) e Praia Formosa (S2 – a partir da Campanha 13)]; Setor B [Comboios (DSC – até a Campanha 12, S6 – a partir da Campanha 13), Regência (DSR – até a Campanha 12, S7 – a partir da Campanha 13), Povoação (DNP – até a Campanha 12, N1 a partir da Campanha 13) e Terra Indígena (S5 – a partir da Campanha 13)] e Setor C [Vila de Cacimbas (DNC – até a Campanha 12), Pontal do Ipiranga (DNPI – até a Campanha 12), Urussuquara (DNU – até a Campanha 12), Guriri (DNG – até a Campanha 12 e N5 – a partir da Campanha 13), Degredo (N2 – a partir da Campanha 13), Barra Nova (N4 – a partir da Campanha 13) e Itaúnas (N6 – a partir da Campanha 13)]. As linhas verticais em preto representam o desvio padrão.



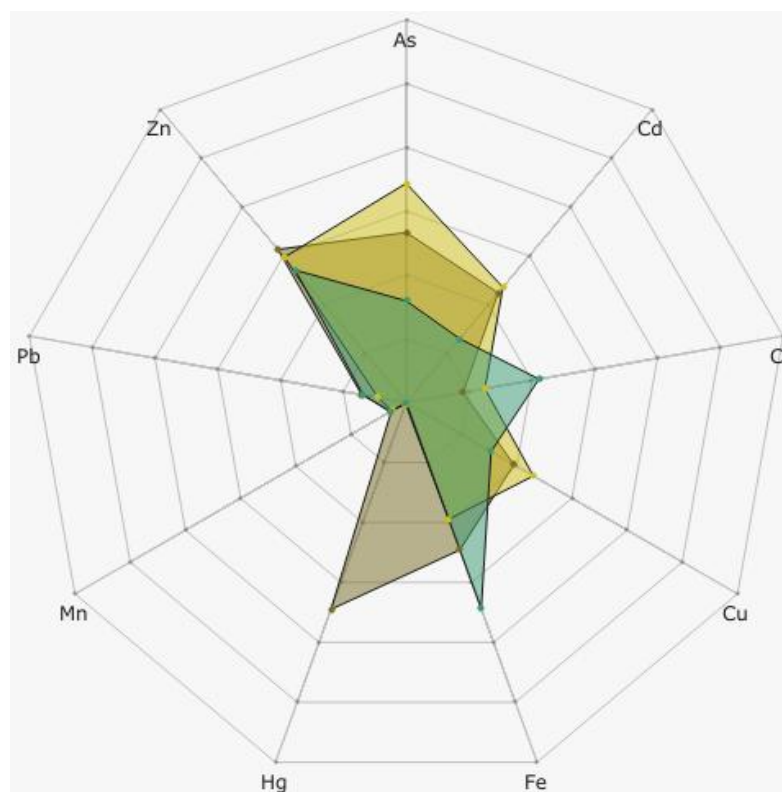
Em relação à comparação temporal feita a partir da avaliação do Índice de Bioacumulação de metais e As (IBR Bioacumulação) para caranguejos da praia, durante todas as Campanhas do monitoramento, é possível observar na Figura 5 que há um pico no valor deste índice na Campanha 7 – similar ao observado para os caranguejos de mangue - na qual foram observados os maiores valores do IBR Bioacumulação para os três Setores avaliados, com destaque para o Setor C. A partir da Campanha 8, os valores do índice diminuíram consideravelmente em todos os Setores avaliados e demonstraram uma tendência de estabilização até a Campanha 10. Porém, foi observado novamente um aumento nos valores deste índice nas Campanhas 11, 12 e 13 para todos os Setores avaliados.

Quando os valores do IBR Bioacumulação de caranguejos da praia (Figura 5) são comparados com aqueles obtidos para os pequenos invertebrados da praia (Figura 3), verifica-se que, até a Campanha 10 e, novamente, na Campanha 13, os pequenos invertebrados da praia foram mais suscetíveis à bioacumulação de metais e As, já que seus valores de IBR Bioacumulação foram relativamente mais altos, à exceção na Campanha 7. Nesta Campanha, os resultados obtidos para os caranguejos da praia sugerem uma maior contaminação por metais e As em todos os Setores do ambiente de praia avaliados (Setores A, B e C). Além disso, a dissimilaridade nos valores do IBR Bioacumulação entre os caranguejos e os pequenos invertebrados da praia pode estar relacionada às diferenças nos hábitos alimentares, habitats, metabolismos e ciclos de vida dos grupos de organismos analisados (Chojnacka & Mikulewicz, 2024; Feng et al., 2020). Nas Campanhas 11 e 12, os valores do IBR Bioacumulação foram similares nos dois grupos de organismos analisados e nos diferentes Setores avaliados, mostrando assim uma tendência de maior homogeneidade nos níveis de contaminação por metais e As nos pequenos invertebrados e caranguejos da praia avaliados. Isto pode sugerir uma distribuição mais homogênea e estabilizada entre os diferentes grupos estudados associada à ação de uma contaminação crônica vigente no ambiente em estudo.

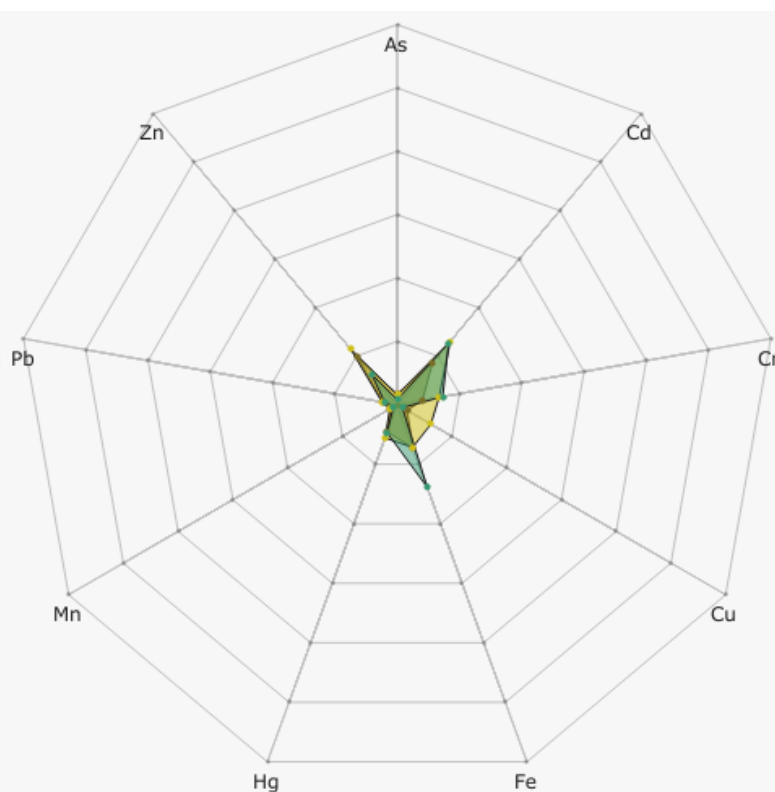
Figura 6: Gráficos de radar obtidos a partir dos valores médios do Índice de Bioacumulação de metais e As (IBR Bioacumulação) determinados para amostras de tecidos (brânquias, hepatopâncreas e músculo) de caranguejos da praia coletadas durante a Campanha 1 (set/out 2018 – período seco), Campanha 2 (jan/fev 2019 – período chuvoso), Campanha 3 (set/out 2019 – período seco), Campanha 4 (jan/fev 2020 – período chuvoso), Campanha 5 (jan/fev 2021 – período chuvoso), Campanha 6 (jul/ago 2021 – período seco), Campanha 7 (mar 2022 – período chuvoso), Campanha 8 (set/out 2022 – período seco), Campanha 9 (jan/fev 2023 – período chuvoso), Campanha 10 (jun/jul 2023 - período seco), Campanha 11 (jan 2024 – período chuvoso), Campanha 12 (jul 2024 – período seco) e Campanha 13 (jan/fev 2025 – período chuvoso). A ausência do monitoramento em ago/set 2020 – período seco, entre as Campanhas 4 e 5, foi devida a pandemia da COVID-19. Metais considerados: Arsênio (As); Cádmio (Cd); Chumbo (Pb); Cobre (Cu); Cromo (Cr); Ferro (Fe); Manganês (Mn); Mercúrio (Hg); e Zinco (Zn). Classificação por Setores e por Estações de coleta: Setor A [Aracruz – Refúgio (ARR – até a Campanha 12), Aracruz – Putiri (ARP – até a Campanha 12 e S3 – a partir da Campanha 13) e Praia Formosa (S2 – a partir da Campanha 13)]; Setor B [Comboios (DSC – até a Campanha 12, S6 – a partir da Campanha 13), Regência (DSR – até a Campanha 12, S7 – a partir da Campanha 13), Povoação (DNP – até a Campanha 12, N1 – a partir da Campanha 13) e Terra Indígena (S5 – a partir da Campanha 13)] e Setor C [Vila de Cacimbas (DNC – até a Campanha 12), Pontal do Ipiranga (DNPI – até a Campanha 12), Urussuquara (DNU – até a Campanha 12), Guriri (DNG – até a Campanha 12 e N5 – a partir da Campanha 13), Degredo (N2 – a partir da Campanha 13), Barra Nova (N4 – a partir da Campanha 13) e Itáunas (N6 – a partir da Campanha 13)].



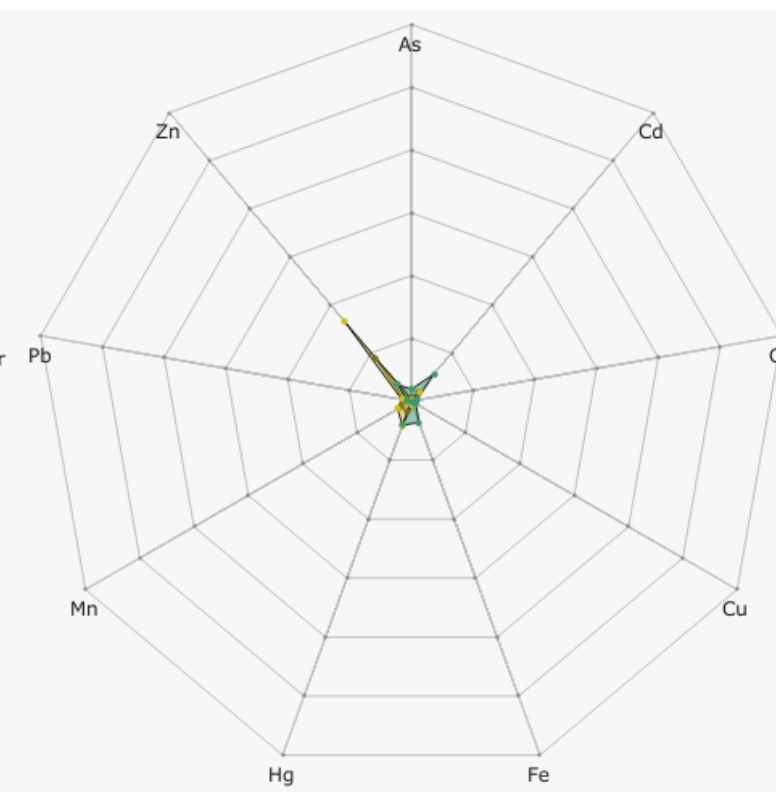
Campanha 7 - mar 2022



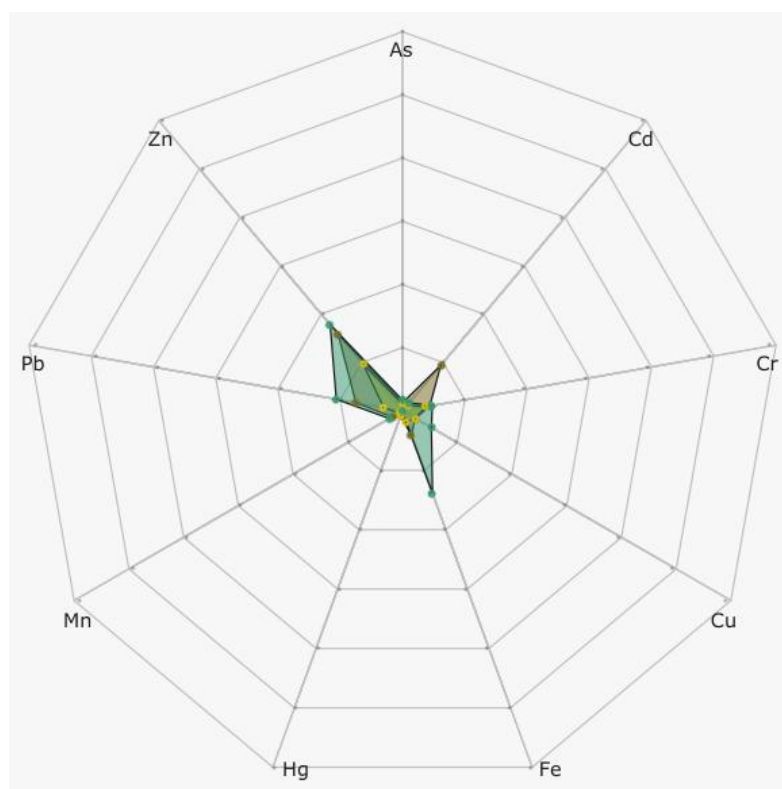
Campanha 8 - set/out 2022



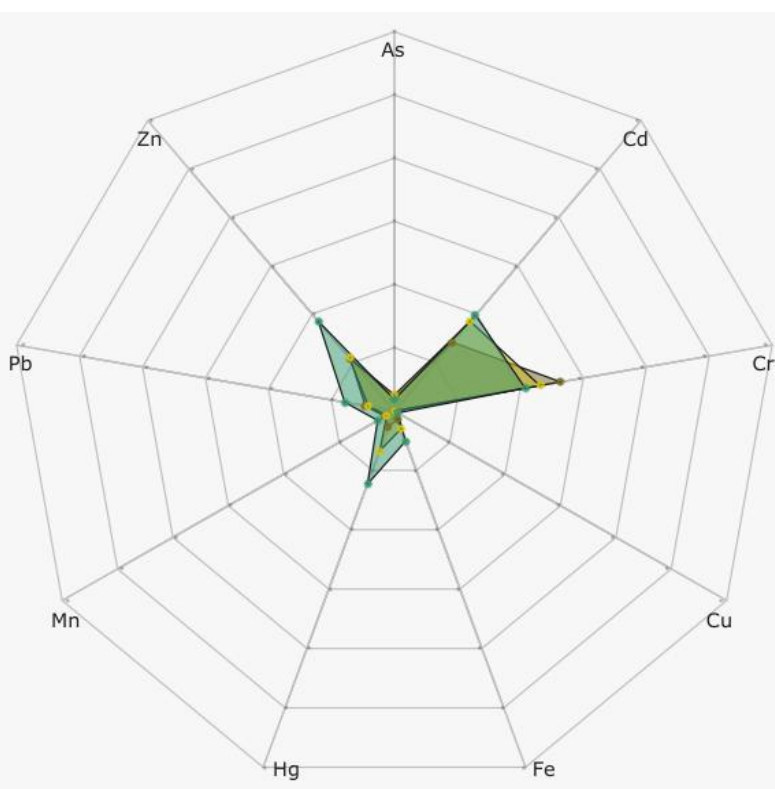
Campanha 9 – jan/fev 2023



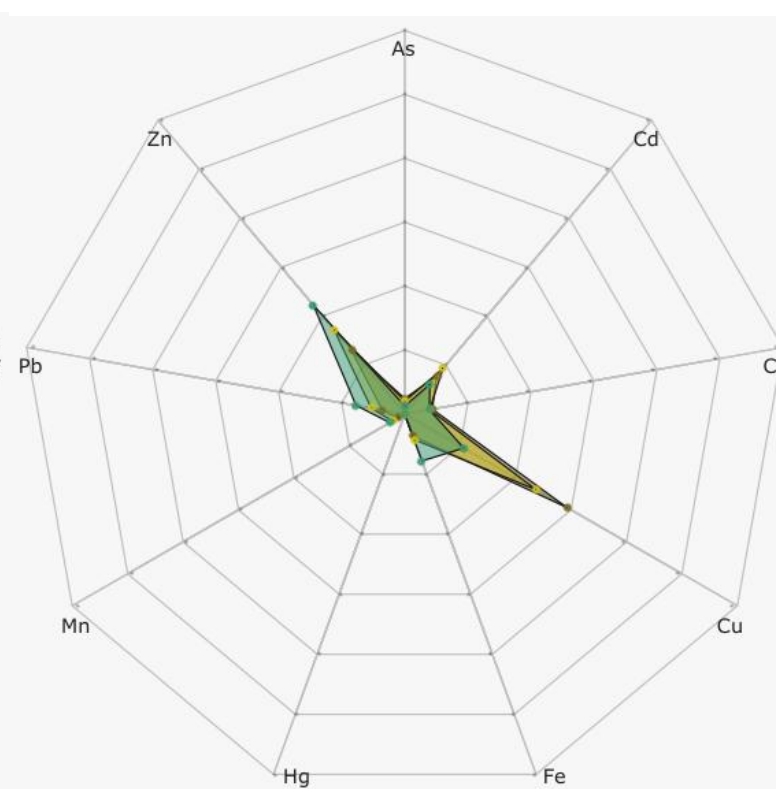
Campanha 10 - jun/jul 2023



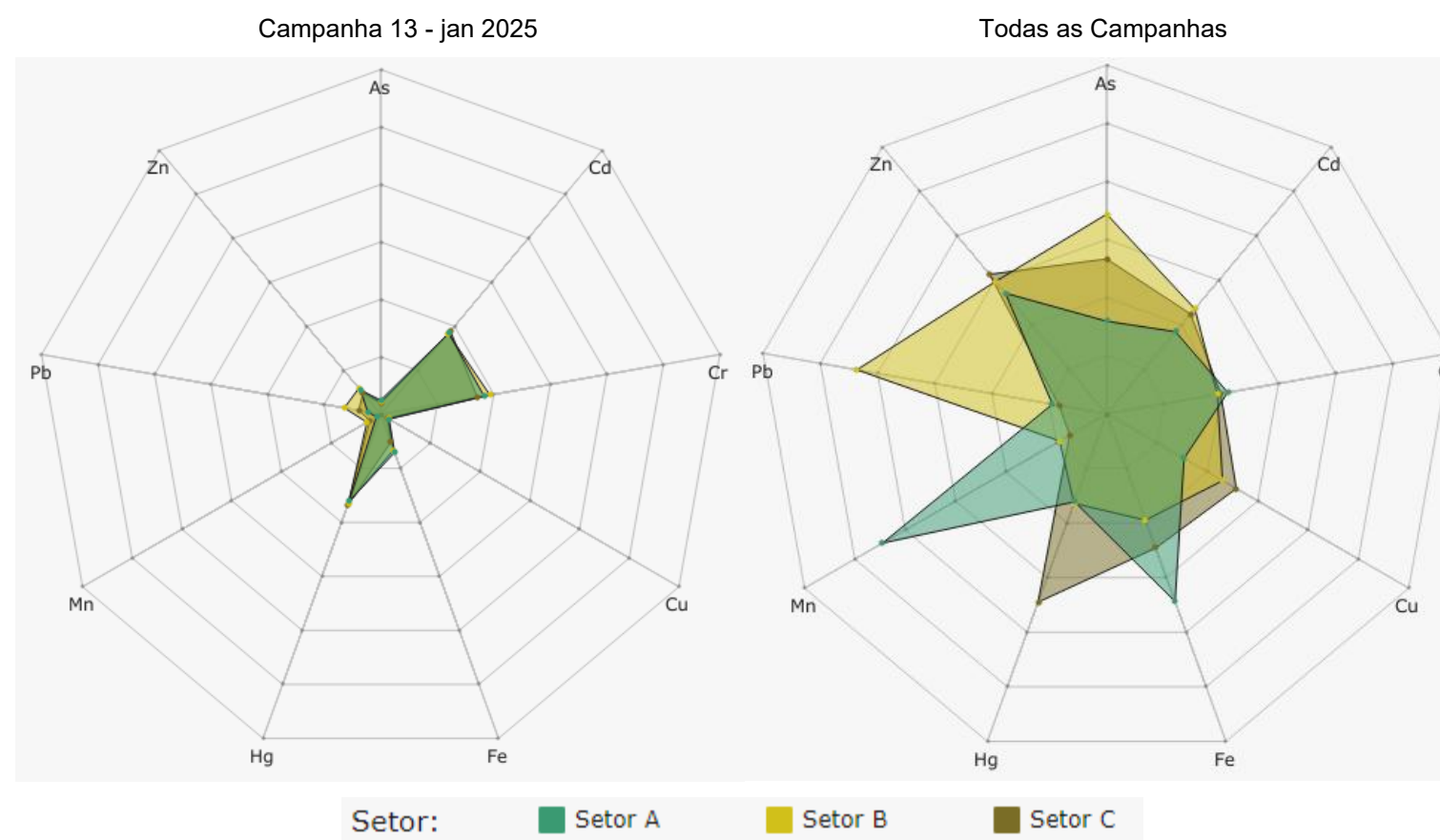
Campanha 11 - jan 2024



Campanha 12 – jul 2024



Setor: ■ Setor A ■ Setor B ■ Setor C

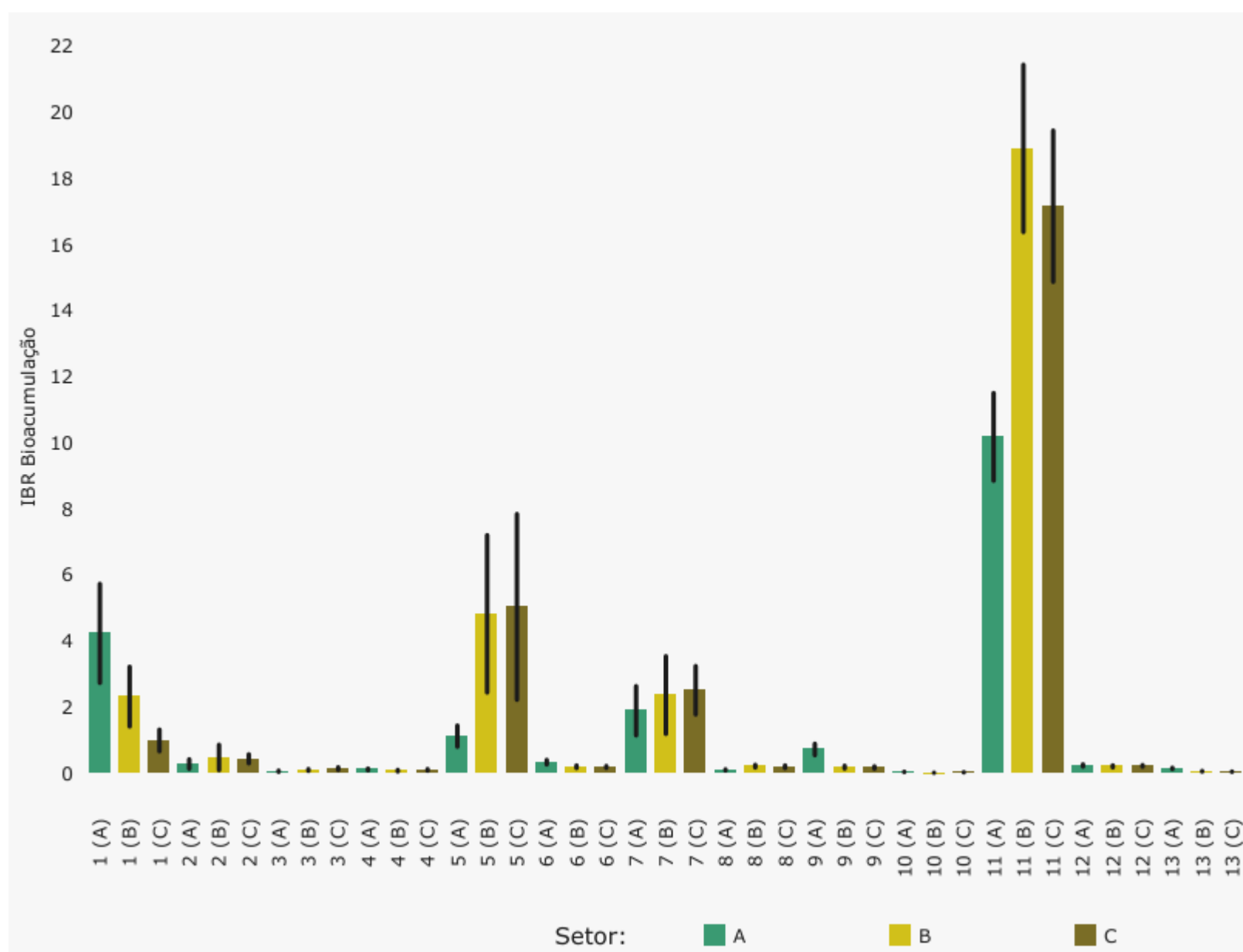


Os gráficos de radar apresentados na Figura 6 revelaram um destaque para a Campanha 7, já que esta apresentou o maior valor do IBR Bioacumulação, bem como a maior diversidade de contaminantes compondo o valor deste índice. Nesta Campanha, a contribuição de cada um dos elementos foi dependente do Setor avaliado. No Setor A, o Fe, Zn, Cr, As e Cu contribuíram de forma mais importante para o valor do IBR Bioacumulação, com um destaque marcante para o Fe, seguido de Zn. No Setor B, os elementos As, Zn, Cd, Cu e Fe contribuíram expressivamente e de forma semelhante para a composição do valor do índice, com destaque para o As e Zn. No Setor C, o valor do IBR Bioacumulação foi composto pelo Hg, Zn, Fe, Cd, As e Cu, com maior participação de Hg e Zn para o cálculo do índice. Considerando-se, em conjunto, os três Setores avaliados, Fe, Zn, As e Cu foram os contaminantes que contribuíram de forma importante para a composição do IBR Bioacumulação dos caranguejos da praia. Neste contexto, vale destacar que o Hg aparece somente na composição do índice dos caranguejos da praia coletados no Setor C, porém com uma expressiva contribuição na composição do valor do IBR Bioacumulação. Isso indica que, na Campanha 7, os organismos do Setor C estiveram mais sujeitos aos efeitos da bioacumulação de Hg do que aqueles dos demais Setores avaliados. Por sua vez, os organismos do Setor A estiveram mais sujeitos à bioacumulação e aos efeitos de metais essenciais como Fe, Zn e Cr.

Em uma análise mais geral, vale destacar que o Zn esteve presente na composição do IBR bioacumulação em todas as Campanhas do monitoramento, à exceção da Campanha 6 e, em menor importância, na Campanha 13. Outros dois metais que merecem destaque são o Cd e o Hg, devido às suas frequências na composição do índice. O Cd esteve associado aos Setores avaliados na Campanha 1, bem como nas Campanhas de 6 a 13. Por sua vez, o Hg esteve relacionado à composição do IBR Bioacumulação nas Campanhas 1, 4, 5, 6, 7, 8, 11 e 13, sendo de grande contribuição para o IBR Bioacumulação do Setor C na Campanha 7. Estes resultados indicam uma importante bioacumulação destes três metais (Cd, Hg e Zn) nos organismos avaliados, a qual se mantém ao longo do período do monitoramento realizado e, consequentemente, um possível impacto crônico destes elementos na biota aquática em questão. Por sua vez, os valores elevados de As, Cd, Hg e Pb observados na Campanha 7 requerem atenção e indicam a possibilidade de uma redistribuição dos contaminantes já presentes nos sedimentos da praia para a coluna d'água e, consequentemente, para a biota.

Considerando-se todos os Setores em conjunto, os contaminantes que apresentaram maior frequência na composição do IBR Bioacumulação nos caranguejos da praia, ao longo de todo o monitoramento, foram o As, Cu, Fe e Zn, seguidos do Cd e Cr. Assim como observado para os caranguejos de mangue e para os pequenos invertebrados da praia, quando se consideram os dados de todas as Campanhas realizadas, houve uma destacada contribuição do Pb para a composição do IBR Bioacumulação dos caranguejos da praia coletados no Setor B, um metal considerado altamente tóxico (Lokeshappa et al., 2012; Selvi et al., 2019). No Setor A, destaca-se a importante e elevada contribuição do Fe e Mn, contaminantes presentes no MLD (material ligado ao desastre), na composição do IBR Bioacumulação dos caranguejos da praia. Por sua vez, no Setor C, o destaque na composição deste índice para todas as Campanhas realizadas é atribuído ao Hg. Dentre os contaminantes mencionados acima, ressalta-se que Cu, Fe, Mn e Zn são considerados micronutrientes, ou seja, são importantes para a saúde dos organismos vivos em concentrações traços, porém são tóxicos em concentrações elevadas. Já o metalóide As e os metais Cd, Hg e Pb são considerados como sendo altamente tóxicos, mesmo em pequenas concentrações (Lokeshappa et al., 2012; Selvi et al., 2019).

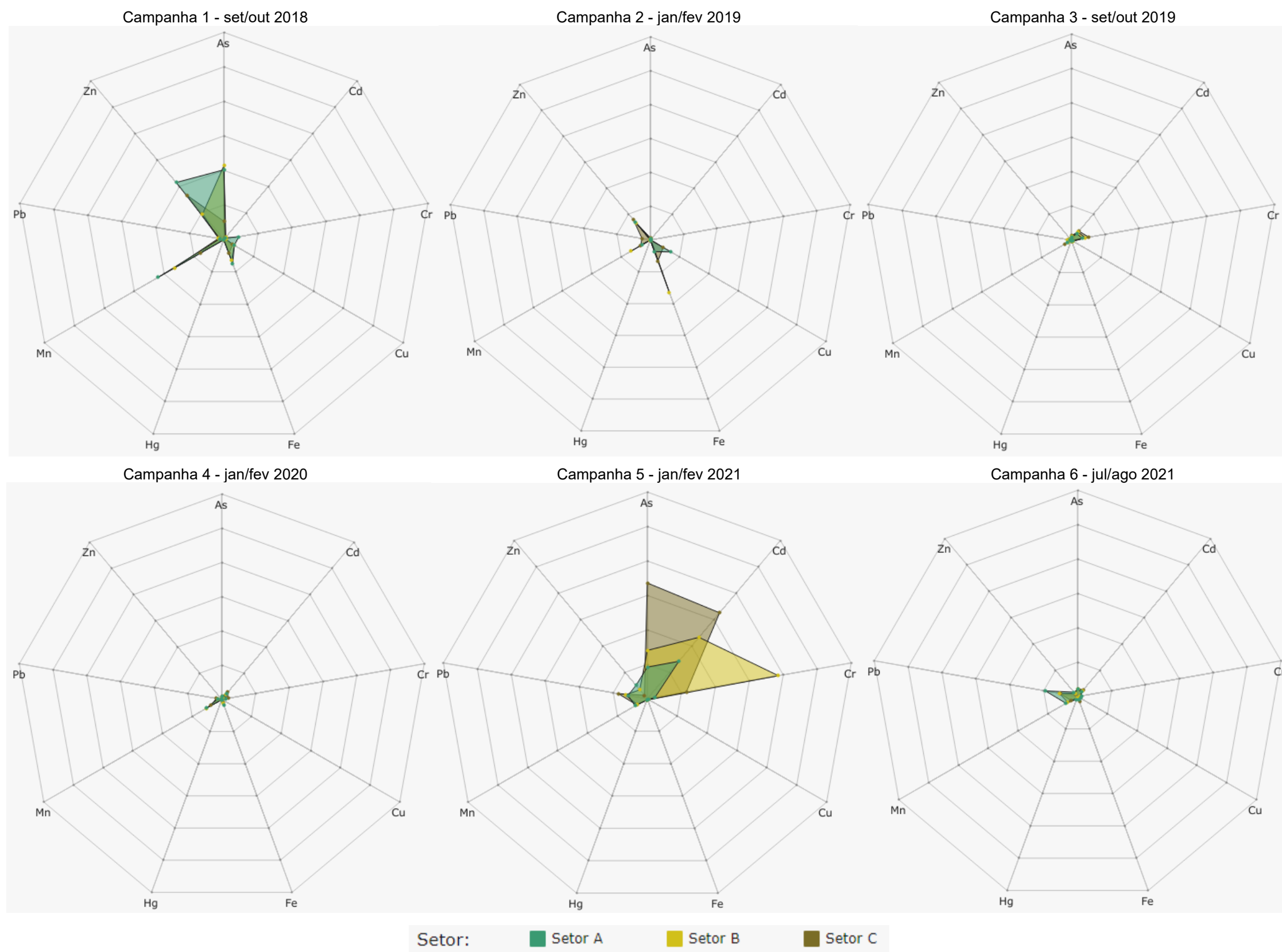
Figura 7: Valores médios do Índice de Bioacumulação de metais e As (IBR Bioacumulação) determinados para amostras de penas e sangue de aves coletadas durante a Campanha 1 (set/out 2018 – período seco), Campanha 2 (jan/fev 2019 – período chuvoso), Campanha 3 (set/out 2019 – período seco), Campanha 4 (jan/fev 2020 – período chuvoso), Campanha 5 (jan/fev 2021 – período chuvoso), Campanha 6 (jul/ago 2021 – período seco), Campanha 7 (mar 2022 – período chuvoso), Campanha 8 (set/out 2022 – período seco), Campanha 9 (jan/fev 2023 – período chuvoso), Campanha 10 (jun/jul 2023 - período seco), Campanha 11 (jan 2024 – período chuvoso), Campanha 12 (jul 2024 – período seco) e Campanha 13 (jan/fev 2025 – período chuvoso). A ausência do monitoramento em ago/set 2020 – período seco, entre as Campanhas 4 e 5, foi devida a pandemia da COVID-19. Classificação por Setores e por Estações de coleta: Setor A (Mangue); Setor B (Estuário); e Setor C (Costeiro). As linhas verticais em preto representam o desvio padrão.



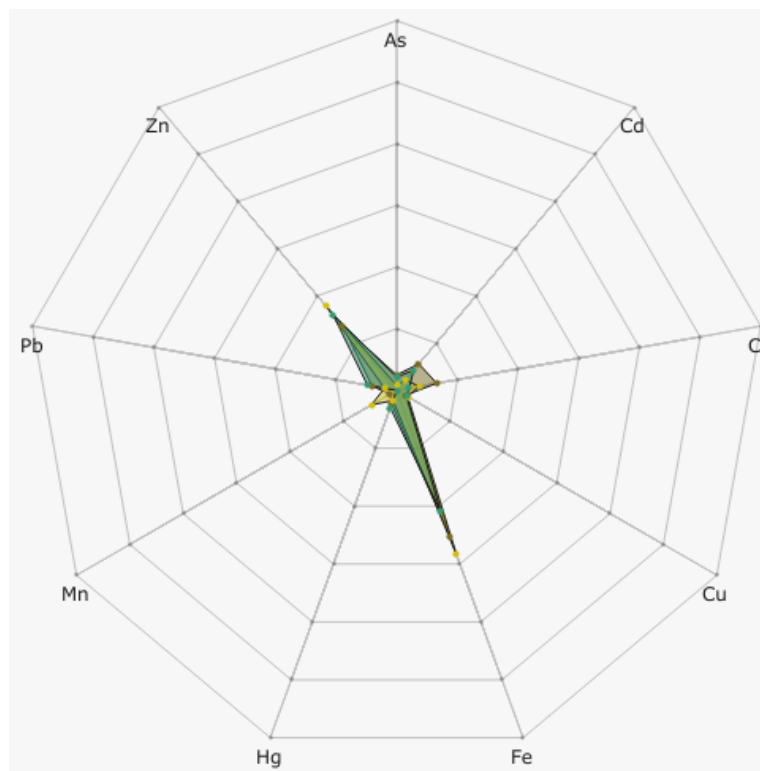
De maneira geral, observa-se no gráfico de barras apresentado na Figura 7 que há alternâncias nos valores do IBR Bioacumulação entre Campanhas, isto é, com grandes aumentos ou diminuições dos valores deste índice entre as Campanhas. Nos últimos anos do monitoramento, foi observado um padrão sazonal de contaminação das aves, já que aumentos expressivos no valor do IBR Bioacumulação foram observados nos últimos períodos chuvosos em todos os Setores avaliados, especialmente nas Campanhas 5, 7 e 11. Neste contexto, cabe destacar que na Campanha 11 (jan 2024 - período chuvoso) foram observados os maiores valores do IBR Bioacumulação para todos os Setores avaliados, em relação à todas as Campanhas realizadas ao longo do monitoramento. Este marcado aumento no nível de contaminação das penas e sangue das aves costeiras foi seguido de uma nova e significativa redução nos valores do IBR Bioacumulação nas Campanhas 12 e 13. Os maiores valores do índice de bioacumulação de metais e As nos tecidos (sangue e penas) das aves costeiras no período chuvoso podem estar associadas a maiores níveis destes contaminantes nos itens alimentares destes animais devido à maior biodisponibilidade destes elementos durante este período, conforme detalhado abaixo.

Quando os dados de bioacumulação nos tecidos das aves costeiras (Figura 7) são comparados com aqueles dos caranguejos de manguezais (Figura 1), bem como dos caranguejos da praia (Figura 5), observa-se que há uma tendência de pico dos índices, sobretudo na Campanha 7. Esta relação pode estar associada ao fato de que as aves costeiras tem um comportamento de forrageamento e são predadores de topo de cadeia trófica, podendo se alimentar de vários organismos, incluindo caranguejos, pequenos invertebrados e peixes (Beauchamp, 2009; Li et al., 2023; Steinmetz et al., 2003). Portanto, estas evidências apontam para uma contaminação do Ambiente Costeiro com metais e As, bem como a bioacumulação e biomagnificação destes contaminantes nos organismos que habitam ou utilizam este ambiente para forrageamento.

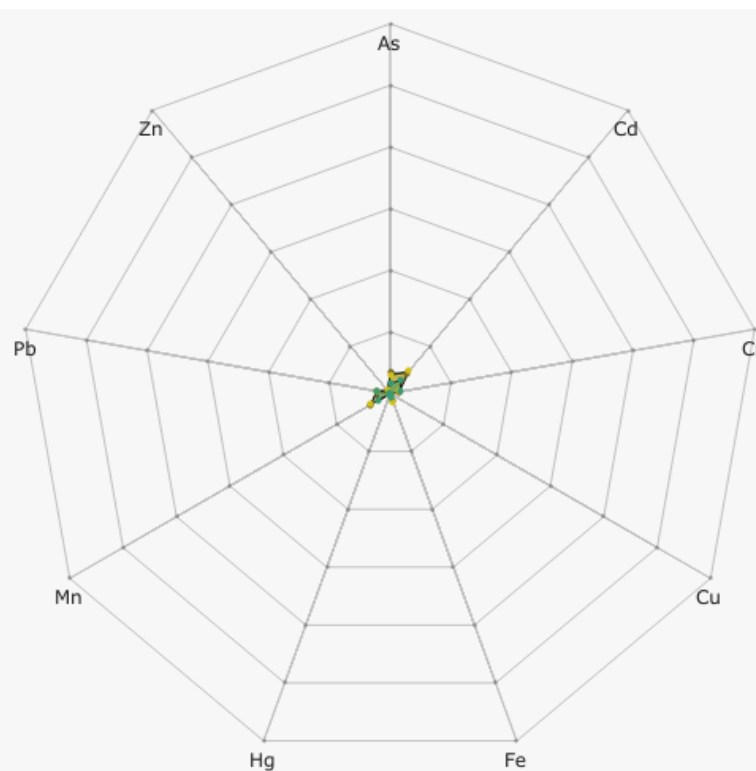
Figura 8: Gráficos de radar obtidos a partir dos valores médios do Índice de Bioacumulação de metais e As (IBR Bioacumulação) determinados para amostras de penas e sangue de aves coletadas durante a Campanha 1 (set/out 2018 – período seco), Campanha 2 (jan/fev 2019 – período chuvoso), Campanha 3 (set/out 2019 – período seco), Campanha 4 (jan/fev 2020 – período chuvoso), Campanha 5 (jan/fev 2021 – período chuvoso), Campanha 6 (jul/ago 2021 – período seco), Campanha 7 (mar 2022 – período chuvoso), Campanha 8 (set/out 2022 – período seco), Campanha 9 (jan/fev 2023 – período chuvoso), Campanha 10 (jun/jul 2023 - período seco), Campanha 11 (jan 2024 – período chuvoso), Campanha 12 (jul 2024 – período seco) e Campanha 13 (jan/fev 2025 – período chuvoso). A ausência do monitoramento em ago/set 2020 – período seco, entre as Campanhas 4 e 5, foi devida a pandemia da COVID-19. Metais analisados: Arsênio (As); Cádmio (Cd); Chumbo (Pb); Cobre (Cu); Cromo (Cr); Ferro (Fe); Manganês (Mn); Mercúrio (Hg); e Zinco (Zn). Classificação por Setores e por Estações de coleta: Setor A (Mangue); Setor B (Estuário) e Setor C (Costeiro).



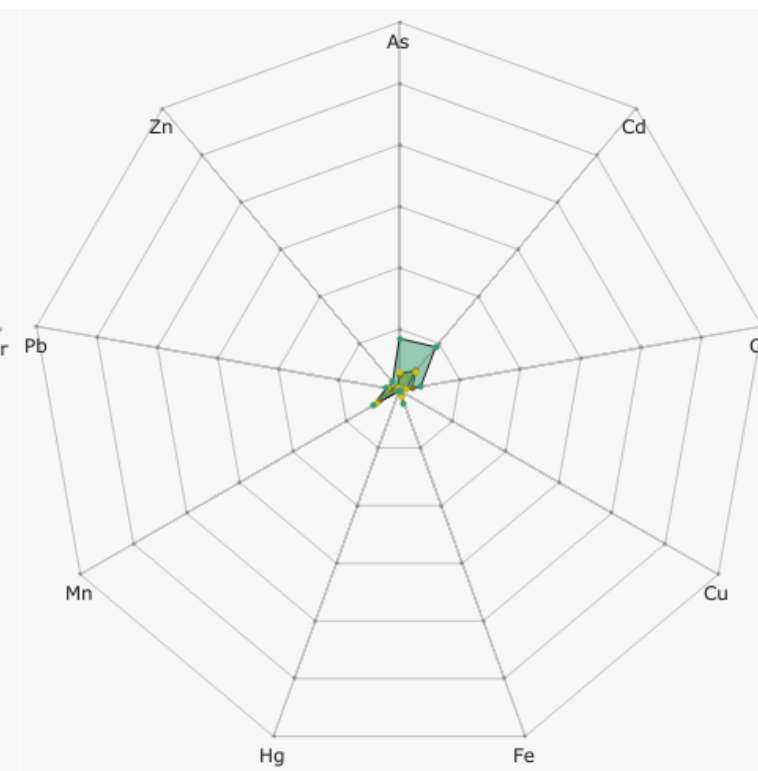
Campanha 7 - mar 2022



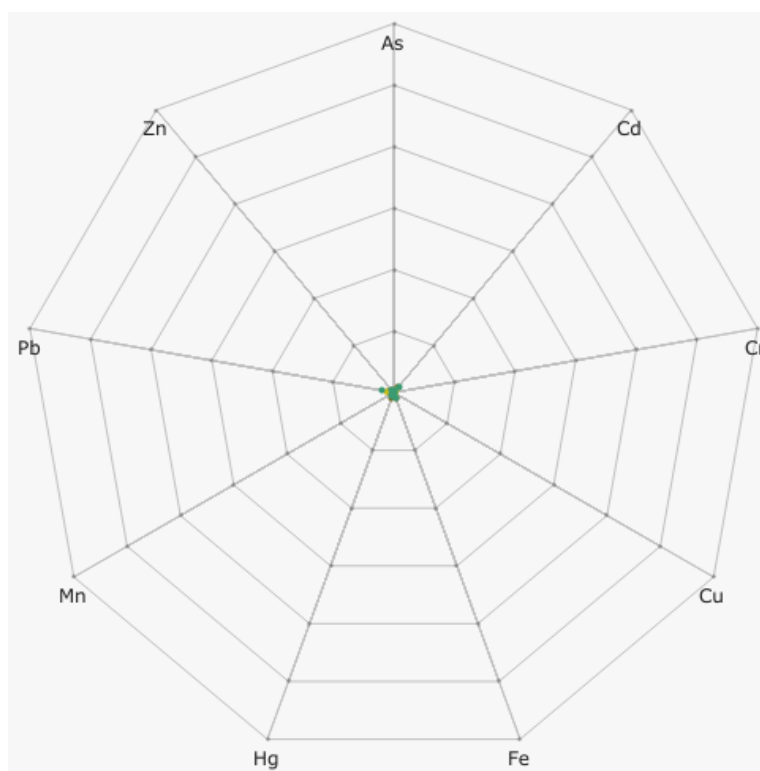
Campanha 8 - set/out 2022



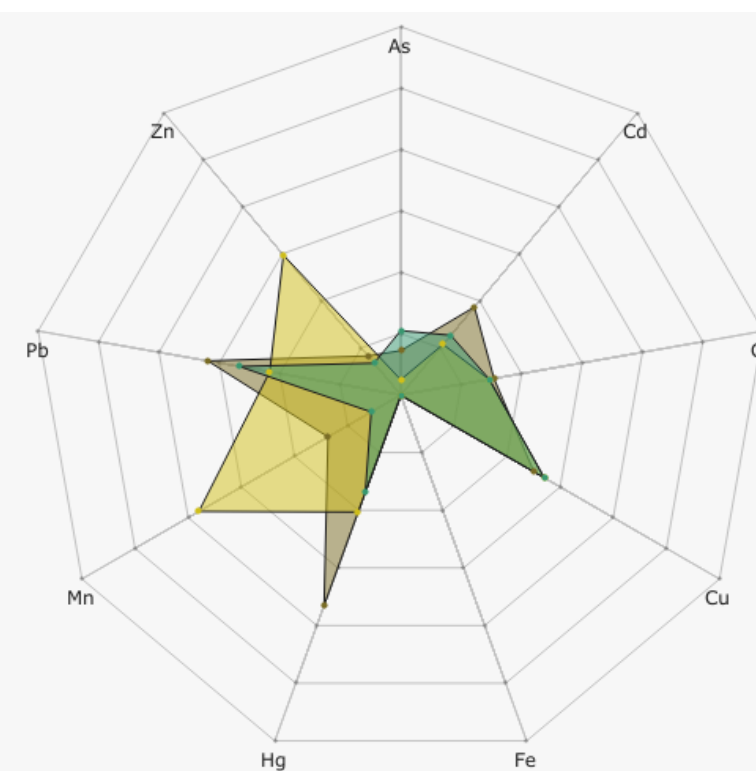
Campanha 9 – jan/fev 2023



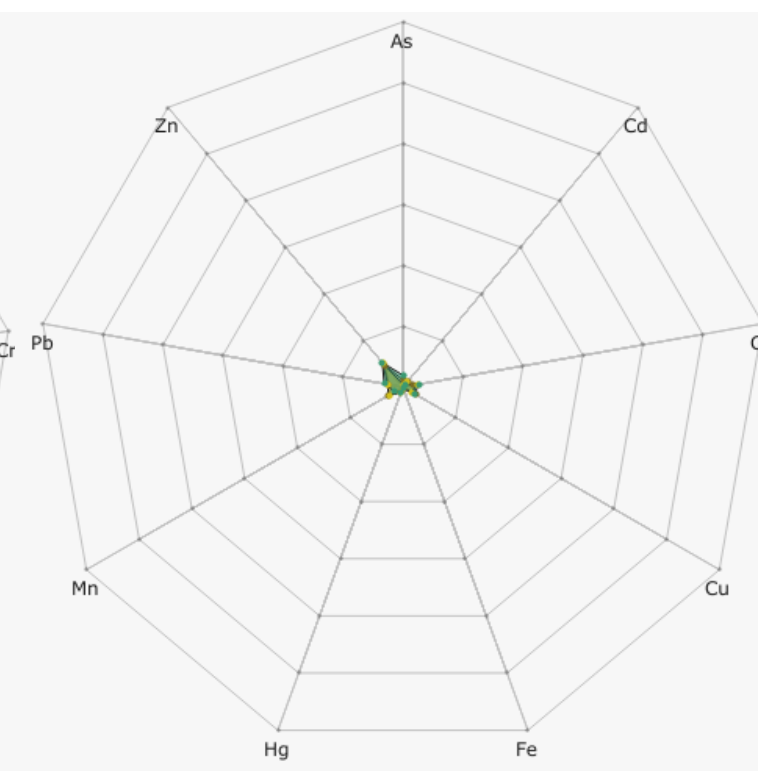
Campanha 10 - jun/jul 2023



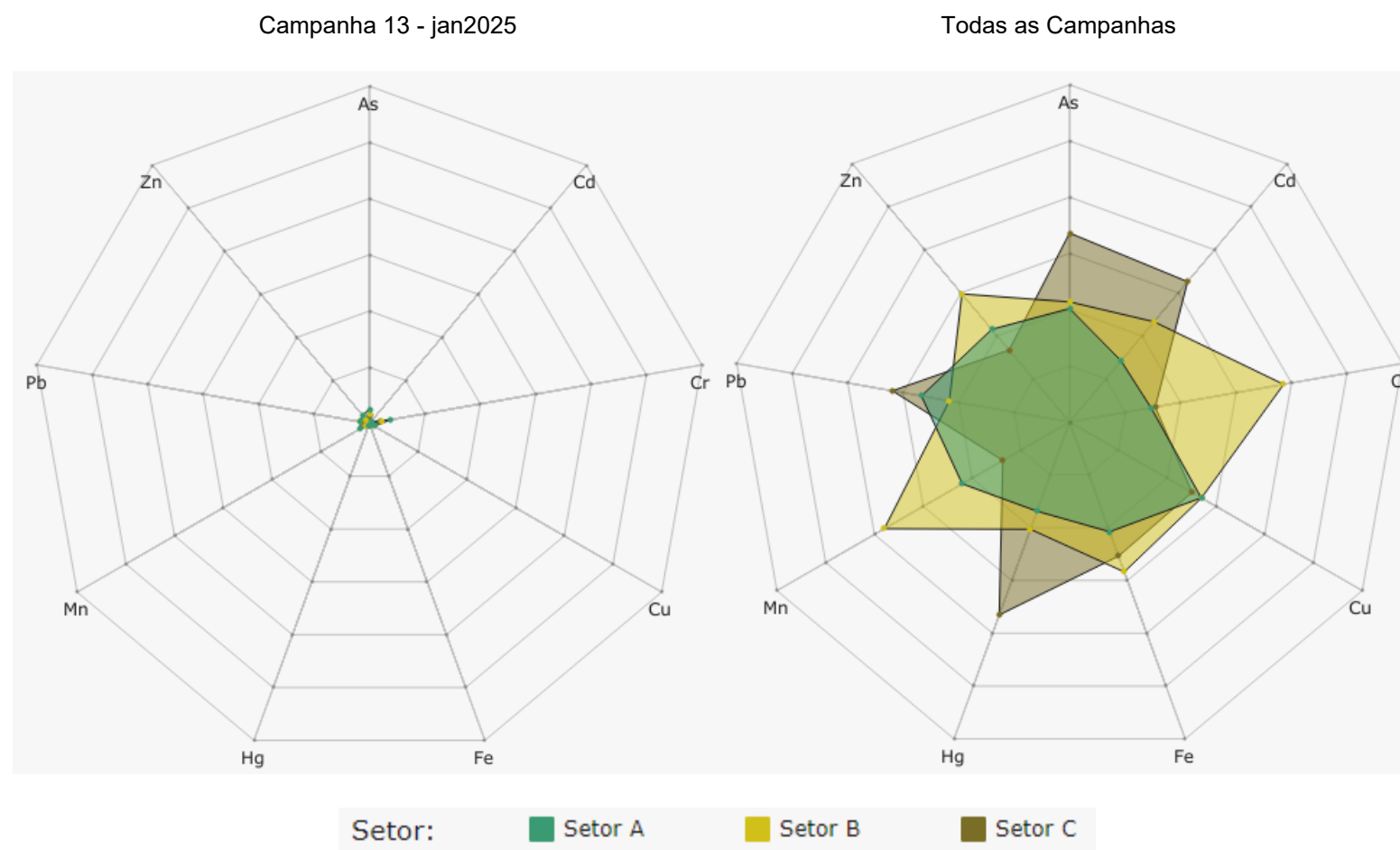
Campanha 11 - jan 2024



Campanha 12 – jul 2024



Setor: ■ Setor A ■ Setor B ■ Setor C



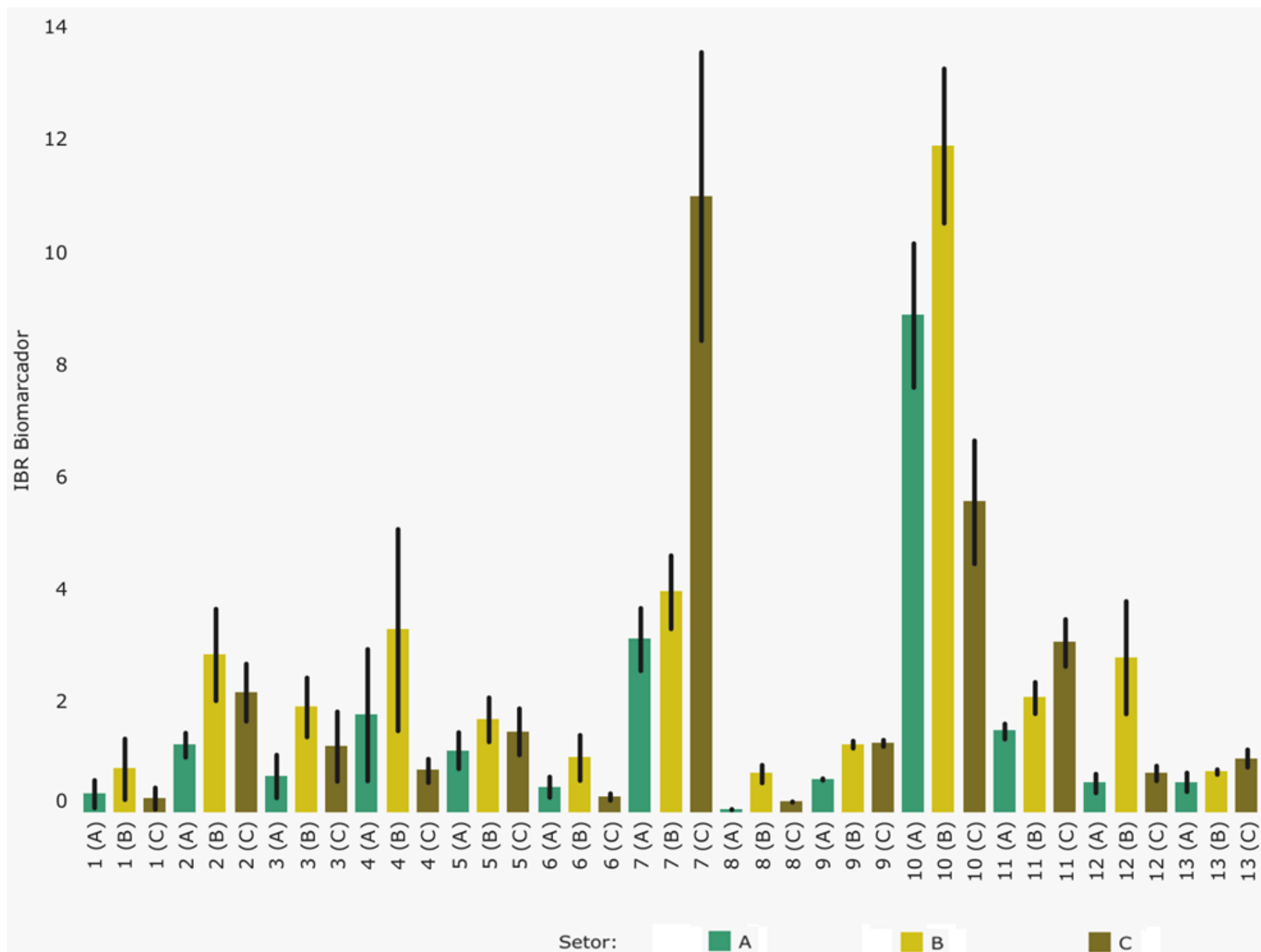
Através dos gráficos de radar apresentados na Figura 8 é possível observar que as Campanhas 1, 5, 7 e 11 foram as que apresentaram a maior diversidade e os maiores valores de contaminantes compondo o IBR Bioacumulação, com destaque para a Campanha 11. Vale ressaltar que, nos três Setores avaliados, todos os elementos contribuíram significativamente para a composição do valor do IBR Bioacumulação

Ao longo de todo o monitoramento, Mn, Pb e As foram os contaminantes que estiveram mais presentes na composição do valor do IBR Bioacumulação nas aves costeiras. Apesar de não estarem presentes na composição do índice em muitas Campanhas, cabe enfatizar que o Hg, Fe, Cu e Cr foram geralmente bastante importantes na composição do IBR Bioacumulação. Neste contexto, cabe destacar que o Mn esteve mais presente na composição do índice de todas as Campanhas, com exceção da Campanha 10. Por sua vez, o Pb esteve mais presente na composição do índice nas Campanhas 2, 5, 6, 7, 8, 9, 10, 11 e 12. Já o As esteve presente na composição do índice nas Campanhas 1, 5, 7, 9, 11 e 13. Por sua vez, o Zn esteve presente na composição do IBR Bioacumulação nos tecidos das aves costeiras nas Campanhas 1, 2, 7, 11, 12 e 13. Neste contexto, cabe destacar então que Mn e Pb ocorreram com maior importância em dois terços das Campanhas realizadas (2, 5, 6, 7, 8, 9, 11, 12 e 13). Cabe ressaltar que estes metais estiveram dentre os mais frequentes na composição do IBR Bioacumulação em todas as Campanhas para os caranguejos do manguezal (Figura 1). Vale lembrar que, o Pb é um metal traço não essencial à vida e, conseqüentemente, altamente tóxico, mesmo em baixas concentrações, sendo reconhecidamente presente no Material Ligado ao Desastre (MLD) (de Oliveira Gomes et al., 2017), e que o Mn é um metal com alto potencial de mobilização a partir da lixiviação MLD (Segura et al., 2016). Além disso, vale lembrar que o Mn é um micronutriente essencial à vida, mas que pode ser tóxico para os organismos quando presente em altas concentrações, como observado no monitoramento realizado.

Considerando-se todos os Setores em conjunto, os contaminantes que apresentaram maior relevância na composição do IBR Bioacumulação nos tecidos (penas e sangue) das aves costeiras, ao longo de todo o monitoramento, foram o Cu, Pb, Mn, Cr, Hg, As e Cd. Houve uma destacada contribuição do Pb e Cu para a composição do IBR Bioacumulação das aves costeiras coletadas no Setor A, sendo o Pb um metal considerado altamente tóxico (Lokeshappa et al., 2012; Selvi et al., 2019). No Setor B, destaca-se a importante contribuição do Mn, Cr, Zn e Fe, nutrientes essenciais à vida, na composição do IBR Bioacumulação dos tecidos das aves costeiras. Por sua vez, no Setor C, o destaque na composição deste índice para todas as Campanhas realizadas é atribuído ao Hg, As, Cd e Pb, todos estes sendo elementos considerados muito tóxicos à biota aquática.

3.2 ÍNDICE DE RESPOSTA BIOLÓGICA (IBR BIOMARCADOR)

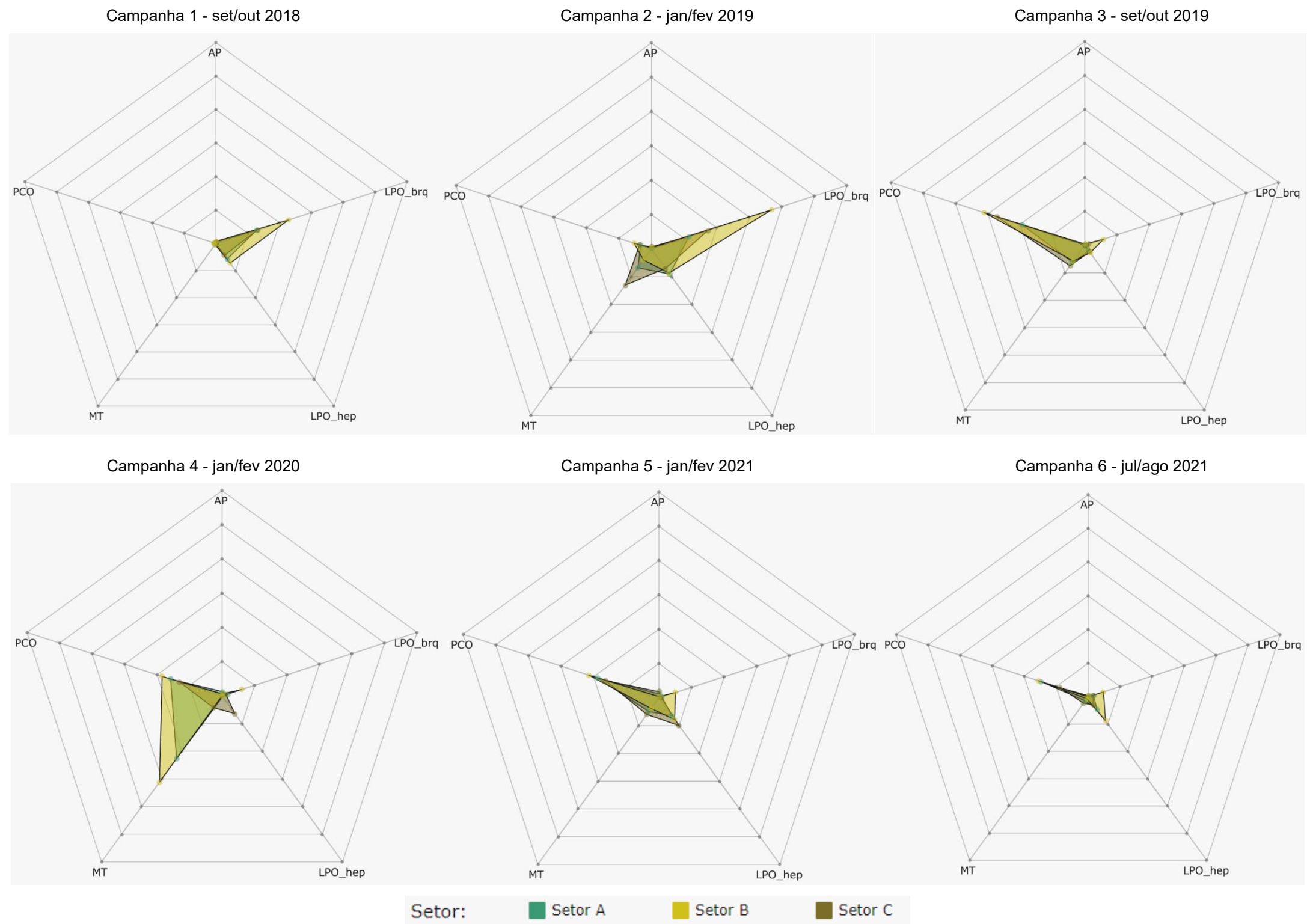
Figura 9: Valores médios do Índice de Resposta Biológica (IBR Biomarcador) determinados para amostras de tecidos (brânquias, hepatopâncreas, músculo e hemolinfa) de caranguejo do manguezal coletadas durante a Campanha 1 (set/out 2018 – período seco), Campanha 2 (jan/fev 2019 – período chuvoso), Campanha 3 (set/out 2019 – período seco), Campanha 4 (jan/fev 2020 – período chuvoso), Campanha 5 (jan/fev 2021 – período chuvoso), Campanha 6 (jul/ago 2021 – período seco), Campanha 7 (mar 2022 – período chuvoso), Campanha 8 (set/out 2022 – período seco), Campanha 9 (jan/fev 2023 – período chuvoso), Campanha 10 (jun/jul 2023 - período seco), Campanha 11 (jan 2024 – período chuvoso), Campanha 12 (jul 2024 - período seco) e Campanha 13 (jan/fev 2025 – período chuvoso). A ausência do monitoramento em ago/set 2020 – período seco, entre as Campanhas 4 e 5, foi devida a pandemia da COVID-19. Classificação por Setores e por Estações de coleta: Setor A [Revis Santa Cruz 1 (RSC1 – até a Campanha 12), Revis Santa Cruz 2 (RSC2 – até a Campanha 12) e Confluência do Piraquê-Açu e Mirim (PAM)]; Setor B [foz do Rio Doce em Regência (FRG)] e Setor C [Rio Urussuquara (RUR – até a Campanha 12), Rio Mariricu (RMA – até a Campanha 12), Rio São Mateus (RSM – até a Campanha 12), Rio Caravelas (RCA – até a Campanha 12), Barra Nova (BN2D – a partir da Campanha 13) e São Mateus (SM2FE – a partir da Campanha 13)]. As linhas verticais em preto representam o desvio padrão. Cabe destacar que a partir da campanha 9, a hemolinfa de caranguejos de praia e mangue deixou de ser coletada e a determinação de Sítio AP passou a ser realizada no músculo destes animais.



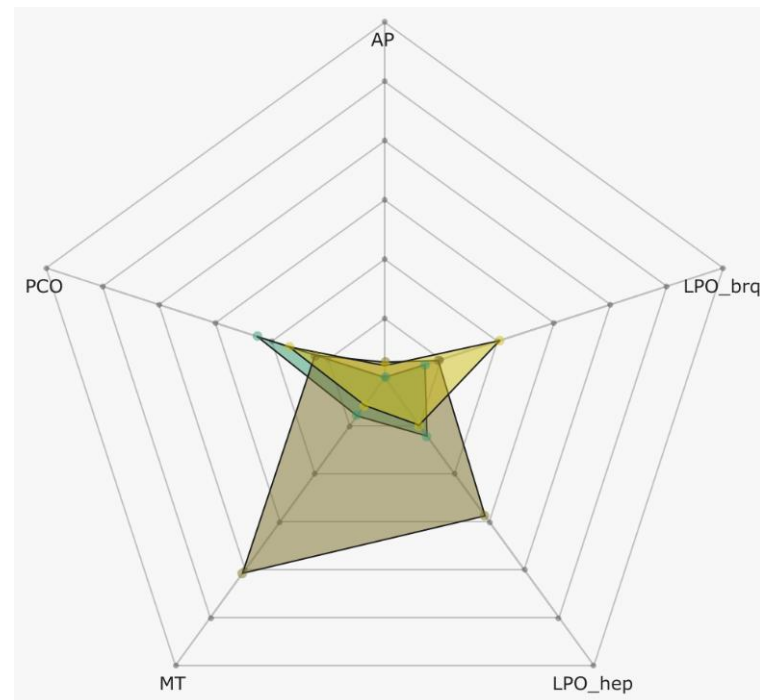
Na comparação temporal global feita a partir da avaliação do IBR Biomarcador para o caranguejo do manguezal, apresentada na Figura 9, é possível observar valores mais proeminentes deste índice no Setor B (FRG), com exceção das Campanhas 7, 11 e 13, nas quais os maiores valores do IBR Biomarcador foram observados no Setor C.

As Campanhas 7 e 10 se destacaram por apresentarem os maiores valores do IBR Biomarcador, indicando a presença de um significativo impacto fisiológico, já que os biomarcadores responsáveis pela geração deste índice refletem estresse oxidativo (lipoperoxidação e proteínas carboniladas), ativação de mecanismos celulares de proteção contra metais e metalóides (metalotioneínas) e danos ao DNA (sítios AP). Além disso, quando os dados do IBR Biomarcador são comparados com aqueles apresentados na Figura 1 (IBR Bioacumulação em caranguejos do manguezal), é possível notar que o comportamento dos dois índices é semelhante durante a Campanha 7, sugerindo uma forte correlação entre os impactos observados em termos das respostas dos biomarcadores com a acumulação dos metais e metalóides analisados, sugerindo uma possível relação de causa/efeito. Neste contexto, vale ressaltar que os valores do IBR Biomarcador reduziram a partir da Campanha 11, chegando a níveis mais baixos na Campanha 13, reforçando o caráter transitório dos impactos observados nas Campanhas 7 e 10.

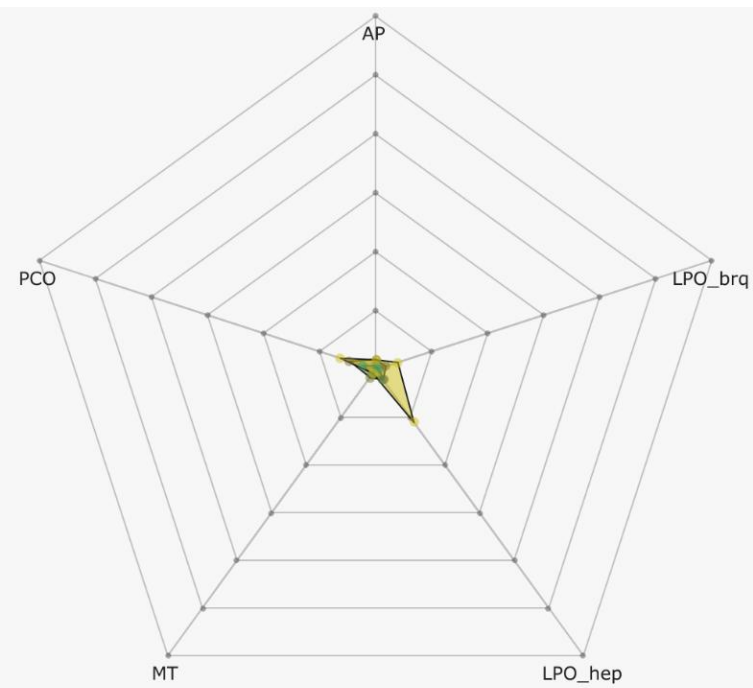
Figura 10: Gráficos de radar obtidos a partir dos valores médios do Índice de Resposta Biológica (IBR Biomarcador) determinados para amostras de tecidos de caranguejo do manguezal coletadas durante a Campanha 1 (set/out 2018 – período seco), Campanha 2 (jan/fev 2019 – período chuvoso), Campanha 3 (set/out 2019 – período seco), Campanha 4 (jan/fev 2020 – período chuvoso), Campanha 5 (jan/fev 2021 – período chuvoso), Campanha 6 (jul/ago 2021 – período seco), Campanha 7 (mar 2022 – período chuvoso), Campanha 8 (set/out 2022 – período seco), Campanha 9 (jan/fev 2023 – período chuvoso), Campanha 10 (jun/jul 2023 - período seco), Campanha 11 (jan 2024 – período chuvoso), Campanha 12 (jul 2024 - período seco) e Campanha 13 (jan/fev 2025 – período chuvoso). A ausência do monitoramento em ago/set 2020 – período seco, entre as Campanhas 4 e 5, foi devida a pandemia da COVID-19. Os biomarcadores analisados foram: lipoperoxidação nas brânquias (LPO_brq) e no hepatopâncreas (LPO_hep); concentração de metalotioneínas no hepatopâncreas (MT); proteínas carboniladas no músculo (PCO); e níveis de sítios AP (apurínicos/apirimídicos) da Campanha 1 à 8 na hemolinfa e a partir da Campanha 9 no músculo (AP). Classificação por Setores e por Estações de coleta: Setor A [Revis Santa Cruz 1 (RSC1 – até a Campanha 12), Revis Santa Cruz 2 (RSC2 – até a Campanha 12) e Confluência do Piraquê-Açu e Mirim (PAM)]; Setor B [foz do Rio Doce em Regência (FRG)] e Setor C [Rio Urussuquara (RUR – até a Campanha 12), Rio Mariricu (RMA – até a Campanha 12), Rio São Mateus (RSM – até a Campanha 12), Rio Caravelas (RCA – até a Campanha 12), Barra Nova (BN2D – a partir da Campanha 13) e São Mateus (SM2FE – a partir da Campanha 13)].



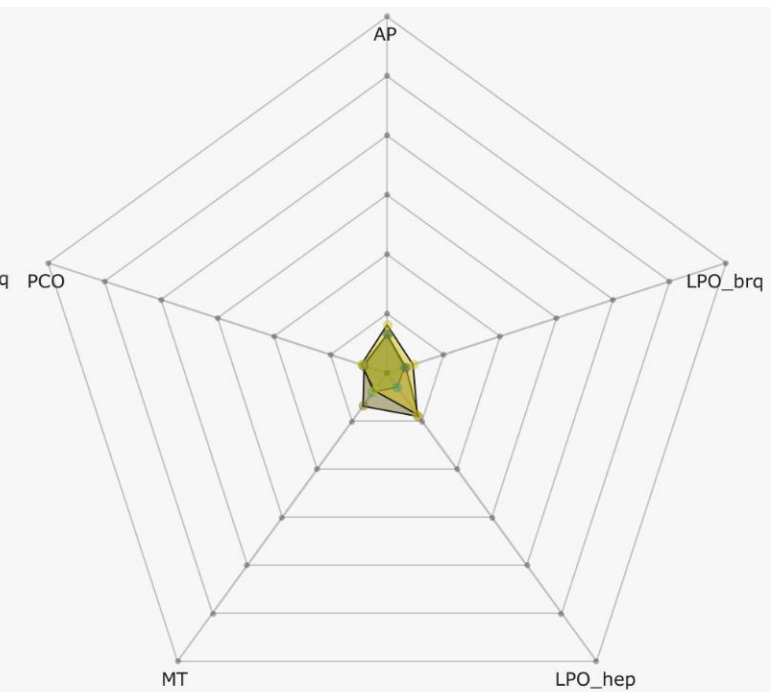
Campanha 7 - mar 2022



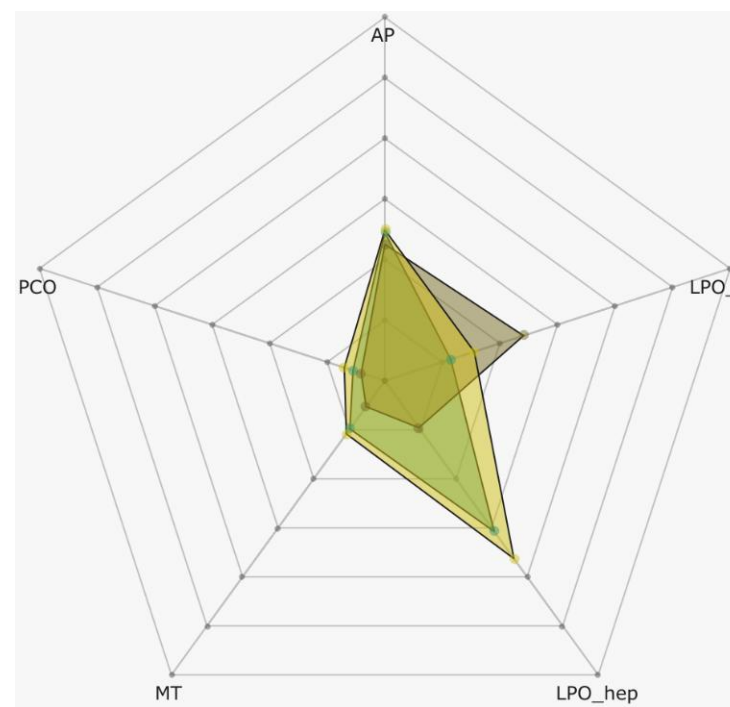
Campanha 8 - set/out 2022



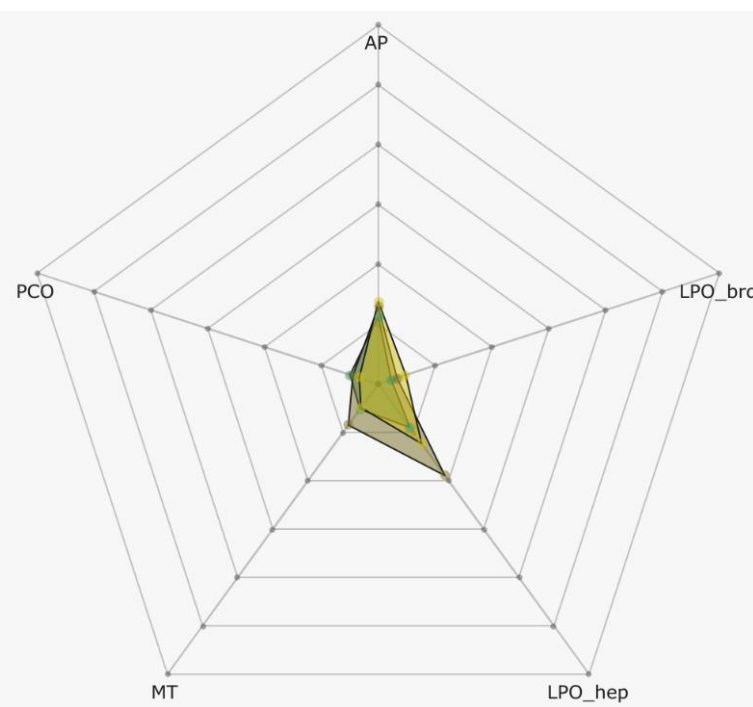
Campanha 9 – jan/fev 2023



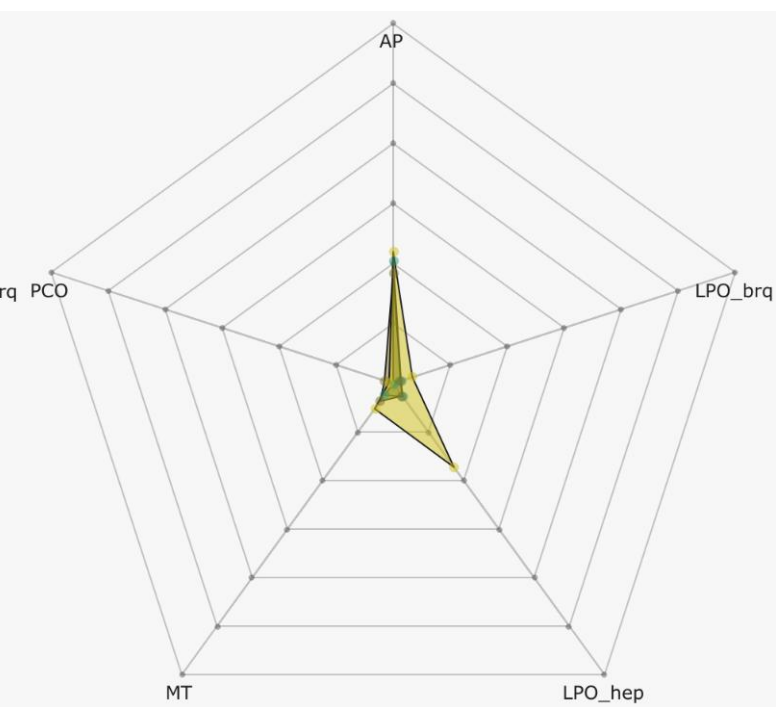
Campanha 10 - jun/jul 2023



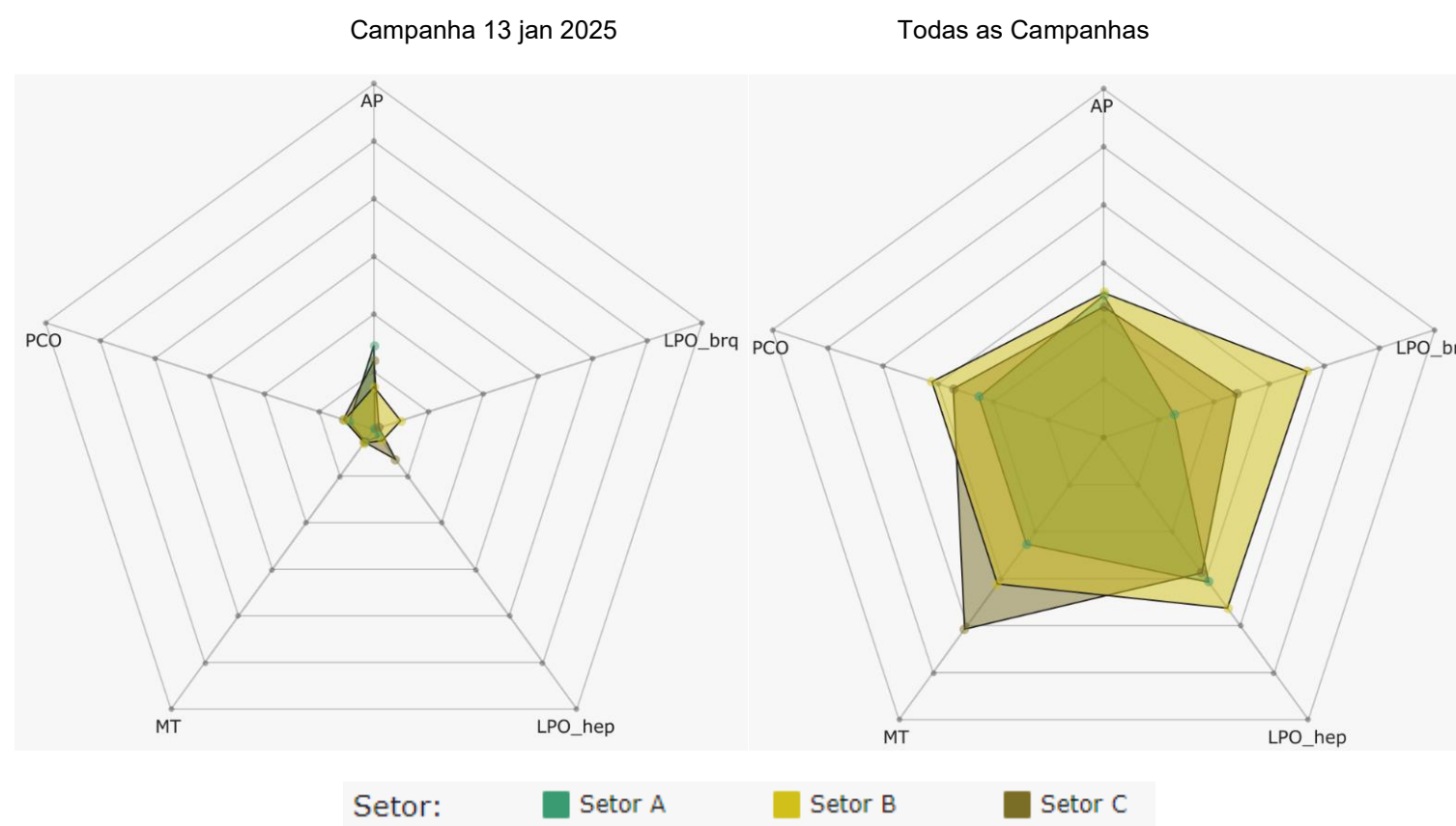
Campanha 11 - jan 2024



Campanha 12 – Jul 2024



Setor: ■ Setor A ■ Setor B ■ Setor C

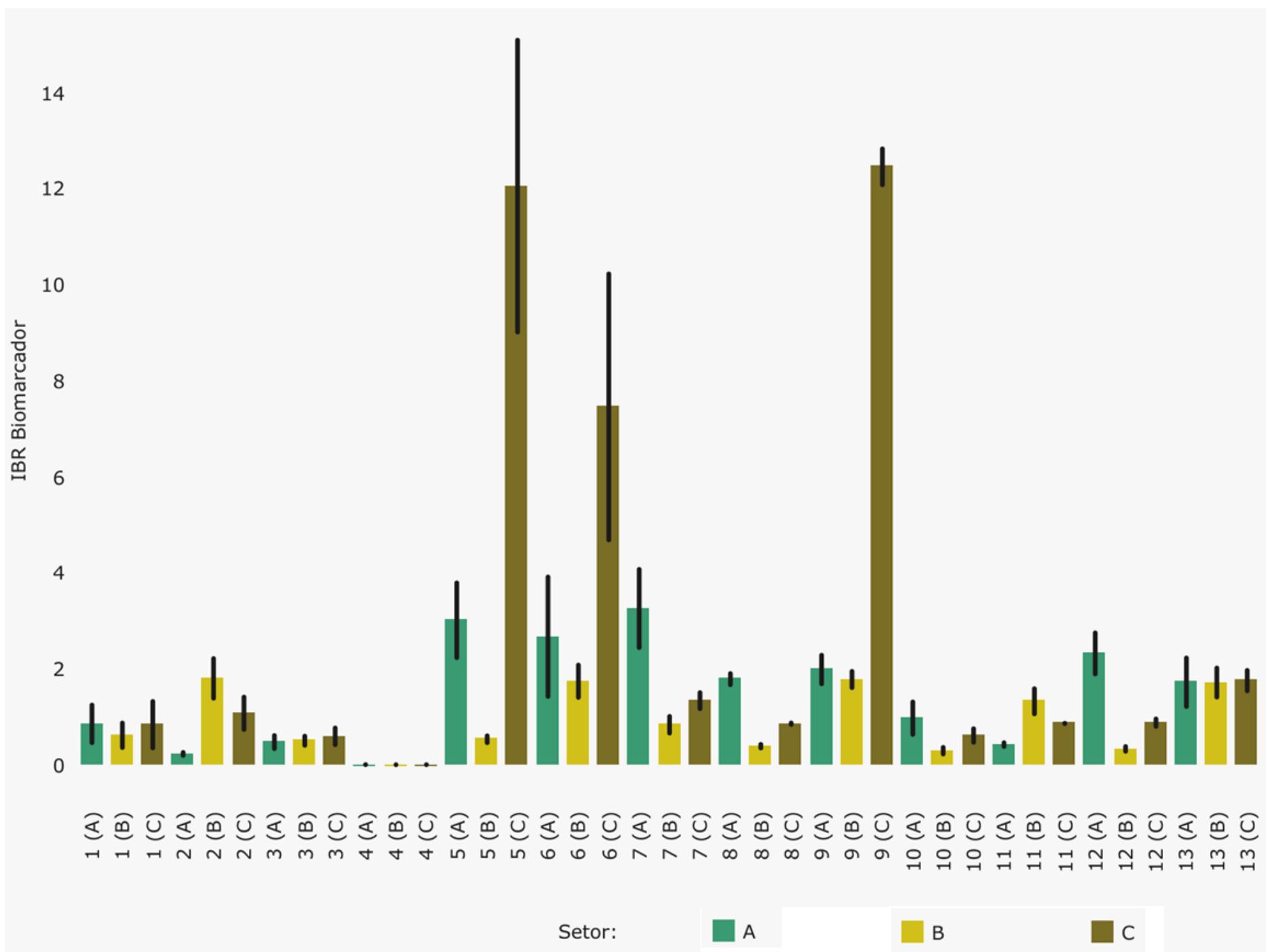


Os gráficos de radar apresentados na Figura 10 mostram que a Campanha 7 foi uma das Campanhas que apresentaram os maiores valores de IBR Biomarcador, bem como uma das maiores diversidades de biomarcadores compondo este índice. No Setor A e B, os biomarcadores que compuseram o índice foram o PCO, LPO_hep, MT e LPO_brq. Já no Setor C, o IBR Biomarcador foi principalmente composto por MT e LPO_hep e, em menor escala, PCO e LPO_brq.

Por sua vez, a Campanha 10 foi a que apresentou os maiores valores do IBR Biomarcador e uma das Campanhas que contou com uma das maiores diversidades de biomarcadores na composição deste índice, incluindo o biomarcador AP. Assim como na Campanha 7, os Setores A e B apresentaram padrões semelhantes com os biomarcadores LPO_hep, AP, LPO_brq, MT e PCO compondo principalmente o índice, em ordem decrescente. Já o IBR Biomarcador do Setor C apresentou relação com os biomarcadores sítios AP, LPO_brq e LPO_hep, com picos de valores nos biomarcadores sítios AP e LPO_hep.

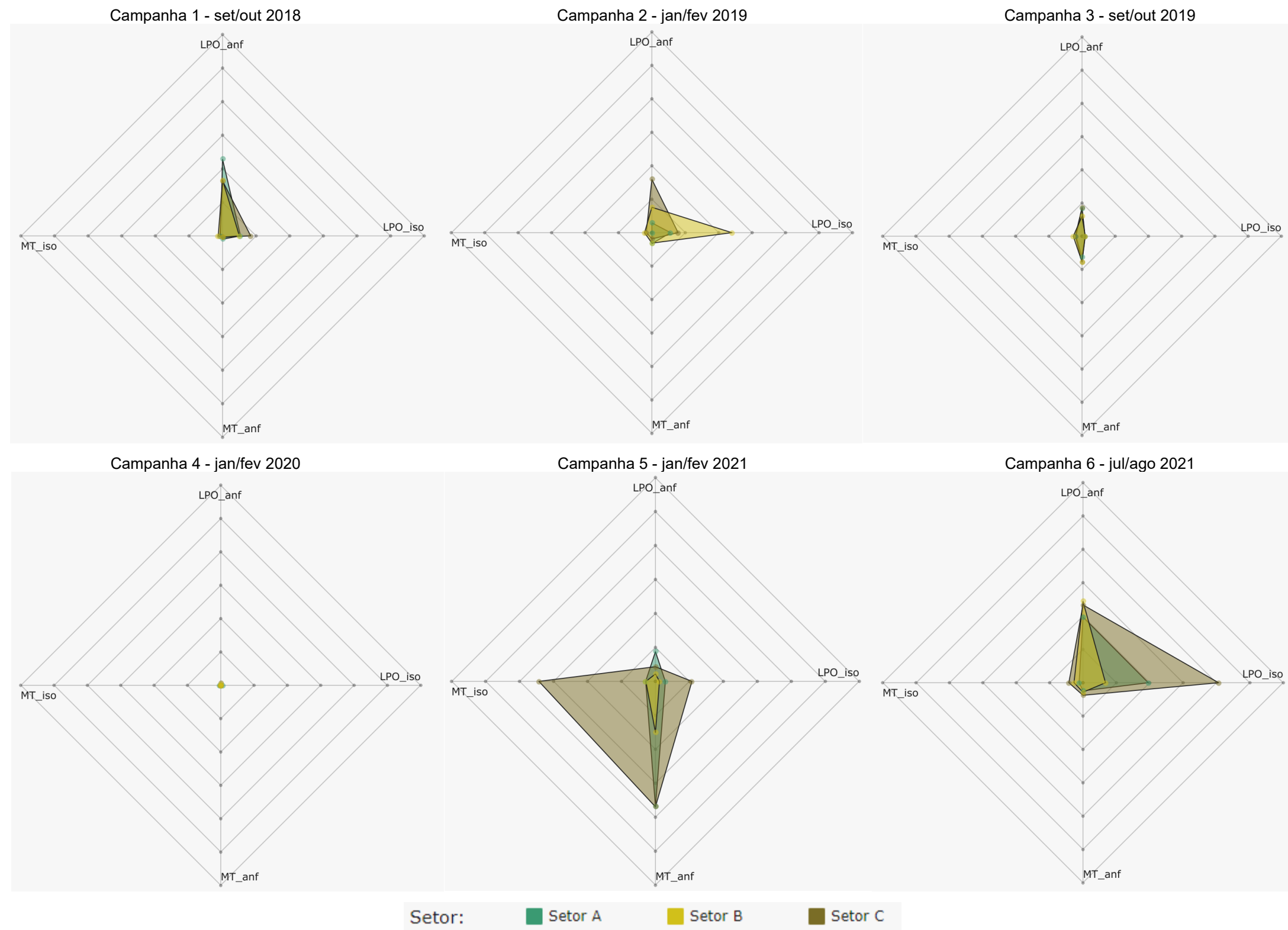
De maneira geral, o IBR Biomarcador das primeiras Campanhas, até a Campanha 7 tiveram importante influência dos biomarcadores LPO_brq e PCO. A partir da Campanha 8 observou-se uma maior contribuição do biomarcador LPO_hep, sobretudo nas Campanhas 10, 11 e 12. Pôde-se observar que nas duas primeiras Campanhas, em todos os Setores avaliados, os valores do IBR Biomarcador se concentraram nos biomarcadores LPO_hep e LPO_brq, indicando a presença de estresse oxidativo nos indivíduos analisados. A contribuição pronunciada do biomarcador MT aparece ao longo do monitoramento (Campanhas 2, 4, 7 e 10), com destaque nas Campanhas 4 e 7, onde seus valores são altos. Logo, isto indica que há uma acumulação considerável de metais e As nos tecidos dos caranguejos, já que as MT estão relacionadas com a proteção contra os danos oxidativos resultantes da exposição excessiva a metais e As (Saux et al., 2020; Wang et al., 2014). Por fim, denota-se o surgimento de valores relevantes de sítios AP a partir da Campanha 9 até a Campanha 13, demonstrando assim uma ocorrência importante de danos, especialmente oxidativos, no material genético dos organismos analisados. O fato de observarmos aumento na relevância relativa deste biomarcador nas últimas Campanhas realizadas pode refletir a característica acumulativa deste tipo de dano.

Figura 11: Valores médios do Índice de Resposta Biológica (IBR Biomarcador) determinados para amostras de pequenos invertebrados da praia (anfípodos e isópodos) coletadas durante a Campanha 1 (set/out 2018 – período seco), Campanha 2 (jan/fev 2019 – período chuvoso), Campanha 3 (set/out 2019 – período seco), Campanha 4 (jan/fev 2020 – período chuvoso), Campanha 5 (jan/fev 2021 – período chuvoso), Campanha 6 jul/ago 2021 – período seco), Campanha 7 (mar 2022 – período chuvoso), Campanha 8 (set/out 2022 – período seco), Campanha 9 (jan/fev 2023 – período chuvoso), Campanha 10 (jun/jul 2023 - período seco), Campanha 11 (jan 2024 – período chuvoso), Campanha 12 (jul 2024 - período seco) e Campanha 13 (jan/fev 2025 – período chuvoso). A ausência do monitoramento em ago/set 2020 – período seco, entre as Campanhas 4 e 5, foi devida a pandemia da COVID-19. Classificação por Setores e por Estações de coleta: Setor A [Aracruz – Refúgio (ARR – até a Campanha 12), Aracruz – Putiri (ARP – até a Campanha 12 e S3 – a partir da Campanha 13) e Praia Formosa (S2 – a partir da Campanha 13)]; Setor B [Comboios (DSC – até a Campanha 12, S6 – a partir da Campanha 13), Regência (DSR – até a Campanha 12, S7 – a partir da Campanha 13), Povoação (DNP – até a Campanha 12, N1 – a partir da Campanha 13) e Terra Indígena (S5 – a partir da Campanha 13)] e Setor C [Vila de Cacimbas (DNC – até a Campanha 12), Pontal do Ipiranga (DNPI – até a Campanha 12), Urussuquara (DNU – até a Campanha 12), Guriri (DNG – até a Campanha 12 e N5 – a partir da Campanha 13), Degredo (N2 – a partir da Campanha 13), Barra Nova (N4 – a partir da Campanha 13) e Itaúnas (N6 – a partir da Campanha 13)]. As linhas verticais em preto representam o desvio padrão.

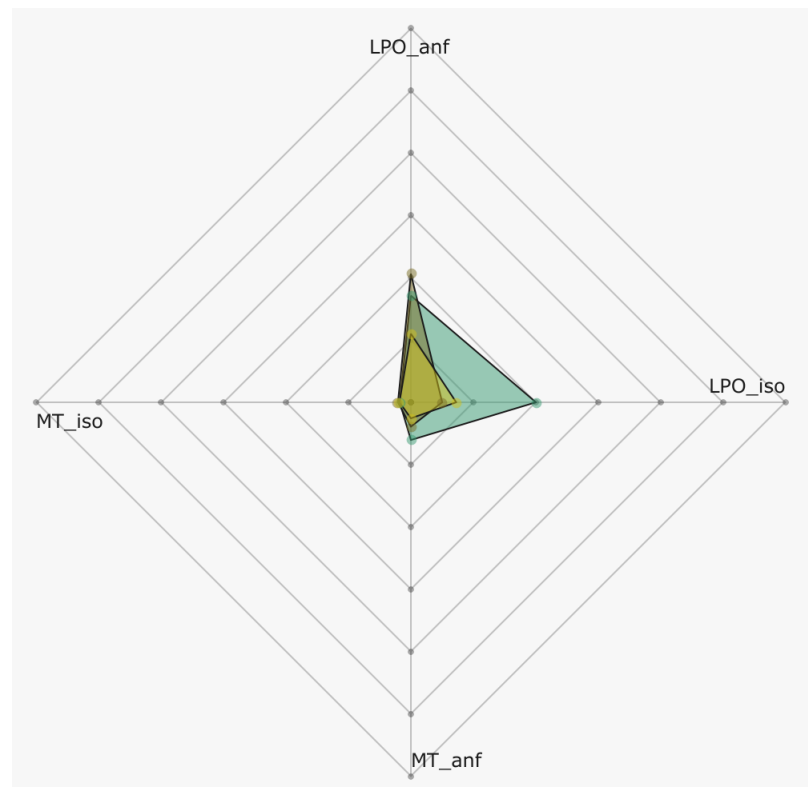


A partir do gráfico de valores médios do Índice de Resposta Biológica (IBR Biomarcador) na Figura 11 observa-se que há uma tendência de estabilização nos valores de IBR Biomarcador nos pequenos invertebrados da praia ao longo do período de monitoramento, salvo para o Setor C, o qual demonstrou aumento relevante nos valores do índice nas Campanhas 5, 6 e 9. Os valores de IBR Biomarcador no Setor C foram mais elevados em relação ao Setor A e, por fim B. Com base nos resultados obtidos, sugere-se que o estresse fisiológico observado nos pequenos invertebrados da praia foi maior nos indivíduos coletados no Setor C, seguido pelo Setor A, com destaque principalmente para aqueles oriundos do Setor C nas Campanhas 5, 6 e 9.

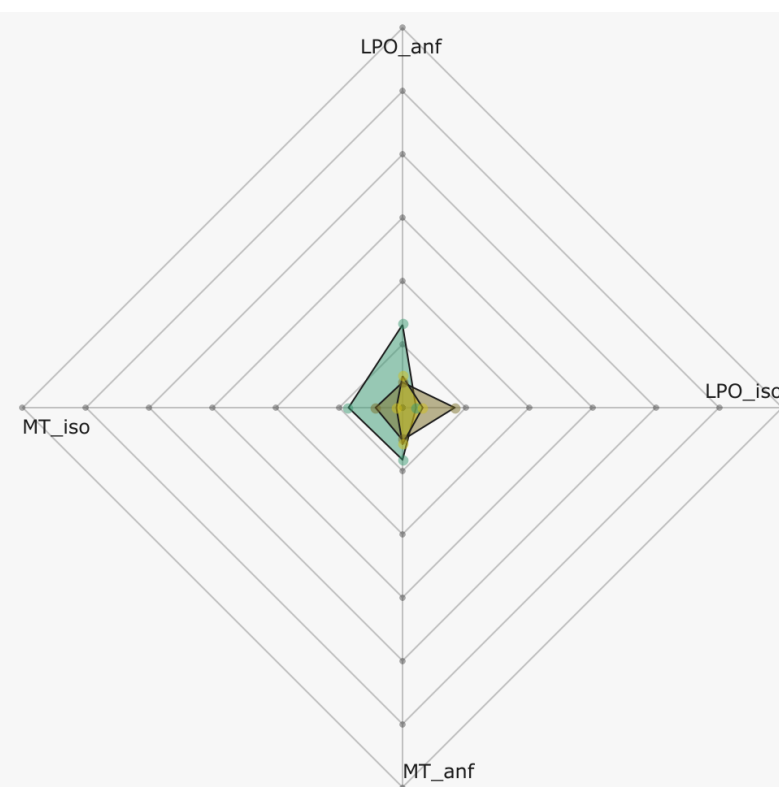
Figura 12: Gráficos de radar obtidos a partir dos valores médios do Índice de Resposta Biológica (IBR Biomarcador) determinados para amostras de pequenos invertebrados da praia [anfípodas (_anf) e isópodos(_iso)] coletadas durante a Campanha 1 (set/out 2018 – período seco), Campanha 2 (jan/fev 2019 – período chuvoso), Campanha 3 (set/out 2019 – período seco), Campanha 4 (jan/fev 2020 – período chuvoso), Campanha 5 (jan/fev 2021 – período chuvoso), Campanha 6 (jul/ago 2021 – período seco), Campanha 7 (mar 2022 – período chuvoso), Campanha 8 (set/out 2022 – período seco), Campanha 9 (jan/fev 2023 – período chuvoso), Campanha 10 (jun/jul 2023 - período seco), Campanha 11 (jan 2024 – período chuvoso), Campanha 12 (jul 2024 - período seco) e Campanha 13 (jan/fev 2025 – período chuvoso). A ausência do monitoramento em ago/set 2020 – período seco, entre as Campanhas 4 e 5, foi devida a pandemia da COVID-19. Os biomarcadores analisados foram: lipoperoxidação (LPO); e concentração de metalotioneínas (MT). Classificação por Setores e por Estações de coleta: Setor A [Aracruz – Refúgio (ARR – até a Campanha 12), Aracruz – Putiri (ARP – até a Campanha 12 e S3 – a partir da Campanha 13) e Praia Formosa (S2 – a partir da Campanha 13)]; Setor B [Comboios (DSC – até a Campanha 12, S6 – a partir da Campanha 13), Regência (DSR – até a Campanha 12, S7 – a partir da Campanha 13), Povoação (DNP – até a Campanha 12, N1 – a partir da Campanha 13) e Terra Indígena (S5 – a partir da Campanha 13)] e Setor C [Vila de Cacimbas (DNC – até a Campanha 12), Pontal do Ipiranga (DNPI – até a Campanha 12), Urussuquara (DNU – até a Campanha 12), Guriri (DNG – até a Campanha 12 e N5 – a partir da Campanha 13), Degredo (N2 – a partir da Campanha 13), Barra Nova (N4 – a partir da Campanha 13) e Itaúnas (N6 – a partir da Campanha 13)].



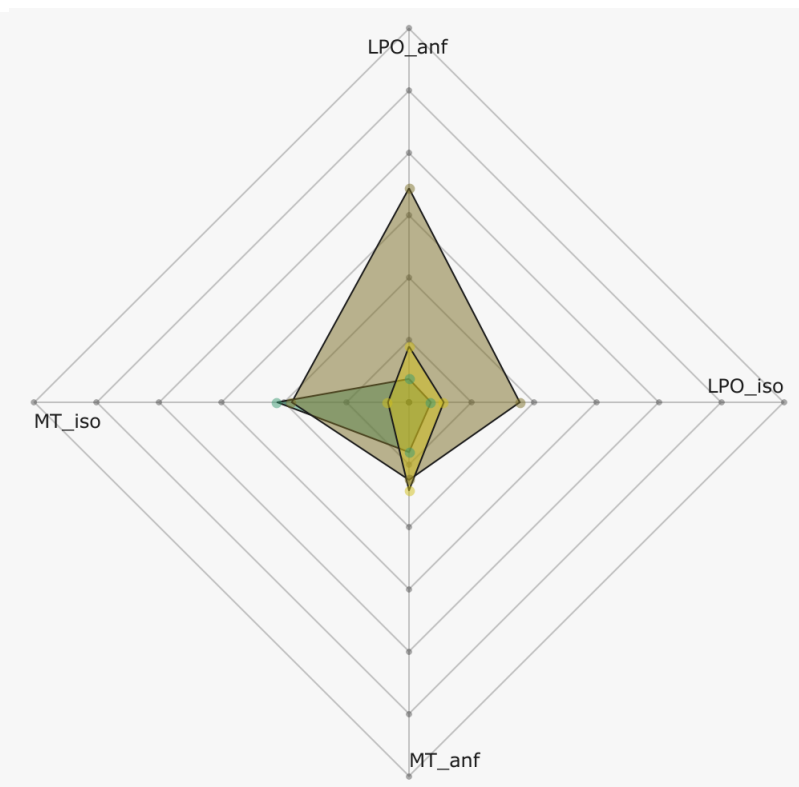
Campanha 7 - mar 2022



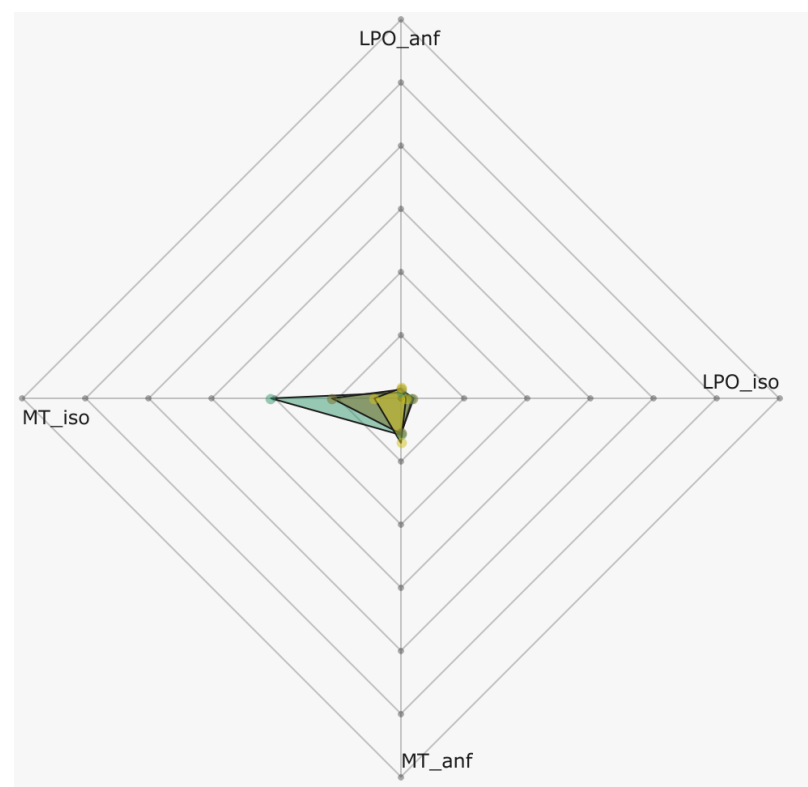
Campanha 8 - set/out 2022



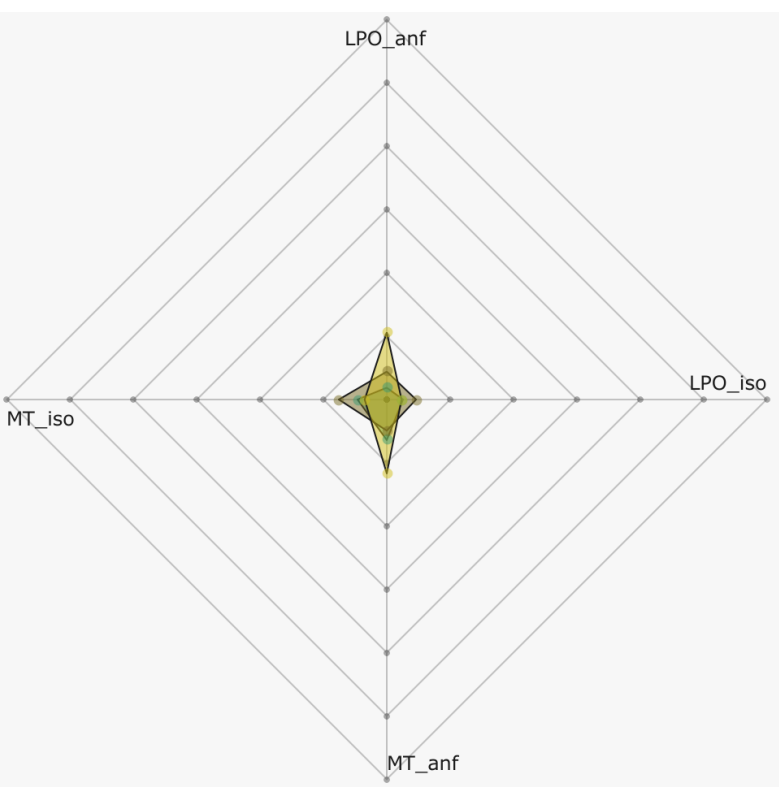
Campanha 9 – jan/fev 2023



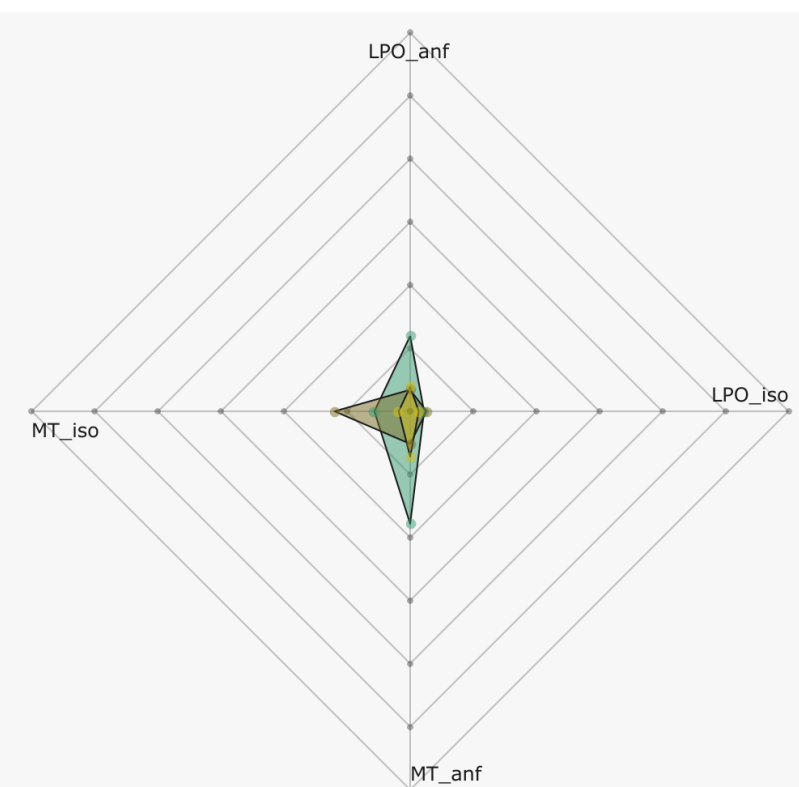
Campanha 10 - jun/jul 2023



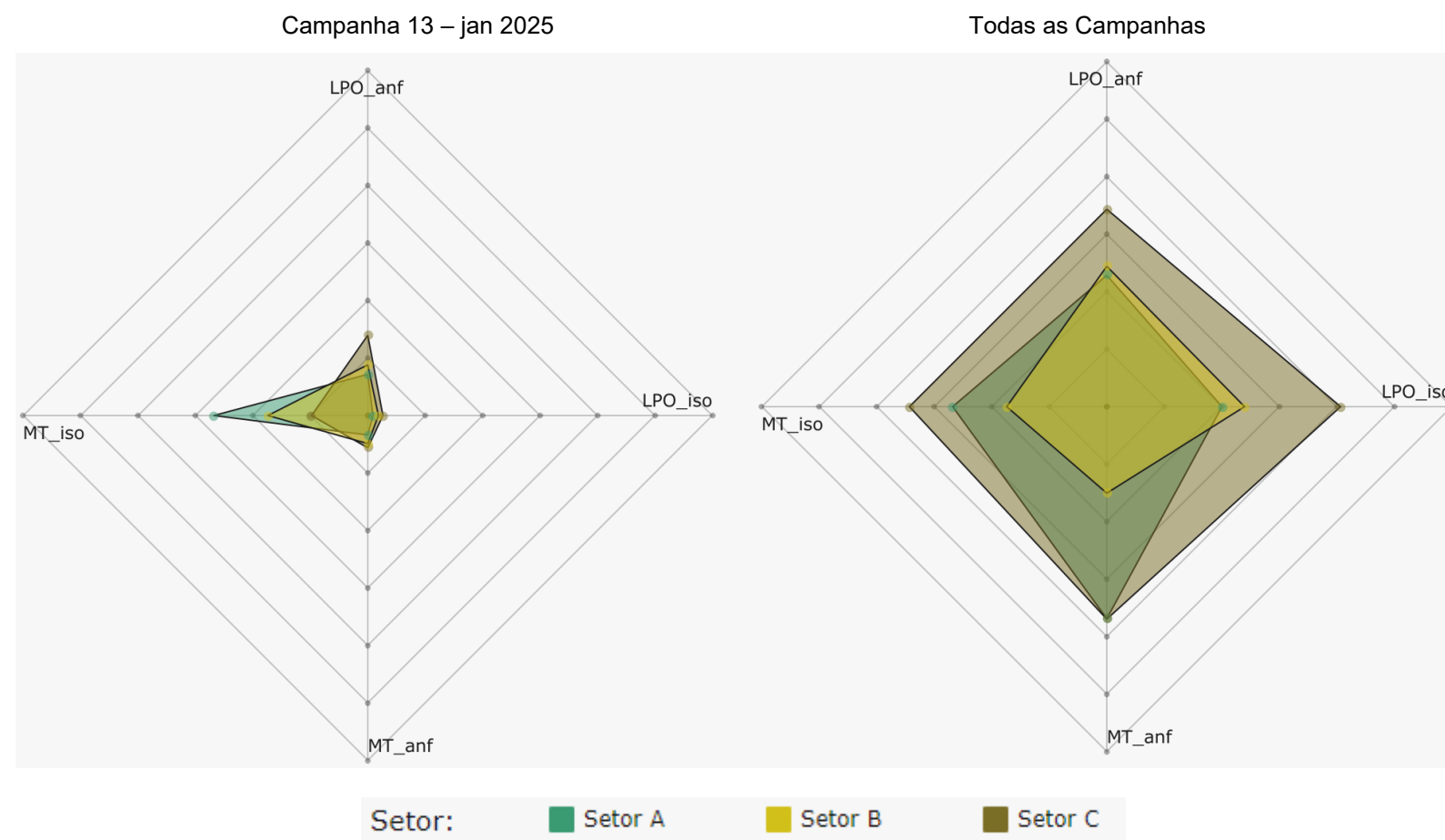
Campanha 11 - jan 2024



Campanha 12 – jul 2024



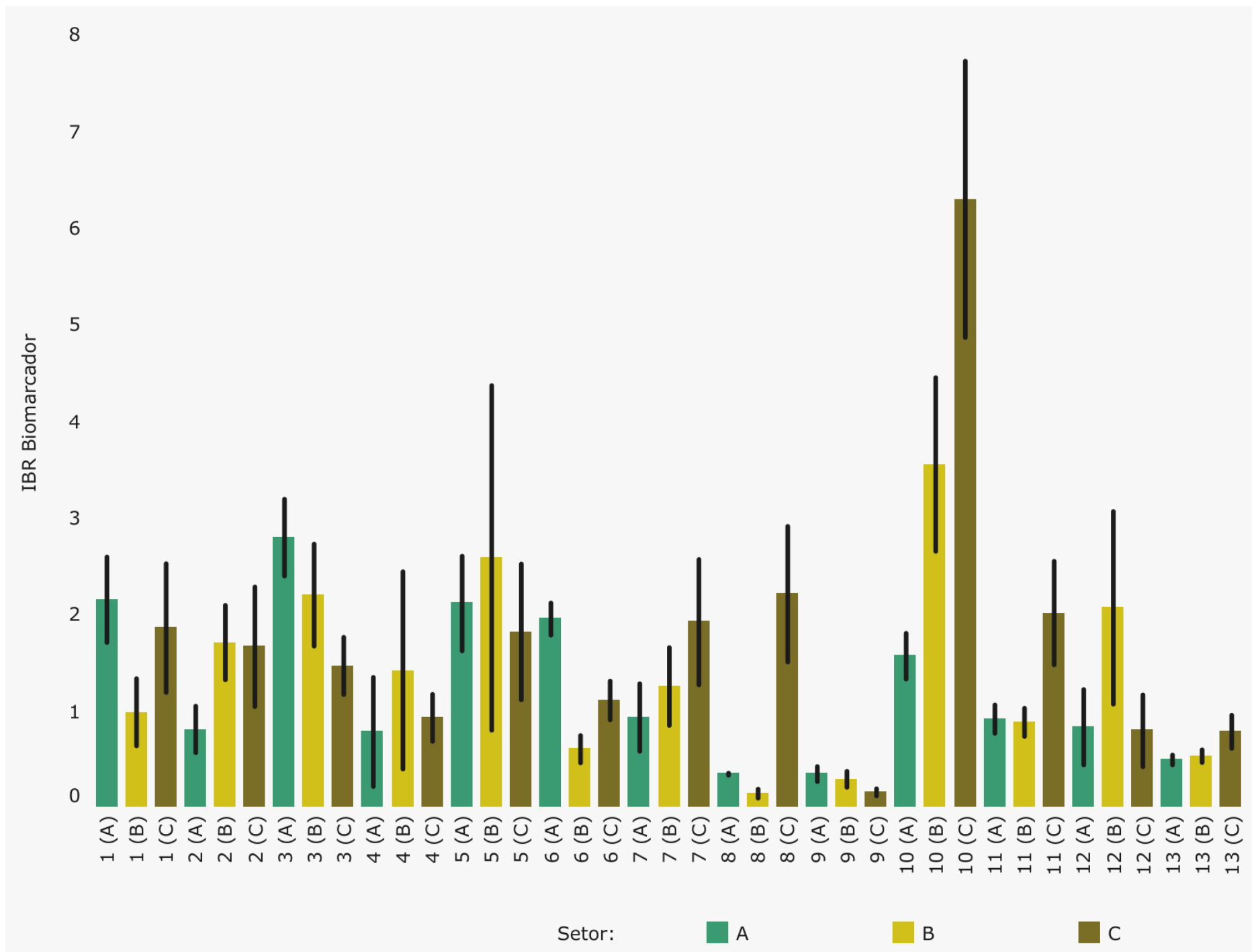
Setor: ■ Setor A ■ Setor B ■ Setor C



Os gráficos de radar apresentados na Figura 12 mostram que as Campanhas 5, 6 e 9 foram aquelas que apresentaram os maiores valores do IBR Biomarcador. Com relação à Campanha 5, o valor do IBR Biomarcador no Setor A esteve associado com os biomarcadores LPO (LPO_anf) e MT em anfípodos (MT_anf), com destaque para os altos valores de contribuição do biomarcador MT. Por sua vez, o valor do índice no Setor B esteve relacionado principalmente com o biomarcador MT em anfípodos (MT_anf). Já os biomarcadores LPO em isópodos (LPO_iso) e MT em isópodos (MT_iso) e anfípodos (MT_anf) contribuíram para o valor do índice no Setor C, o qual apresentou os maiores valores do índice na Campanha 5. Neste caso, o biomarcador que se destacou, pelos seus altos picos de valores, foi a MT em isópodos e anfípodos. Na Campanha 6, nos três Setores avaliados, a contribuição para o IBR Biomarcador esteve concentrada no biomarcador LPO em anfípodos (LPO_anf) e isópodos (LPO_iso), sendo que o maior valor do índice foi observado no Setor C. Por fim, a Campanha 9 teve seu maior valor de IBR Biomarcador concentrado no Setor C, o qual teve as principais contribuições dos biomarcadores MT em anfípodos (MT_anf) e isópodos (MT_iso), bem como LPO em anfípodos (LPO_anf) e isópodos LPO_iso), com destaque para o biomarcador LPO em anfípodos (LPO_anf). Por sua vez, o valor do IBR Biomarcador no Setor A apresentou contribuição da MT em anfípodos (MT_anf) e isópodos (MT_iso), com destaque para a MT em anfípodos, e também da LPO em anfípodos (LPO_anf). Os biomarcadores LPO (LPO_anf) e MT em anfípodos (MT_anf) contribuíram para o valor do índice no Setor B, porém a MT se destacou pelos seus maiores valores de contribuição para a composição do índice.

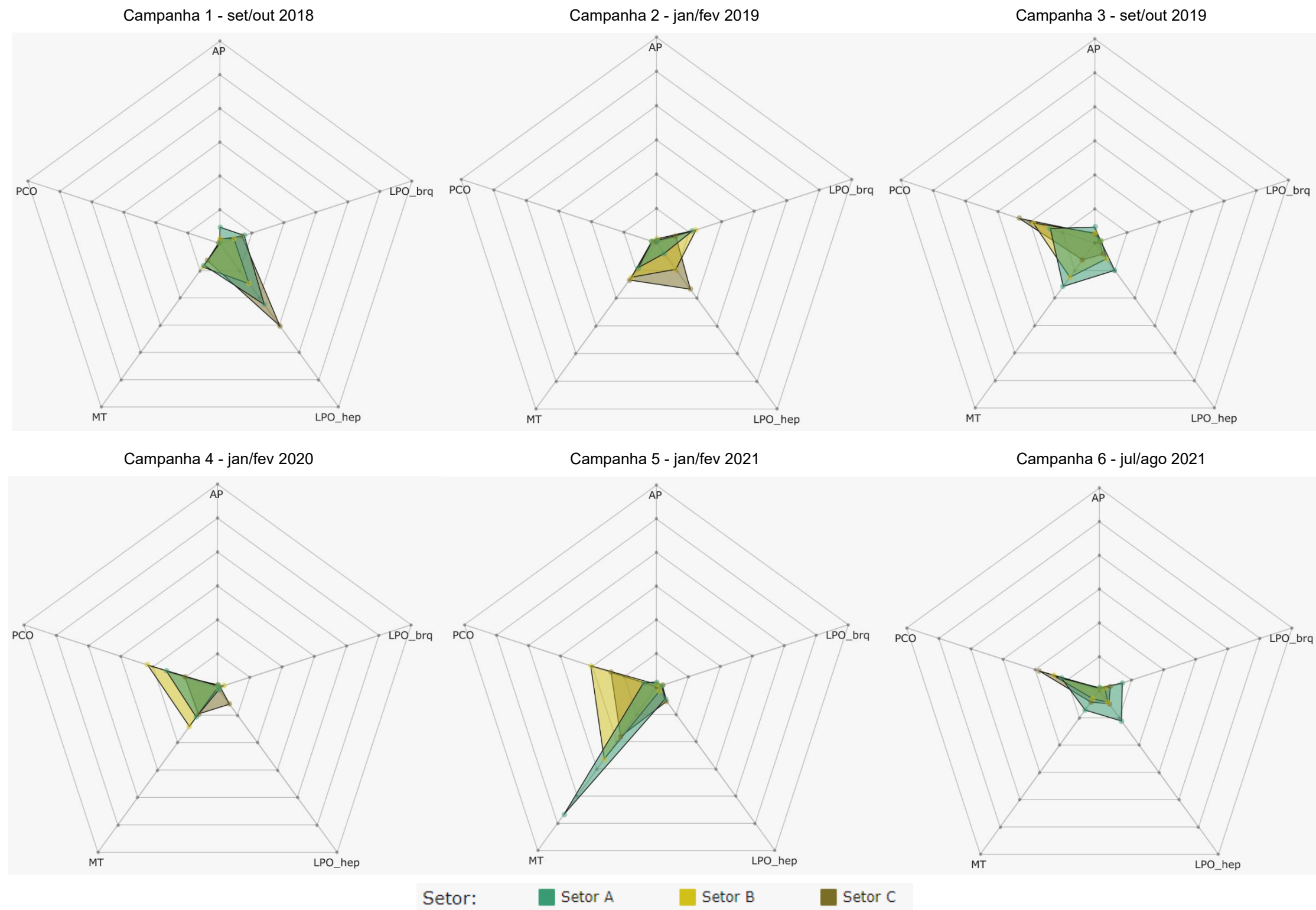
De maneira geral, o estresse oxidativo, representado pelo biomarcador LPO em anfípodos (LPO_anf) e em isópodos (LPO_iso) esteve presente na composição do IBR Biomarcador em todas as Campanhas realizadas, com exceção da Campanha 10, onde os valores do índice estiveram concentrados no biomarcador MT em isópodos (MT_iso), um parâmetro que indica a ativação de mecanismos celulares de proteção relacionados ao aumento de metais e metalóides. Além disso, é interessante notar que, a partir da Campanha 5, especialmente nas Campanhas 8, 9, 10, 11, 12 e 13, os valores de contribuição da MT para a composição do IBR Biomarcador começaram a se mostrar mais relevantes em todos os setores, mas principalmente no Setor A.

Figura 13: Valores médios do Índice de Resposta Biológica (IBR Biomarcador) determinados para amostras de tecidos (brânquias, hepatopâncreas, músculo e hemolinfa de caranguejo da praia coletadas durante a Campanha 1 (set/out 2018 – período seco), Campanha 2 (jan/fev 2019 – período chuvoso), Campanha 3 (set/out 2019 – período seco), Campanha 4 (jan/fev 2020 – período chuvoso), Campanha 5 (jan/fev 2021 – período chuvoso), Campanha 6 (jul/ago 2021 – período seco), Campanha 7 (mar 2022 – período chuvoso), Campanha 8 (set/out 2022 – período seco), Campanha 9 (jan/fev 2023 – período chuvoso), Campanha 10 (jun/jul 2023 - período seco), Campanha 11 (jan 2024 – período chuvoso), Campanha 12 (jul 2024 - período seco) e Campanha 13 (jan/fev 2025 – período chuvoso). A ausência do monitoramento em ago/set 2020 – período seco, entre as Campanhas 4 e 5, foi devida a pandemia da COVID-19. Classificação por Setores e por Estações de coleta: Setor A [Aracruz – Refúgio (ARR – até a Campanha 12), Aracruz – Putiri (ARP – até a Campanha 12 e S3 – a partir da Campanha 13) e Praia Formosa (S2 – a partir da Campanha 13)]; Setor B [Comboios (DSC – até a Campanha 12, S6 – a partir da Campanha 13), Regência (DSR – até a Campanha 12, S7 – a partir da Campanha 13), Povoação (DNP – até a Campanha 12, N1 – a partir da Campanha 13) e Terra Indígena (S5 – a partir da Campanha 13)] e Setor C [Vila de Cacimbas (DNC – até a Campanha 12), Pontal do Ipiranga (DNPI – até a Campanha 12), Urussuquara (DNU – até a Campanha 12), Guriri (DNG – até a Campanha 12 e N5 – a partir da Campanha 13), Degredo (N2 – a partir da Campanha 13), Barra Nova (N4 – a partir da Campanha 13) e Itaúnas (N6 – a partir da Campanha 13)]. As linhas verticais em preto representam o desvio padrão.

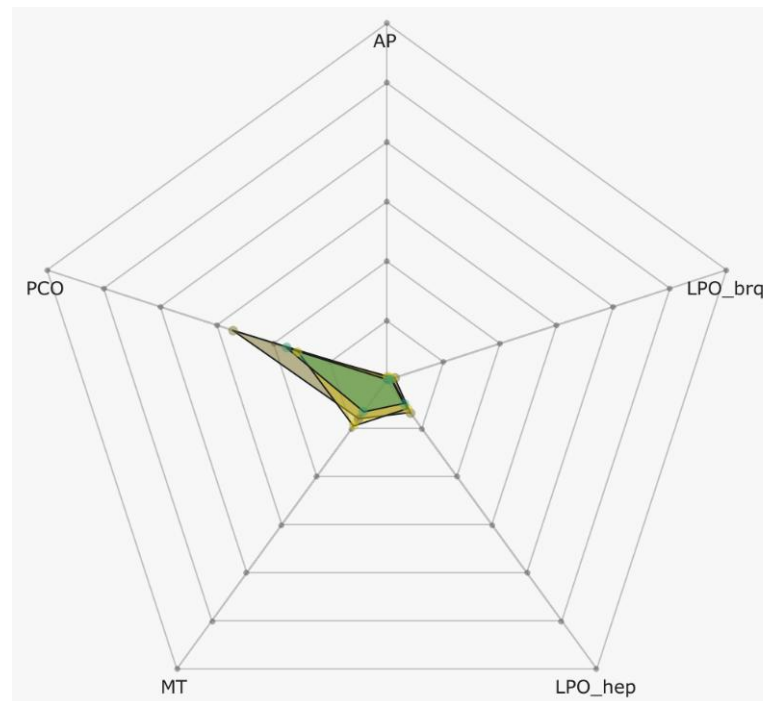


Comparando-se o gráfico de barras dos valores do IBR Biomarcador em caranguejos da praia (Figura 13) com aqueles do IBR Bioacumulação nestes animais (Figura 5), denota-se que as respostas bioquímicas analisadas não parecem estar associadas à bioacumulação dos contaminantes analisados nos tecidos dos caranguejos da praia. Além disso, embora haja uma tendência com relação à estabilização dos valores do IBR Biomarcador em todos os Setores avaliados ao longo do monitoramento, foi observado um pico no valor deste índice na Campanha 10, principalmente no Setor B, seguido pelo Setor C. A partir das informações geradas, é possível inferir que houve estresse fisiológico e, possivelmente, danos genéticos nos caranguejos analisados, com um aumento destes efeitos biológicos na Campanha 10, já que os biomarcadores responsáveis pela geração do IBR Biomarcador são aqueles que refletem o estresse oxidativo (lipoperoxidação – LPO e proteínas carboniladas - PCO), a proteção contra o efeito dos metais (metalotioneínas - MT) e os danos ao DNA (sítios AP), efeitos estes associados à contaminação ou perturbações no Ambiente Costeiro. Apesar disto, não foi observado evidente aumento na acumulação de metais e metalóides nestes animais durante a Campanha 10, o que pode sugerir a existência de condições estressantes adicionais. Em contextos especulativos, estas condições adicionais podem estar relacionadas a alterações em parâmetros climáticos, como a temperatura, ou até mesmo à presença de outros grupos de contaminantes, como àqueles do grupo dos orgânicos, como pesticidas. Cabe ressaltar que os valores do IBR Biomarcador voltaram a níveis basais nas Campanhas 11, 12 e 13. Mesmo assim, o Setor C segue sendo relativamente o mais impactado na Campanha 11 e Campanha 13, enquanto que o Setor B foi o mais impactado na Campanha 12.

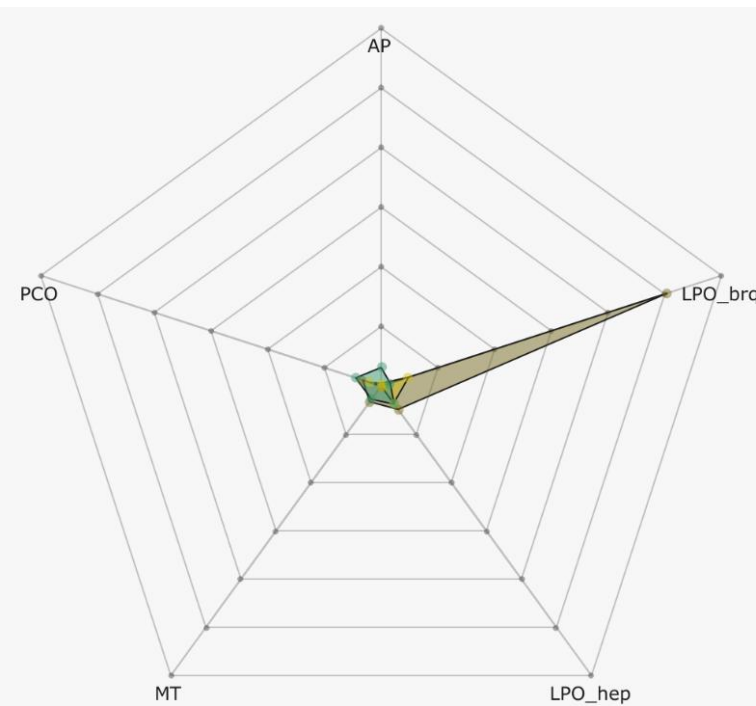
Figura 14: Gráficos de radar obtidos a partir dos valores médios do Índice de Resposta Biológica (IBR Biomarcador) determinados para amostras de tecidos de caranguejo da praia coletadas durante a Campanha 1 (set/out 2018 – período seco), Campanha 2 (jan/fev 2019 – período chuvoso), Campanha 3 (set/out 2019 – período seco), Campanha 4 (jan/fev 2020 – período chuvoso), Campanha 5 (jan/fev 2021 – período chuvoso), Campanha 6 jul/ago 2021 – período seco), Campanha 7 (mar 2022 – período chuvoso), Campanha 8 (set/out 2022 – período seco), Campanha 9 (jan/fev 2023 – período chuvoso), Campanha 10 (jun/jul 2023 - período seco), Campanha 11 (jan 2024 – período chuvoso), Campanha 12 (jul 2024 - período seco) e Campanha 13 (jan/fev 2025 – período chuvoso). A ausência do monitoramento em ago/set 2020 – período seco, entre as Campanhas 4 e 5, foi devida a pandemia da COVID-19. Os biomarcadores analisados foram: lipoperoxidação nas brânquias (LPO_brq) e no hepatopâncreas (LPO_hep); concentração de metalotioneínas no hepatopâncreas (MT); proteínas carboniladas no músculo (PCO); e níveis de sítios AP (apurínicos/apirimídicos) da Campanha 1 à 8 na hemolinfa e a partir da Campanha 9 no músculo (AP). Classificação por Setores e por Estações de coleta: Setor A [Aracruz – Refúgio (ARR – até a Campanha 12), Aracruz – Putiri (ARP – até a Campanha 12 e S3 – a partir da Campanha 13) e Praia Formosa (S2 – a partir da Campanha 13)]; Setor B [Comboios (DSC – até a Campanha 12, S6 – a partir da Campanha 13), Regência (DSR – até a Campanha 12, S7 – a partir da Campanha 13), Povoação (DNP – até a Campanha 12, N1 – a partir da Campanha 13) e Terra Indígena (S5 – a partir da Campanha 13)] e Setor C [Vila de Cacimbas (DNC – até a Campanha 12), Pontal do Ipiranga (DNPI – até a Campanha 12), Urussuquara (DNU – até a Campanha 12), Guriri (DNG – até a Campanha 12 e N5 – a partir da Campanha 13), Degredo (N2 – a partir da Campanha 13), Barra Nova (N4 – a partir da Campanha 13) e Itaúnas (N6 – a partir da Campanha 13)].



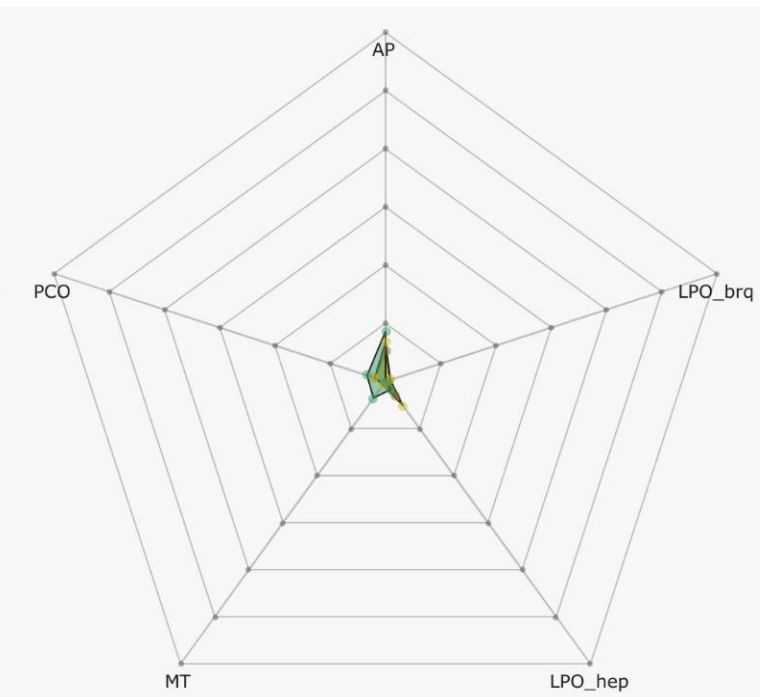
Campanha 7 - mar 2022



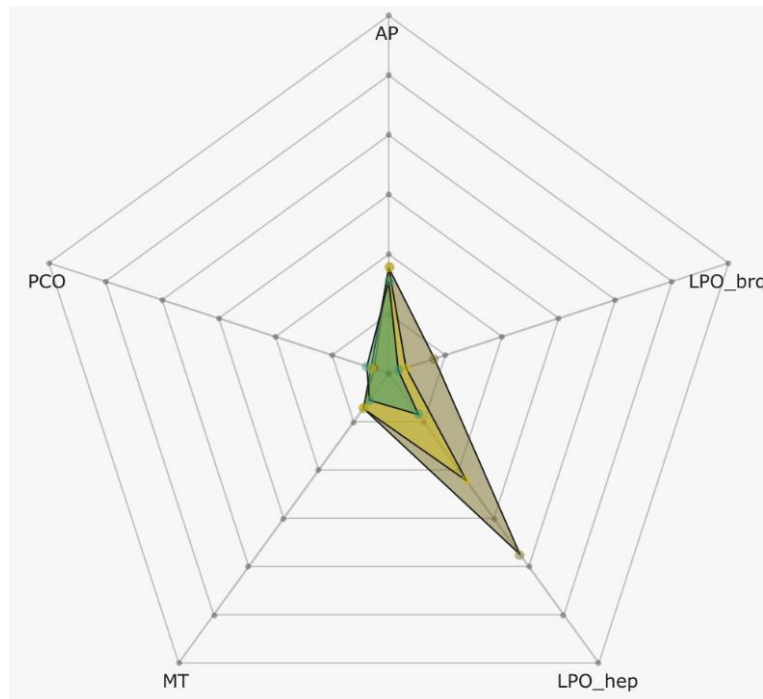
Campanha 8 - set/out 2022



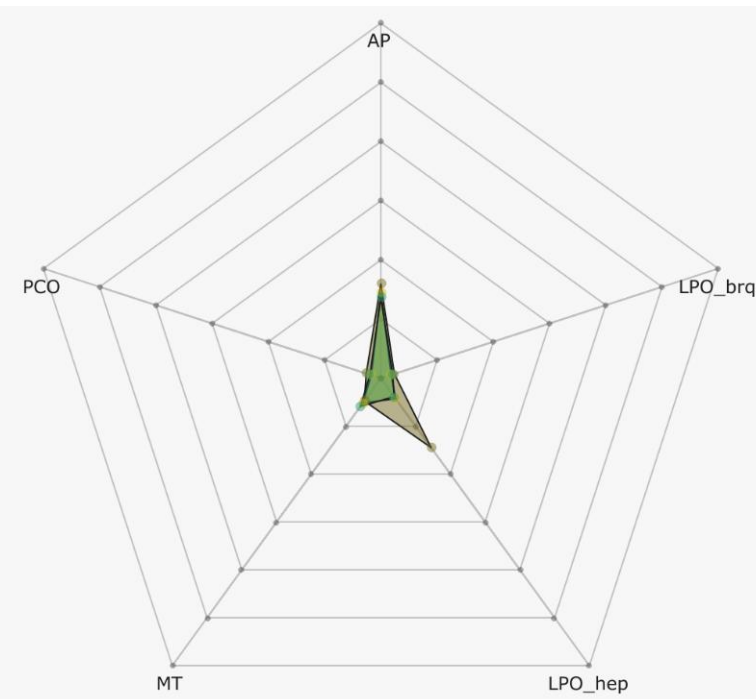
Campanha 9 – jan/fev 2023



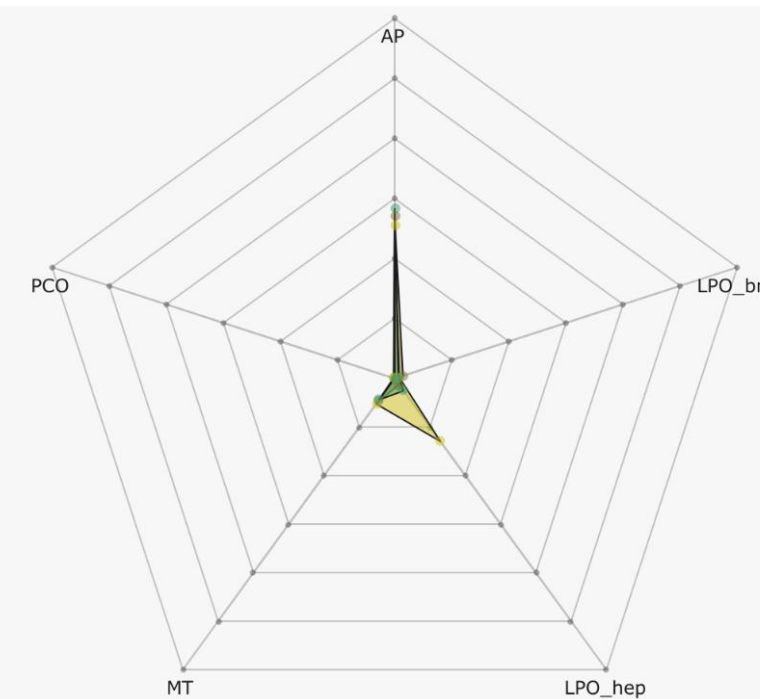
Campanha 10 - jun/jul 2023



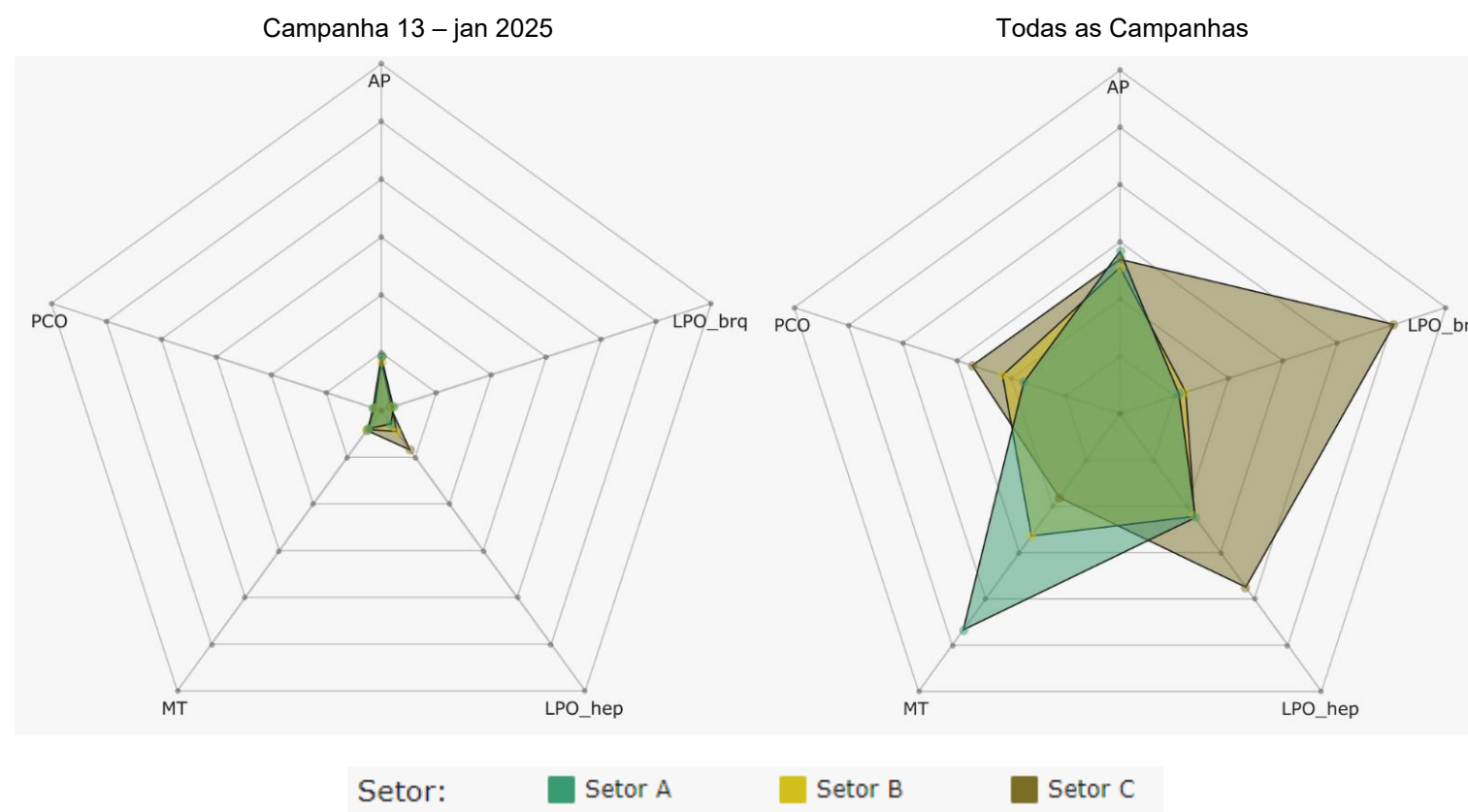
Campanha 11 - jan 2024



Campanha 12 – jul 2024



Setor: ■ Setor A ■ Setor B ■ Setor C



Os gráficos de radar apresentados na Figura 14 mostram que a Campanha 10, além de ser aquela onde foram observados os maiores valores do IBR Biomarcador, também apresentou a maior diversidade de biomarcadores contribuindo para a composição deste índice. O Setor C apresentou o maior valor do IBR Biomarcador, sendo que este foi composto pelos biomarcadores sítios AP, LPO nas brânquias, LPO no hepatopâncreas e MT. Ainda, neste Setor, os maiores valores do índice contaram com as contribuições dos biomarcadores sítios AP e LPO no hepatopâncreas (LPO_hep). No Setor A, os biomarcadores que contribuíram para a composição do índice foram sítios AP, LPO no hepatopâncreas (LPO_hep) e PCO, com destaque para os picos de valores de contribuição do sítio AP. Em relação ao Setor B, o valor do índice teve as contribuições dos biomarcadores sítio AP, LPO no hepatopâncreas (LPO_hep) e MT, com destaque para os valores dos dois primeiros. Interessantemente, o padrão de maior contribuição dos biomarcadores LPO_hep, AP e MT tem se mantido também ao longo das Campanhas 11, 12 e 13, por mais que a resposta de cada biomarcador seja menos intensa, como evidenciado por picos e áreas menores nos gráficos de radar. Por fim, quando analisadas em conjunto geral, estas informações sugerem níveis de impacto relativamente constantes até o pico observado na Campanha 10, mas que voltam a diminuir para níveis basais nas Campanhas 11, 12 e 13.

4 CONSIDERAÇÕES FINAIS SOBRE OS ANOS DE MONITORAMENTO ACERCA DOS INDICADORES OBSERVADOS E O AMBIENTE MONITORADO

Para caranguejos de manguezais, os resultados do IBR Bioacumulação indicaram um aumento nos níveis de metais e As nos tecidos (brânquias, hepatopâncreas e músculo) dos indivíduos coletados nos Setores A e B no período chuvoso de 2022 (Campanha 7 – março 2022) em relação a todas as Campanhas amostrais anteriores realizadas no âmbito do PMBA/Fest-UFES. Para os caranguejos coletados no Setor A, destaca-se principalmente o aumento das concentrações teciduais de As, Fe, Hg e Zn em relação às demais Campanhas. Por sua vez, nos caranguejos coletados no Setor B, representado pelo estuário do Rio Doce, destaca-se o aumento nas concentrações teciduais de Mn, Cd, Cu e Fe. Os resultados obtidos para as Campanhas subsequentes (Campanha 8, set/out 2022 – período seco; Campanha 9, jan/fev 2023 – período chuvoso; Campanha 10, jun/jul 2023 – período seco; Campanha 11, jan 2024 – período chuvoso; Campanha 12, jul 2024 – período seco e Campanha 13, jan/fev 2025 – período chuvoso) revelaram uma redução importante nos níveis teciduais de metais e As nos caranguejos de manguezais, em comparação às Campanhas anteriores, sobretudo à Campanha 7.

De maneira similar, os resultados do IBR Bioacumulação em caranguejos da praia indicaram um aumento considerável nos níveis de metais e As durante o período chuvoso de 2022 (Campanha 7, março 2022 – período chuvoso), em comparação aos demais períodos amostrais. Aqui, vale destacar que este aumento foi observado nos três Setores analisados, incluindo o Setor C (Norte), que mostrou um discreto aumento em relação aos demais Setores. É interessante destacar também que este aumento nos níveis totais de metais e As nos tecidos dos caranguejos da praia foi caracterizado por elementos diferentes, em cada Setor analisado. Os elementos que mais contribuíram para o valor do IBR Bioacumulação no Setor A foram o Zn, Cr e Fe. Em relação ao Setor B, os elementos que mais contribuíram para o valor do índice foram o Zn, As, Cd, Cu e Fe. Por fim, o valor do índice no Setor C foi composto principalmente pelos elementos Zn, As, Cd, Cu, Fe e Hg. Dentre os elementos que apresentaram uma maior contribuição para o IBR Bioacumulação na Campanha 7, cabe destacar o fato de que o Zn é um elemento comum aos três Setores avaliados. Além disso, vale destacar a ocorrência de um pico de Hg no Setor C, metal este que está presente apenas neste Setor. Contudo, na Campanha 8 (set/out 2022 – período seco), Campanha 9 (jan/fev 2023 – período chuvoso) e Campanha 10 (jun/jul 2023 – período seco), os caranguejos da praia voltaram a apresentar níveis teciduais de metais e As semelhantes aos que vinham sido observados anteriormente ao pico de contaminação observado na Campanha 7. Neste contexto, é importante ressaltar o fato de que na Campanha 11 (jan 2024 – período chuvoso) houve novamente um aumento do IBR Bioacumulação em todos os Setores avaliados, sendo que este aumento foi também observado nas Campanhas 12 (jul 2024 – período seco) e 13 (jan/fev 2025 – período chuvoso).

Por sua vez, os resultados do IBR Bioacumulação obtidos para os pequenos invertebrados (anfípodas e isópodas) coletados nas praias apontaram para uma tendência geral de diminuição nas concentrações totais de metais e As até a Campanha 9 (jan/fev 2023 – período chuvoso), com os

maiores valores do índice tendo sido associados à Campanha 1 (set/out 2018 – período seco) para os setores A e C, enquanto o maior valor do índice no setor B foi associado à Campanha 10 (jun/jul 2023 – período seco). Entre a Campanha 1 (set/out 2018 – período seco) e a Campanha 10 (jun/jul 2023 – período seco), menores concentrações de metais e As foram observadas na Campanha 8 (set/out 2022 – período seco; exceto para o Setor A nesta Campanha), Campanha 9 (jan/fev 2023 – período chuvoso) e Campanha 10 (jun/jul 2023 – período seco; exceto para o setor B nesta Campanha), sugerindo assim a ocorrência de um impacto agudo associado ao curto período de tempo decorrido após o rompimento da Barragem de Fundão e a realização da Campanha 1 (set/out 2018 – período seco), o qual foi atenuado ao longo do tempo para os pequenos invertebrados da praia até a Campanha 10 (jun/jul 2023 – período seco). Porém, a tendência de menor contaminação observada nos Setores A e C até a Campanha 10 (jun/jul 2023 – período seco) foi interrompida por um novo e expressivo aumento transitório dos valores do IBR Bioacumulação na Campanha 11 (jan 2024 – período chuvoso), nos Setores A e C, evidenciando assim o potencial de dispersão da maior contaminação observada no Setor B (Foz do Rio Doce em Regência) na Campanha 10 para o Sul (Setor A) e para o Norte (Setor C) da Foz do Rio Doce (Setor B) no último período chuvoso (Campanha 11). Na Campanha 12 (jul 2024 – período seco), os valores do IBR Bioacumulação registrados foram semelhantes àqueles observados nos Setores A e C na Campanha 10 (jun/jul 2023 – período seco). Finalmente, os valores do IBR Bioacumulação foram semelhantes nos três Setores na Campanha 13 (jan/fev 2025 – período chuvoso), evidenciando assim uma distribuição homogênea dos contaminantes analisados na área de estudo no último período chuvoso.

Os resultados do Índice de Resposta Biológica (IBR Biomarcadores) para caranguejos de manguezais apontam para um padrão geral de variação espacial, onde o setor B destaca-se sobre os demais Setores em cada Campanha, seguido pelo setor C. Contudo, uma variação importante neste padrão foi evidenciada no período chuvoso de 2022 (Campanha 7, mar 2022 – período chuvoso), onde os caranguejos do setor C apresentaram um aumento significativo no IBR Biomarcador em detrimento aos outros Setores amostrais. Este aumento se deve principalmente aos elevados níveis de lipoperoxidação (LPO) e do conteúdo de metalotioneínas no hepatopâncreas (MT_hep), respostas biológicas que estão associadas a efeitos/exposição dos organismos a compostos tóxicos, tais como metais e metaloides. Neste contexto, os altos valores observados para o IBR Bioacumulação nesta mesma Campanha podem ajudar a compreender esse resultado, sugerindo, portanto, um impacto ambiental oriundo da maior contaminação nestes animais.

Para os caranguejos da praia, os resultados do IBR Biomarcador apontaram para uma tendência geral de diminuição na resposta biológica ao longo do tempo de monitoramento até a Campanha 10, quando um aumento considerável no valor deste índice foi observado, indicando assim um efeito estressor grande nesse período, mas que se caracteriza como agudo e transitório, visto que nas Campanhas 11, 12 e 13 os valores de IBR Biomarcador nestes animais retornaram para valores mais baixos.

Para o caso do IBR Biomarcador nos pequenos invertebrados da praia (anfípodas e isópodas), um padrão de variação espacial bem interessante pôde ser observado. Durante as Campanha 5 (jan/fev 2021 – período chuvoso), Campanha 6 (jul/ago 2021 – período seco) e Campanha 9 (jan/fev 2023 –

período chuvoso) foi observado um aumento notável na resposta biológica destes organismos no setor C. Os resultados de outros temas do PMBA indicam que o Compartimento C tem se apresentado como a região da malha amostral mais severamente impactada pelo aporte do Rio Doce, onde maiores concentrações dos elementos químicos (Al, Ba, Co, Cr, Fe, Mn, Ni, Pb e V) são encontradas na isóbata de 10 m, juntamente com os maiores teores de lama litoclástica, região na qual se encontram esses pequenos invertebrados. Neste contexto, vale ressaltar que os dados obtidos a partir do monitoramento ecotoxicológico, especialmente no que se refere à avaliação temporal das informações geradas, indicam que os maiores índices de contaminação e maiores impactos do MLD sobre a comunidade bentônica de praia e no sedimento dos manguezais também estão associados ao Setor C. Os teores de lama na antepraia se mantiveram altos durante todo o período de monitoramento, atingindo maiores níveis durante períodos chuvosos, quando também foram observadas as maiores concentrações de elementos químicos, tais como Al, Ba, Cr, Fe, Ni e Pb, relacionadas à alta vazão do Rio Doce nestes períodos, corroborando os resultados do IBR Biomarcador observados nos anfípodas e isópodas. Apesar disto, os valores de IBR Biomarcador observados nestes animais demonstra clara tendência de redução a partir da Campanha 10 até o atual momento (Campanha 13), onde valores basais podem ser observados.

Com relação aos resultados das quantificações de metais e As nas amostras de tecidos (penas e sangue) de aves costeiras, os valores do IBR Bioacumulação indicaram, de forma geral, menores níveis desses elementos nos períodos secos dos Anos 2, 3, 4, 5, 6 e 7. As diminuições observadas na Campanha 8 (set/out 2022 – período seco), Campanha 9 (jan/fev 2023 – período chuvoso) e Campanha 10 (jun/jul 2023 – período seco) ocorreram de forma semelhante ao que foi observado em outros organismos costeiros. Por outro lado, cabe destacar que os valores do IBR Bioacumulação nas aves costeiras aumentaram transitoriamente de forma marcante nos períodos chuvosos dos Anos 3, 4 e 6, nos três Setores avaliados. Quanto aos valores de contaminação observados nos tecidos (penas e sangue) das aves costeiras na Campanha 11 (jan 2024 – período chuvoso), cabe destacar que estes atingiram os maiores valores até então observados ao longo de todo o período de monitoramento, nos três Setores avaliados. Apesar de terem sido observadas variações temporais significativas no nível de contaminação das aves costeiras por metais e As nos dois primeiros anos do monitoramento, ainda não havia sido possível identificar um padrão de tendência sazonal de bioacumulação desses elementos nesses organismos. No entanto, a partir do período seco do Ano 2, picos de concentração de metais e As foram geralmente observados em várias Campanhas realizadas no período chuvoso (Campanhas 5, 7 e 11). Além disso, cabe destacar que os valores do IBR Bioacumulação estão associados à distintos contaminantes nos diferentes períodos de coleta. Por exemplo, as aves costeiras coletadas durante o período chuvoso de 2022 (Campanha 7) apresentaram altos níveis de Fe e Zn nas penas e no sangue, indicando assim uma alta biodisponibilidade desse metal durante esse período de maior pluviosidade na Bacia do Rio Doce. Porém, no período chuvoso de 2024 (Campanha 11), as aves costeiras apresentaram níveis de contaminação expressivamente elevados de uma grande diversidade de metais, incluindo metais essenciais (Cu, Cr, Mn e Zn), bem como de metais não essenciais (Cd, Hg e Pb). Isto indica a grande dificuldade na previsão em longo prazo da biodisponibilidade, bioacumulação e efeitos dos metais e As para os organismos de níveis tróficos mais

elevados das cadeias tróficas do Ambiente Costeiro monitorado. Dentre os três Setores amostrados, os que apresentaram maiores índices e, possivelmente, encontraram-se mais impactados, foram os Setores B e C, sobretudo nas Campanhas 5 (jan/fev 2021 – período chuvoso), 7 (mar 2022 – período chuvoso) e 11 (jan 2024 – período chuvoso).

No que se refere aos resultados referentes às quantificações de compostos orgânicos no sangue das aves costeiras, foi possível observar que os níveis destes contaminantes não apresentaram um padrão temporal evidente de variação, uma vez que as diferentes classes de contaminantes orgânicos estiveram associadas a Setores diferentes ao longo das seis primeiras Campanhas realizadas no âmbito do monitoramento. Isso pode ser reflexo da grande capacidade de deslocamento e uso de habitats por parte desses animais, entre os diferentes ecossistemas costeiros. No entanto, cabe destacar o fato de que foi possível observar a formação de dois grupos de indivíduos coletados na Campanha 7 (mar 2022 – período chuvoso). No primeiro deles, as amostras provenientes da área de manguezal (Setor A) foram bem caracterizadas pela presença de pesticidas e HPAs. Por outro lado, no segundo grupo, as amostras provenientes da região de estuário (Setor B) e costeira (Setor C) se relacionaram com as concentrações de PCBs. Cabe destacar que, para PBDEs, todas as amostras analisadas ficaram abaixo do limite de quantificação para estes contaminantes. Por fim, vale lembrar que, após a Campanha 7, as análises de contaminantes orgânicos foram descontinuadas no âmbito do PMBA/Fest-UFES.

5 ITENS PREVISTOS E NÃO REALIZADOS: JUSTIFICATIVAS

Todos os itens previstos foram cumpridos para o Tema.

6 REFERÊNCIAS

- BEAUCHAMP, G. (2009). Functional response of staging semipalmated sandpipers feeding on burrowing amphipods. *Oecologia*, 161(3), 651–655. <https://doi.org/10.1007/S00442-009-1398-6/METRICS>
- DE OLIVEIRA GOMES, L. E., CORREA, L. B., SÁ, F., NETO, R. R., & BERNARDINO, A. F. (2017). The impacts of the Samarco mine tailing spill on the Rio Doce estuary, eastern Brazil. *Marine Pollution Bulletin* 120, 28–36. <https://doi.org/10.1016/J.MARPOLBUL.2017.04.056>
- LI, C., CHEN, J., LIAO, X., RAMUS, A. P., ANGELINI, C., LIU, L., SILLIMAN, B. R., BERTNESS, M. D., & HE, Q. (2023). Shorebirds-driven trophic cascade helps restore coastal wetland multifunctionality. *Nature Communications*, 14:1, 14(1), 1–14. <https://doi.org/10.1038/s41467-023-43951-3>

- LOKESHAPPA, B., SHIVPURI, K., TRIPATHI, V., & DIKSHIT, A. K. (2012). assessment of toxic metals in agricultural produce. *Food and Public Health*, 2(1), 24–29. <https://doi.org/10.5923/j.fph.20120201.05>
- PINHEIRO, M. A. A., SILVA, P. P. G. E., DUARTE, L. F. DE A., ALMEIDA, A. A., & ZANOTTO, F. P. (2012). Accumulation of six metals in the mangrove crab *Ucides cordatus* (Crustacea: Ucididae) and its food source, the red mangrove *Rhizophora mangle* (Angiosperma: Rhizophoraceae). *Ecotoxicology and Environmental Safety*, 81, 114–121. <https://doi.org/10.1016/j.ecoenv.2012.05.004>
- RRDM, REDE RIO DOCE MAR (2022). Relatório Anual do PMBA/Fest-UFES-RRDM 2022 - Síntese integrativa entre ambientes. RT-39E, Programa de Monitoramento da Biodiversidade Aquática, Fundação Espírito-santense de Tecnologia. 150 pág.
- SAIDON, N. B., SZABO, R., BUDAI, P., & LEHEL, J. (2024). Trophic transfer and biomagnification potential of environmental contaminants (heavy metals) in aquatic ecosystems. *Environmental Pollution*, 340, 122815. <https://doi.org/10.1016/j.envpol.2023.122815>
- SAUX, A. LE, DAVID, E., BETOULLE, S., BULTELE, F., ROCHER, B., BARJHOUX, I., & COSIO, C. (2020). New insights into cellular impacts of metals in aquatic animals. *Environments*, 7(6), 46. <https://doi.org/10.3390/environments7060046>
- SEGURA, F. R., NUNES, E. A., PANIZ, F. P., PAULELLI, A. C. C., RODRIGUES, G. B., BRAGA, G. U. L., PEDREIRA FILHO, W. R., BARBOSA JR., F., CERCHIARO, G., SILVA, F. F., & BATISTA, B. L. (2016). Potential risks of the residue from Samarco's mine dam burst (Bento Rodrigues, Brazil). *Environmental Pollution*, 218, 813–825. <https://doi.org/10.1016/j.envpol.2016.08.005>
- SELVI, A., RAJASEKAR, A., THEERTHAGIRI, J., ANANTHASELVAM, A., SATHISHKUMAR, K., MADHAVAN, J., & RAHMAN, P. K. S. M. (2019). Integrated remediation processes toward heavy metal removal/recovery from various environments-A review. *Frontiers in Environmental Science*, 7, 1–15. <https://doi.org/10.3389/fenvs.2019.00066/BIBTEX>
- SICK, H. (1997). *Ornitologia Brasileira* (II). Editora Nova Fronteira.
- SIGRIST, M. T. Q. T. (2006). *Aves Do Brasil: Uma Visão Artística*. Editora Avis Brasilis.
- SPETTER, C. V., BUZZI, N. S., FERNÁNDEZ, E. M., CUADRADO, D. G., & MARCOVECCHIO, J. E. (2015). Assessment of the physicochemical conditions sediments in a polluted tidal flat colonized by microbial mats in Bahía Blanca Estuary (Argentina). *Marine Pollution Bulletin*, 91(2), 491–505. <https://doi.org/10.1016/j.marpolbul.2014.10.008>
- STEINMETZ, J., KOHLER, S. L., & SOLUK, D. A. (2003). Notes birds are overlooked top predators in aquatic food webs. *Ecology*, 84(5), 1324–1328. <https://doi.org/10.1890/0012-9658>
- U.S. EPA. (2007). *Method 3015A (SW-846): Microwave Assisted Acid Digestion of Aqueous Samples and Extracts*. Revision 1. Washington, DC.
- U.S. EPA. (2007). *Method 3050A: Acid Digestion of Sediments, Sludges, and Soils*. <https://www.epa.gov/esam/epa-method-3050b-acid-digestion-sediments-sludges-and-soils>

U.S. EPA. (1998). *Method 6020A (SW-846): Inductively Coupled Plasma—Mass Spectrometry*.
https://19january2017snapshot.epa.gov/homeland-security-research/epa-method-6020a-sw-846-inductively-coupled-plasma-mass-spectrometry_.html

WALKER, C. H., HOPKIN, S. P., SIBLY, R. M., & PEAKALL, D. B. (1996). *Principles of Ecotoxicology*. Taylor & Francis.

WANG, W. C., MAO, H., MA, D. D., & YANG, W. X. (2014). Characteristics, functions, and applications of metallothionein in aquatic vertebrates. *Frontiers in Marine Science*, 1, 1–12.
<https://doi.org/10.3389/fmars.2014.00034/bibtex>